

เครื่องกำเนิดพลาสมา  
(Plasma Generator)

นำเสนอโดย

นายภิญโญ	ปวงตา	รหัสนักศึกษา	B5007127
นายวีระวุฒิ	วงศ์วานิชวัฒนา	รหัสนักศึกษา	B5009282



รายงานนี้เป็นส่วนหนึ่งของการศึกษาวิชา 427494 และ 427499 โครงการศึกษาวิศวกรรมโทรคมนาคม  
หลักสูตรวิศวกรรมศาสตรบัณฑิต สาขาวิชาวิศวกรรมโทรคมนาคม หลักสูตรปรับปรุง พ.ศ. 2546  
สำนักวิชาวิศวกรรมศาสตร์ มหาวิทยาลัยเทคโนโลยีสุรนารี  
ประจำภาคการศึกษาที่ 2 ปีการศึกษา 2555

โครงการ	เครื่องกำเนิดพลาสมา (Plasma Generator)	
จัดทำโดย	นายนายภิญโญ ปวงตา	รหัสนักศึกษา B5007127
	นายวีระวุฒิ วงศ์วานิชวัฒนา	รหัสนักศึกษา B5026319
อาจารย์ที่ปรึกษา	ผู้ช่วยศาสตราจารย์ ดร.ชาญชัย	ทองโสภ
สาขาวิชา	วิศวกรรมโทรคมนาคม	
ภาคการศึกษาที่	2/2555	

---

### บทคัดย่อ (Abstract)

โครงการนี้มีวัตถุประสงค์เพื่อศึกษาและประยุกต์การทำงานของวงจรทางอิเล็กทรอนิกส์ต่าง ๆ ได้แก่ วงจร Half-Bridge Converter , วงจรทวีแรงดันไฟฟ้า , วงจรเรียง-กระแสไฟฟ้า และนอกจากนี้ยังได้ศึกษา การสร้างหม้อแปลงไฟฟ้าชนิดแปลงแรงดันขึ้น(Step-Up transformer) เพื่อศึกษาปรากฏการณ์การกำเนิดพลาสมาจาก วงจร Half-Bridge Converter ซึ่งเป็นวงจรที่สร้างสัญญาณพัลส์ ที่ขนาดความถี่ 50 KHZ. และค่าแรงดันขาออกอยู่ที่ประมาณ 1500 V. และผ่านวงจรทวีแรงดันไฟฟ้า เพื่อให้แรงดันไฟฟ้าเพิ่มสูงขึ้นประมาณ 10 เท่า จากนั้นจึงทำการอาร์คโดยการนำขั้วไฟฟ้าบวกและขั้วไฟฟ้ามารวมมาตั้งห่างกันเป็นระยะประมาณ 5 มิลลิเมตร เพื่อทำให้เกิดการอาร์คพลาสมาเกิดขึ้น

## กิตติกรรมประกาศ (Acknowledgement)

โครงการเครื่องกำเนิดพลาสมา ฉบับนี้สำเร็จลุล่วงด้วยดี ผู้ทำโครงการขอกราบ  
ขอบพระคุณ ผ.ศ.ดร.ชาญชัย ทองโสภณ อาจารย์ที่ปรึกษาโครงการที่กรุณาให้คำปรึกษา ชี้แนะ และ  
ให้การช่วยเหลือในการศึกษาโครงการอย่างคืดตลอดมา รวมถึงให้คำแนะนำในการเขียนและตรวจแก้  
โครงการจนเสร็จสมบูรณ์

ขอขอบคุณนายอภิสิทธิ์ พุทธิศรี และ เจ้าหน้าที่ประจำศูนย์เครื่องมือที่ 3  
มหาวิทยาลัยเทคโนโลยีสุรนารี ทุกท่านที่ตลอดเวลาให้ความช่วยเหลือ และอำนวยความสะดวกแก่  
ผู้ทำโครงการ

ข้าพเจ้าใคร่ขอขอบพระคุณผู้ที่มีส่วนเกี่ยวข้องทุกท่านที่มีส่วนร่วมในการให้ข้อมูล  
และเป็นที่ปรึกษาในการทำรายงานฉบับนี้จนเสร็จสมบูรณ์ ตลอดจนให้การดูแลและให้ความเข้าใจ  
เกี่ยวกับพื้นฐานการใช้งาน โปรแกรม ซึ่งข้าพเจ้าขอขอบพระคุณเป็นอย่างสูงไว้ ณ ที่นี้ด้วย

นายนายภิญโญ ปวงตา

นายวีระวุฒิ วงศ์วานิชวัฒนา

มหาวิทยาลัยเทคโนโลยีสุรนารี

## สารบัญ

เรื่อง	หน้า
บทคัดย่อ.....	ก
กิตติกรรมประกาศ.....	ข
สารบัญ.....	ค
สารบัญรูป.....	ง
สารบัญกราฟ.....	ฉ
สารบัญตาราง.....	ญ
บทที่ 1 บทนำ	
1.1 บทนำ.....	1
1.2 วัตถุประสงค์.....	2
1.3 ขอบเขตการทำงาน.....	2
1.4 ผลที่คาดว่าจะได้รับ.....	2
1.5 ขั้นตอนการดำเนินงาน.....	3
บทที่ 2 ทฤษฎีที่เกี่ยวกับพลาสมา	
2.1 ทฤษฎีพลาสมา.....	4
2.2 การเกิด ไอออน.....	5
2.3 การทำให้เกิดอาร์คพลาสมา.....	7
2.4 สถานะของพลาสมา.....	10
2.5 การกระตุ้นการแตกตัวของโมเลกุลสสารด้วยสนามไฟฟ้าแรงสูง.....	11
2.6 สนามไฟฟ้าระหว่างขั้วอิเล็กโทรด.....	12
2.7 ทฤษฎีการแตกตัวของก๊าซ.....	13
2.8 การคำนวณพลังงานที่ใช้ในการสร้างพลาสมา.....	14
2.9 วงจรฮาล์ฟบริดจ์คอนเวอร์เตอร์ (Half-Bridge Converter).....	17
2.9.1 การทำงานพื้นฐานของฮาล์ฟบริดจ์คอนเวอร์เตอร์.....	17
2.9.2 ตัวเก็บประจุเพื่อป้องกันการไม่สมมาตร ของฟลักซ์แม่เหล็ก(Blocking Capacitor).....	19
2.10 คอมมิวเตตติ้งไดโอด(Commutating Diode).....	22

## สารบัญ

เรื่อง	หน้า
บทที่ 2 ทฤษฎีที่เกี่ยวกับพลาสมา(ต่อ)	
2.11 ค่าเวลาเพื่อ.....	22
2.12 หม้อแปลงสวิตซิ่ง.....	23
2.12.1 แกนเฟอร์ไรต์ (Ferrite Core).....	23
2.12.2 บอบบิ้น (Bobin).....	23
2.13 ลวดทองแดงอาบน้ำยา (Enamelled Copper Wire).....	24
2.14 เทปฉนวน (Insulation Tape).....	25
2.15 แกนเฟอร์ไรต์และการเลือกใช้.....	25
2.16 ลักษณะสมบัติของเนื้อสารที่ใช้ทำแกนเฟอร์ไรต์.....	27
2.17 เส้นโค้งฮิสเตอร์รีซิส (Hysteresis Curve).....	27
2.18 ค่าการสูญเสียในแกนเฟอร์ไรต์ (Core Loss).....	29
2.19 การกำหนดค่าความหนาแน่นฟลักซ์แม่เหล็กสูงสุดในแกนหม้อแปลง.....	32
2.20 การเลือกขนาดแกนเฟอร์ไรต์ที่เหมาะสม.....	36
2.21 ช่องอากาศคั่นทางเดินแม่เหล็กในแกนเฟอร์ไรต์ (Air Gap).....	39
2.22 ความสัมพันธ์ระหว่างขด ไพรมารีและขดเซคันดารีของหม้อแปลงสวิตซิ่ง.....	40
บทที่ 3 การออกแบบเครื่องกำเนิดพลาสมา	
3.1 วงจร Half-Bridge Driver Signal 50KHZ.....	43
3.2 วงจร Half - Bridge Converter.....	46
3.2.1 การออกแบบหม้อแปลงไฟฟ้าด้าน ไพรมารี (Primary Transformer Design).....	48
3.2.2 การออกแบบหม้อแปลงไฟฟ้าด้านเซคันดารี (Secondary Transformer Design).....	51
3.3 วงจรทวีแรงดัน (Voltage Multiplier).....	55
3.3.1 วิธีการหาค่าตัวเก็บประจุในวงจรทวีแรงดัน.....	57
บทที่ 4 ผลการทดลอง	
4.1 ผลการวัดสัญญาณเอาต์พุตของวงจร Half-Bridge Driver 50KHZ.....	58
4.2 ผลการวัดสัญญาณอินพุตของขดลวดหม้อแปลงด้าน ไพรมารี.....	59
4.3 การทดลองหาแนวโน้มของค่าพลังงานพลาสมา.....	60

## สารบัญ

เรื่อง	หน้า
บทที่ 4 ผลการทดลอง(ต่อ)	
4.4 การทดลองหาแนวโน้มของค่าความนำไฟฟ้าของพลาสติก.....	61
4.5 รูปผลการทดลองของเครื่องกำเนิดพลาสติก.....	62
บทที่ 5 สรุปผลการทดลอง	
5.1 ส่วนประกอบของเครื่องกำเนิดพลาสติก.....	63
5.2 คุณสมบัติทั่วไปของเครื่องกำเนิดพลาสติก.....	63
5.3 ปัญหาที่พบจากการทำงาน.....	64
5.4 ผลที่ได้จากโครงการนี้.....	64
5.5 วิเคราะห์ผลการทดลองและข้อดี-ข้อเสียจากเครื่องกำเนิดพลาสติก.....	64
5.6 แนวทางในการพัฒนาต่อไป.....	65
บรรณานุกรม.....	66
ประวัติผู้เขียน.....	67
ภาคผนวก.....	68

## สารบัญรูป

รายการ	หน้า
รูปที่ 2.1 ลำดับการแยกตัวและการเกิดไอออไนซ์ของก๊าซ.....	4
รูปที่ 2.2 โมเลกุลของก๊าซไดอะตอมมิก เช่น ไฮโดรเจนและไนโตรเจนประกอบด้วยอะตอมสองอะตอมที่อยู่รวมกัน.....	5
รูปที่ 2.3 เมื่อ โมเลกุลของก๊าซถูกทำให้ร้อน (Heat) โมเลกุลของก๊าซจะชนกันและแยกตัวออกเป็นอะตอมอิสระสองอะตอม.....	5
รูปที่ 2.4 ในอะตอมที่เป็นกลางของก๊าซจะมีประจุบวกและประจุลบจำนวนเท่ากัน.....	5
รูปที่ 2.5 อิเล็กตรอนที่อยู่วงนอกของอะตอมอาจถูกชนหลุดออกจากวงโคจรได้.....	6
รูปที่ 2.6 การเกิดสภาวะของพลาสมาที่ถูกรบกวนโดยไอออไนซ์.....	6
รูปที่ 2.7 การเกิดอาร์คพลาสมาเมื่อก๊าซไฮโดรเจนผ่านการอาร์คไฟฟ้า.....	8
รูปที่ 2.8 การทำให้เกิดอาร์คพลาสมาโดยวิธีลัดวงจร.....	9
รูปที่ 2.9 สถานะต่างๆของพลาสมา.....	10
รูปที่ 2.10 การสร้างพลาสมาจากสนาม.....	11
รูปที่ 2.11 สนามไฟฟ้าที่เกิดการอาร์ค.....	12
รูปที่ 2.12 การไอออไนซ์เซชัน.....	13
รูปที่ 2.13 แสดงวงจรพื้นฐานของฮาล์ฟบริดจ์คอนเวอร์เตอร์.....	17
รูปที่ 2.14 สนามไฟฟ้าที่เกิดการอาร์ค.....	18
รูปที่ 2.15 (ก) แสดงลักษณะของการไม่สมมาตรฟลักซ์เนื่องจาก $Q_1$ ใช้เวลานานกว่า $Q_2$ .....	19
รูปที่ 2.15 (ข) แสดงผลของการต่อตัวเก็บประจุลึกลับเนื่อง $C_b$ เข้ามาในวงจรเพื่อลดการไม่สมมาตรฟลักซ์.....	19
รูปที่ 2.16 แสดงลักษณะของการเกิดความลาด $D_{\infty}$ ขึ้นบนแรงดันที่ตกคร่อมขดไพรมารีเมื่อต่อตัวเก็บประจุลึกลับ $C_b$ คั่นเข้ามาในวงจร.....	21
รูปที่ 2.17 แสดงตัวอย่างและขนาดมาตรฐานของบอบบี้แกนเฟอร์ไรต์แบบ EE, EC และ ETD...	24
รูปที่ 2.18 แสดงตัวอย่างขนาดของแกนเฟอร์ไรต์แบบ EE, EI และ ETD.....	26

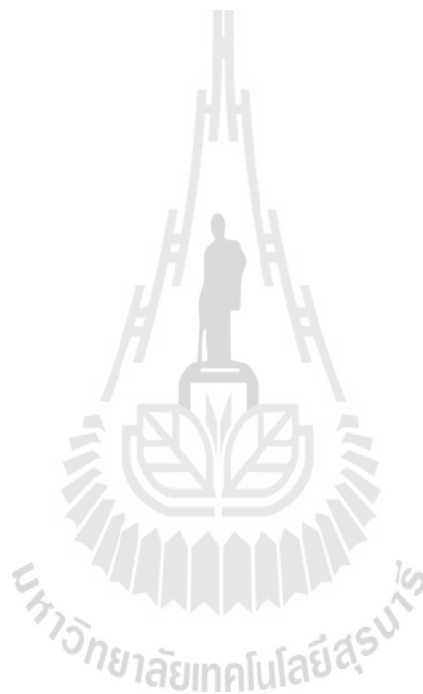
## สารบัญรูป(ต่อ)

รายการ	หน้า
รูปที่ 2.19(ก) แสดงเส้นโค้งฮิสเตอร์รีซิสของแกนเฟอร์ไรต์ที่เป็นเนื้อสารชนิด 3C8.....	28
รูปที่ 2.19(ข) แสดงเส้นโค้งฮิสเตอร์รีซิสของแกนเฟอร์ไรต์ที่เป็นเนื้อสารชนิด 3C6A.....	28
รูปที่ 2.20 แสดงลักษณะที่สมบูรณ์ของเส้นโค้งฮิสเตอร์รีซิสซึ่งจะมีลักษณะสมมาตร ของกราฟซีกบนและซีกล่าง ปกติผู้ผลิตจะให้กราฟให้ซีกบนมาเท่านั้นดังรูปในรูปที่ 2.19.....	29
รูปที่ 2.21 (ก) แสดงค่าการสูญเสียในแกนเฟอร์ไรต์ของเนื้อสารชนิด 3C8.....	30
รูปที่ 2.21 (ข) แสดงค่าการสูญเสียในแกนเฟอร์ไรต์ของเนื้อสารชนิด 3C6A.....	31
รูปที่ 2.22 (ก) กราฟเปรียบเทียบขนาดแกนเฟอร์ไรต์.....	33
รูปที่ 2.22 (ข) กราฟเปรียบเทียบขนาดแกนเฟอร์ไรต์.....	34
รูปที่ 2.22 (ค) กราฟเปรียบเทียบขนาดแกนเฟอร์ไรต์.....	35
รูปที่ 2.23 (ก) แสดงค่ากำลังงานที่เหมาะสมสำหรับแกนเฟอร์ไรต์ขนาดต่างๆ เมื่อใช้กับฮาล์ฟบริดจ์คอนเวอร์เตอร์.....	37
รูปที่ 2.23 (ข) แสดงค่ากำลังงานที่เหมาะสมสำหรับแกนเฟอร์ไรต์ขนาดต่างๆ เมื่อใช้กับฮาล์ฟบริดจ์คอนเวอร์เตอร์.....	38
รูปที่ 2.24 แสดงกำหนดช่องอากาศสั้น $l_g$ ที่แกนกลาง (ก).....	39
และการค้นช่องอากาศ $l_g$ ระหว่างคู่ประกออบของแกนเฟอร์ไรต์	
รูปที่ 2.25 แสดงความสัมพันธ์พื้นฐานของหม้อแปลง.....	40
รูปที่ 3.1 แสดงวงจรเครื่องกำเนิดพลาสมา.....	42
รูปที่ 3.2 วงจร Half-Bridge Driver Signal 50KHZ.....	44
รูปที่ 3.3 แสดงวงจร Half-Bridge Driver Signal 50KHZ.....	45
รูปที่ 3.4 วงจร Half - Bridge Converter.....	53
รูปที่ 3.5 แสดงวงจร Half – Bridge Converter.....	54
รูปที่ 3.6 วงจร Half – wave voltage doubler circuit.....	55
รูปที่ 3.7 การทำงานของวงจร Half wave voltage doubler circuit.....	55



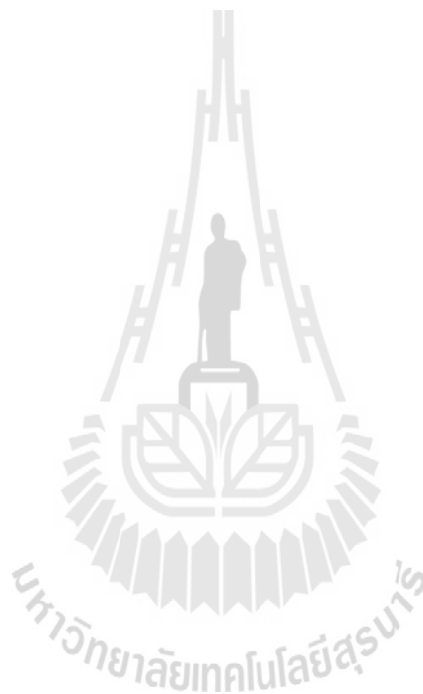
## สารบัญรูป(ต่อ)

รายการ	หน้า
รูปที่ 3.8 วงจรทวิแรงดัน 1 สเตจ (ขยายแรงดัน2เท่า).....	56
รูปที่ 3.9 แสดงวงจรทวิแรงดัน 5 สเตจ(ขยายแรงดัน10เท่า).....	56
รูปที่ 4.1 รูปแสดงการเกิดพลาสมาเมื่อยังไม่มีจ่ายกระแสไฟฟ้ามาควบคุมการเกิดพลาสมา.....	62
รูปที่ 4.2 รูปแสดงการเกิดพลาสมาเมื่อมีจ่ายกระแสไฟฟ้าและแรงลมนมาควบคุมการเกิดพลาสมา..	62



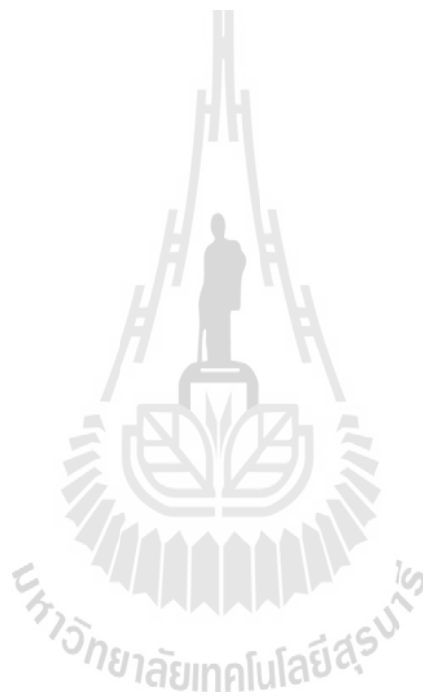
## สารบัญกราฟ

รายการ	หน้า
กราฟที่ 3.1 แสดงความสัมพันธ์ระหว่าง ความถี่ที่ใช้ในการสร้างวงจร และ ค่า $\alpha$ .....	43
กราฟที่ 4.1 แสดง Duty Cycle ของสัญญาณเอาต์พุตที่วงจร Half-Bridge Driver 50KHZ.....	58
กราฟที่ 4.2 แสดงสัญญาณและแรงดันอินพุตของขดลวดหม้อแปลงด้าน ไพรมารี.....	59
กราฟที่ 4.3 แสดงความสัมพันธ์แรงดันอินพุตของตัวควบคุมการเกิดพลาสมา.....	60
กราฟที่ 4.4 แสดงความสัมพันธ์กระแสอินพุตของตัวควบคุมการเกิดพลาสมา.....	61



## สารบัญตาราง

รายการ	หน้า
ตารางที่ 2.1 พลังงานพันธะของ โมเลกุลก๊าซชนิดต่างๆ.....	14
ตารางที่ 3.1 แสดงตารางแกนแม่เหล็กเบอร์ต่างๆสำหรับการออกแบบหม้อแปลงไฟฟ้า.....	47
ตารางที่ 3.2 แสดงเบอร์ของเส้นลวดเบอร์ต่างๆตามมาตรฐาน AWG (American Wire Gauge)....	47



## บทที่

## บทนำ

### 1.1 บทนำ

พลาสมาเป็นก๊าซที่นำไฟฟ้าได้และทำให้ร้อนได้เร็วมาก พลาสมาประกอบด้วย ไอออนบวก, ไอออนลบ, อะตอม และ โมเลกุลที่ถูกกระตุ้นและเป็นกลาง พลาสมาเกิดจากการทำให้ ก๊าซร้อนขึ้นที่อุณหภูมิ 4,000 องศาเซลเซียส ที่อุณหภูมิ ณ จุดนี้ ก๊าซจะแตกตัวและทำให้เกิดประจุ ไฟฟ้าขึ้น ซึ่งนอกจากพลาสมาจะมีพลังงานมหาศาลอยู่แล้ว พลาสมายังสามารถแปรสภาพ เป็นตัวนำไฟฟ้าและปล่อยพลังงานความร้อนออกมาด้วยซึ่งเราสามารถนำพลังงานความร้อนนี้ไป ประยุกต์ใช้งานในรูปแบบต่างๆ ได้ อันได้แก่

- เทคโนโลยีการฝังกลบและระบบผลิตก๊าซชีวภาพจากหลุมฝังกลบขยะ (Landfill Gas to Energy)
- เทคโนโลยีเผาเผาขยะ (Incineration)
- เทคโนโลยีการผลิตก๊าซเชื้อเพลิงจากขยะชุมชน (Municipal Solid Waste Gasification : MSW)
- เทคโนโลยีย่อยสลายแบบไม่ใช้ออกซิเจน (Anaerobic Digestion)
- เทคโนโลยีผลิตเชื้อเพลิงขยะ (Refuse Derived Fuel : RDF)
- เทคโนโลยีพลาสมาอาร์ค (Plasma Arc)

#### เทคโนโลยีพลาสมาอาร์ค (Plasma Arc)

เป็นเทคโนโลยีด้านพลังงานขั้นสูงที่ใช้ในการกำจัดขยะมูลฝอย ลักษณะโดยการสร้าง เตาเผาแบบปิดซึ่งการเผาขยะจะมีอุณหภูมิสูงประมาณ 4,000 องศาเซลเซียสขึ้นไป และจะป้อน ขยะมูลฝอยเข้าไปในเตาเผาโดยตรง อุณหภูมิสูงขนาดนี้จะสามารถแยกอะตอมของธาตุที่เป็น องค์ประกอบของขยะมูลฝอยออกได้ ทำให้ขยะมูลฝอยถูกความร้อนเผาทำลายลงหมด สามารถลด ปริมาณสารไดออกซินที่ทำให้เกิดเป็นสารก่อมะเร็งจากเทคโนโลยีการเผาไหม้ขยะในปัจจุบันลงได้ ความร้อนที่ได้สามารถนำไปผลิตกระแสไฟฟ้าได้ส่วนหนึ่ง อย่างไรก็ตามระบบนี้ในปัจจุบันยังอยู่ ในขั้นตอนของการศึกษาวิจัยและพัฒนาปรับปรุงเทคโนโลยีให้มีความเหมาะสม ปลอดภัยและ ความคุ้มค่าทางเศรษฐศาสตร์

จากปัญหาทางสิ่งแวดล้อมด้านขยะนี้เราจึงมีการศึกษาวิจัยในเรื่องของ เทคโนโลยีเรื่อง พลาสมาอาร์ค (Plasma Arc) ซึ่งได้ศึกษาการเกิดปรากฏการณ์พลาสมาอาร์คจากวงจรทาง อิเล็กทรอนิกส์ดังจะได้อธิบายถึงในบทถัดไป

## 1.2 วัตถุประสงค์

1. เพื่อศึกษาและค้นคว้าเกี่ยวกับการเกิดพลาสมาโดยวิธีการอาร์คทางไฟฟ้า
2. เพื่อศึกษาทำความเข้าใจหลักการการทำงานของวงจร Half-Bridge Driver
3. เพื่อศึกษาทำความเข้าใจหลักการการทำงานของวงจร Half-Bridge Converter
4. เพื่อศึกษาการสร้างหม้อแปลงสวิตชิงชนิดแปลงแรงดันขึ้น
5. เพื่อศึกษาทำความเข้าใจหลักการการทำงานของวงจรทวิแรงดันไฟฟ้า

## 1.3 ขอบเขตการทำงาน

1. ศึกษาการเกิดพลาสมาด้วยพลังงานทางไฟฟ้า
2. ศึกษาการทำงานของอุปกรณ์อิเล็กทรอนิกส์ต่างๆ
3. ออกแบบวงจรของเครื่องกำเนิดพลาสมา
  - 3.1 ออกแบบวงจร Half-Bridge Converter
  - 3.2 ออกแบบวงจร Half-Bridge Driver
  - 3.3 ออกแบบวงจรทวิแรงดัน
4. นำอุปกรณ์ที่ใช้งานในวงจรมาประกอบเข้าด้วยกันทั้งหมดบนแผงวงจรและทำการทดสอบเพื่อให้ได้ตามวัตถุประสงค์

## 1.4 ผลที่คาดว่าจะได้รับ

1. สามารถลดปัญหาสิ่งแวดล้อมทางด้านขยะของชุมชนได้
2. เป็นพลังงานทางเลือกอีกทางหนึ่งซึ่งจะลดการใช้เชื้อเพลิงจำพวกน้ำมันลงได้
3. สามารถนำความรู้ความเข้าใจทางทฤษฎีมาประยุกต์ใช้ในทางปฏิบัติหรือในการทำงานในอนาคตได้
4. สามารถทำงานร่วมกับผู้อื่น, วิเคราะห์งานและแก้ปัญหาอย่างเป็นระบบ
5. สามารถนำไปใช้เผาขยะติดเชื้อจากสถานพยาบาลหรือโรงพยาบาลได้ทุกแห่ง
6. สามารถนำพลังงานความร้อนที่เกิดขึ้นจากการเผาขยะติดเชื้อไปผลิตเป็นกระแสไฟฟ้าได้

## 1.5 ขั้นตอนการดำเนินงาน

1. ศึกษาการทำงานของอุปกรณ์อิเล็กทรอนิกส์ที่จะใช้ในวงจร
2. ศึกษาทฤษฎีเกี่ยวกับการอาร์คพลัสมา
3. ศึกษาทฤษฎีที่ใช้ในการออกแบบวงจร ได้แก่ วงจร Half-Bridge Converter
4. วงจร Half-Bridge Driver และวงจรทวิแรงดัน
5. ออกแบบหม้อแปลงสวิตซ์ซึ่งชนิดแปลงแรงดันขึ้นพร้อมทั้งคำนวณค่า Matching Transformer ต่างๆ
6. ออกแบบลายวงจรและทำการสร้างลายวงจรบนแผ่น PCB โดยการกัดแผ่นปริ้นท์
7. จัดหาอุปกรณ์อิเล็กทรอนิกส์ต่างๆ ตามที่ออกแบบไว้
8. ทำการประกอบอุปกรณ์ทั้งหมดเข้าด้วยกัน
9. จ่ายไฟเลี้ยงให้แก่วงจร และทำการทดสอบการทำงานของวงจร
10. วิเคราะห์และสรุปผลการทำงานของวงจร
11. จัดทำรูปเล่มรายงาน

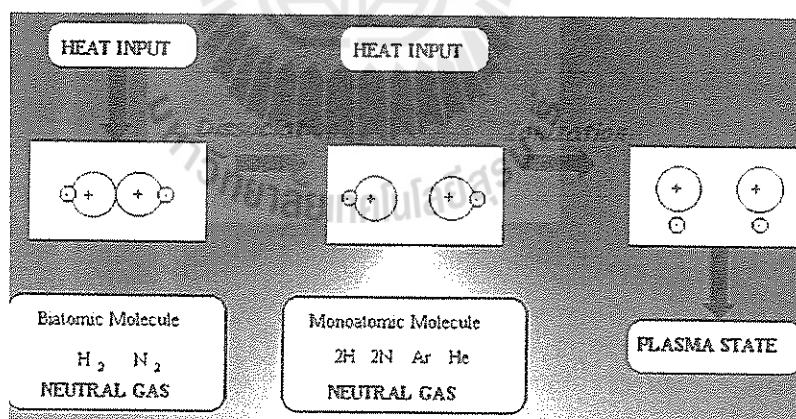
## บทที่ 2

### ทฤษฎีที่เกี่ยวกับพลาสมา

#### 2.1 ทฤษฎีพลาสมา

เมื่อพูดถึงพลาสมาทุกคนคงเคยได้ยินและคงนึกถึงพลาสมาที่เกี่ยวกับกลุ่มเลือดหรือไม่ก็ทีวีจอพลาสมาตามที่เคยได้ยิน ดังนั้นเพื่อความเข้าใจเบื้องต้นจึงขออธิบายเกี่ยวกับพื้นฐานและทฤษฎีการเกิดพลาสมา กล่าวคือ พลาสมา (Plasma) ที่เราเคยได้ยินกันนั้นตามหลักฟิสิกส์เราจะใช้เรียกกลุ่มก๊าซที่แตกตัวเป็นอะตอมอิสระและมีสภาพเป็นไอออน จึงถือได้ว่าเป็นสถานะที่ 4 ของสสารนอกเหนือจากสถานะที่เป็นของแข็ง ของเหลวและก๊าซ การที่พลาสมามีสภาพเป็นไอออนดังกล่าวนี้ หมายความว่าเมื่อมีอิเล็กตรอนอย่างน้อย 1 ตัวถูกดึงออกจากโมเลกุลเกิดเป็นประจุไฟฟ้าอิสระและทำให้พลาสมามีสภาพการนำไฟฟ้าเกิดขึ้น สถานะที่ 4 ของสสารที่กล่าวถึงนี้ มีการเอ่ยถึงครั้งแรก โดยเซอร์ วิลเลียม ครูกส์ (Sir William Crookes) เมื่อ ค.ศ. 1928 เนื่องจากเขานึกถึงพลาสมาของเลือด ซึ่งสถานะของสาร โดยทั่วไปต้องต้องได้รับพลังงานหรือความร้อนที่สูงมากเพื่อที่จะเปลี่ยนเป็นสถานะนี้ได้ นั้นหมายถึงว่าการที่จะต้องใช้อุณหภูมิที่สูงมากที่จะทำให้เกิดการแตกตัวเปลี่ยนสถานะของสสารเป็นพลาสมาได้นั่นเอง ขบวนการดังกล่าวได้แสดงให้เห็น

ผังรูปที่ 2.1



รูปที่ 2.1 ลำดับการแยกตัวและการเกิดไอออนซ์ของก๊าซ

จากรูปที่ 2.1 จะเห็นได้ว่า โมเลกุลของก๊าซเมื่อได้รับความร้อนหรือพลังงานที่มากพอที่จะทำให้โมเลกุลของก๊าซเกิดการแยกตัวออกเป็นอะตอมที่ประกอบด้วยโปรตอนและอิเล็กตรอนที่มีจำนวนเท่าๆ กัน หลังจากนั้นเมื่ออะตอมเหล่านี้ได้รับความร้อนหรือพลังงานที่มากขึ้นไปอีกก็จะทำให้อะตอมเกิดการแตกตัวเป็นไอออน ซึ่งขบวนการดังกล่าวเราเรียกว่า การเกิดไอออนซ์ (Ionization) ของก๊าซหรือเป็นสภาวะของพลาสมานั้นเอง โดยจะอธิบายเพิ่มเติมได้ดังรูปที่ 2.6

### การแยกตัว (Dissociation)

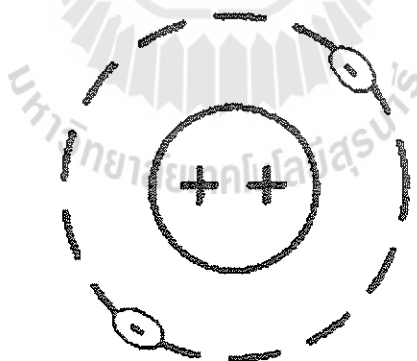


รูปที่ 2.2 โมเลกุลของก๊าซไดอะตอมิก เช่น ไฮโดรเจนและไนโตรเจนประกอบด้วยอะตอมสองอะตอมที่อยู่รวมกัน



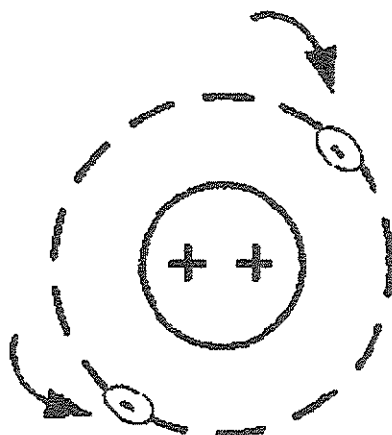
รูปที่ 2.3 เมื่อโมเลกุลของก๊าซถูกทำให้ร้อน (Heat) โมเลกุลของก๊าซจะชนกันและแยกตัวออกเป็นอะตอมอิสระสองอะตอม

### 2.2 การเกิดไอออน (Ionization)

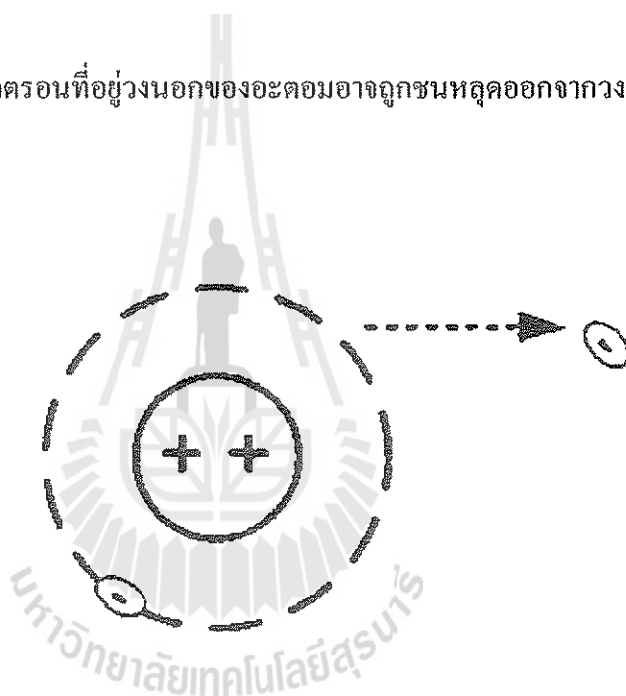


รูปที่ 2.4 ในอะตอมที่เป็นกลางของก๊าซจะมีประจุบวกและประจุลบจำนวนเท่ากัน





รูปที่ 2.5 อิเล็กตรอนที่อยู่วงนอกของอะตอมอาจถูกชนหลุดออกจากวงโคจรได้



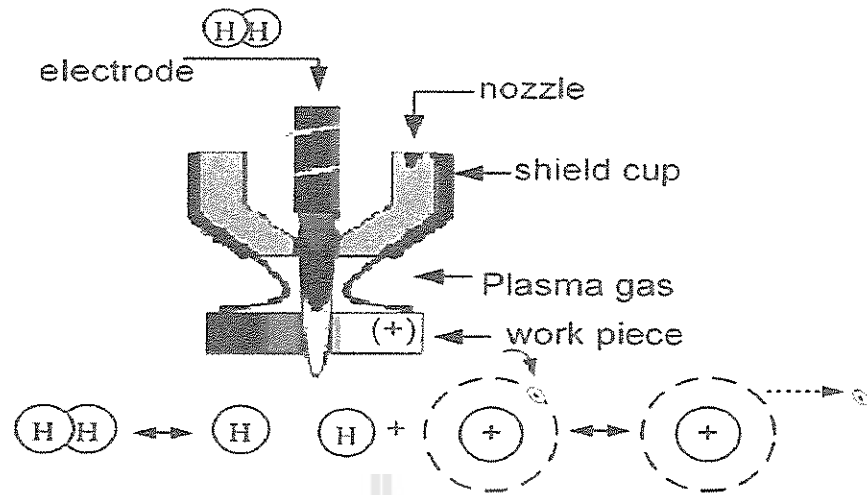
หลังจากสูญเสียอิเล็กตรอน อะตอมจะมีประจุสุทธิเป็นบวกและเป็นไอออนซึ่งจะรับพลังงานเพิ่มขึ้น ไปอีกทำให้ก๊าซบางส่วนถูกไอออไนซ์ในสภาวะดังกล่าวจึงเรียกว่า “พลาสมา”(Plasma)

รูปที่ 2.6 การเกิดสภาวะของพลาสมาที่ก๊าซที่ถูกไอออไนซ์

ตั้งที่ได้กล่าวไปแล้วนั้นในก๊าซที่ร้อนจัดประกอบด้วย โมเลกุล อะตอม ไอออน และ อิเล็กตรอนที่เคลื่อนไหวไปมาอย่างไม่ระเบียบ ทั้งนี้ก็เพราะว่าเมื่อก๊าซถูกทำให้ร้อน โมเลกุลของก๊าซจะเคลื่อนไหวได้เร็วขึ้นและมีโอกาสที่จะชนกันและแยกตัวออกเป็นอะตอมอิสระ(ดังรูปที่) ปรากฏการณ์ดังกล่าวเรียกว่าการแยกตัว (Dissociations) และเนื่องจากโมเลกุลของก๊าซมีความเร็วที่แตกต่างกัน ทำให้การแยกตัวของก๊าซจะไม่เกิดที่อุณหภูมิที่แน่นอนแต่จะเกิดขึ้นในช่วงอุณหภูมิหนึ่งของก๊าซแต่ละชนิด เมื่อก๊าซมีอุณหภูมิหนึ่งที่สูงพอก็จะทำให้โมเลกุลของก๊าซมีพลังงานจลน์สูงพอที่จะทำให้เกิดการชนกันระหว่าง โมเลกุลและแยกตัวออกเป็นอะตอมอิสระ หลังจากแยกเป็นอะตอมอิสระแล้วถ้าให้อะตอมมีความร้อนขึ้นไปอีกก็จะทำให้อิเล็กตรอนวิ่งไปรอบนิวเคลียสของอะตอมอิสระแล้วถ้าให้อะตอมมีความร้อนขึ้นไปอีกก็จะทำให้อิเล็กตรอนที่วิ่งรอบนิวเคลียสของอะตอมเปลี่ยนวงโคจร โดยจะอยู่ในวงโคจรที่มีพลังงานสูงขึ้นและเมื่อพลังงานที่ก๊าซได้รับสิ้นสุดลงอิเล็กตรอนดังกล่าวจึงมีโอกาสดับเข้าสู่วงโคจรเดิมและปลดปล่อยพลังงานส่วนเกินออก แต่ในกรณีที่ก๊าซได้รับพลังงานที่สูงมากจนทำให้อิเล็กตรอนที่วิ่งรอบๆ นิวเคลียสของอะตอมหลุดออกนอกวงโคจรได้ อะตอมในสภาพเช่นนี้จะเรียกว่าการถูกไอออไนซ์ โดยสภาวะดังกล่าวจะปลดปล่อยพลังงานในรูปแบบต่างๆ ออกมาจนกระทั่งเกิดความสมดุลในพลาสมาและเกิดเป็นอาร์คพลาสมาที่มีพลังงานความร้อนสูงเมื่อนำไปผ่านช่องทางที่แคบลงหรือรูเล็กๆ ก็จะเกิดเป็นลำพลาสมาที่จะนำไปสู่การใช้ประโยชน์ต่อไป

### 2.3 การทำให้เกิดอาร์คพลาสมา

เนื่องจากอาร์คพลาสมาที่เกิดจากการ ไอออไนซ์ของก๊าซต้องได้รับพลังงานหรือความร้อนที่สูงมากดังนั้นเพื่อให้เกิดอาร์คพลาสมาที่มีความต่อเนื่องจึงนิยมใช้การอาร์คทางไฟฟ้าเป็นต้นกำเนิดพลังงาน โดยการให้ความร้อนกับก๊าซเพื่อให้เกิดอาร์คพลาสมาอย่างต่อเนื่อง กล่าวคือเมื่อก๊าซผ่านการอาร์คไฟฟ้าซึ่งมีอุณหภูมิประมาณ 6,000-11,000 องศาเซลวิน ทั้งนี้ขึ้นอยู่กับกระแสไฟฟ้าที่ไหลผ่าน อาร์คก๊าซจะถูกทำให้ร้อนและเกิด ไอออนไนซ์ดังแสดงตัวอย่างในรูปที่ 2.7

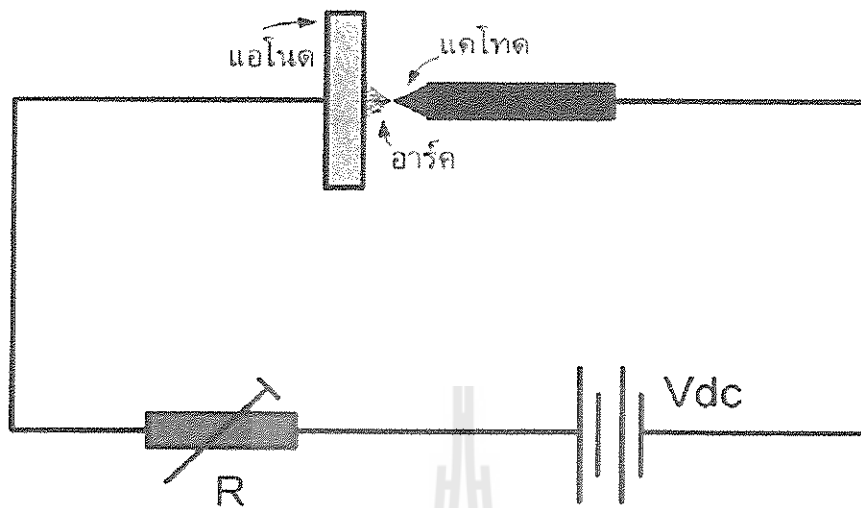


รูปที่ 2.7 การเกิดอาร์คพลาสมาเมื่อก๊าซไฮโดรเจนผ่านการอาร์คไฟฟ้า

อาร์คพลาสมาที่เกิดขึ้นจะมีอุณหภูมิที่สูงมาก อุณหภูมิในลำอาร์คพลาสมา(Plasma Torch)ก็ขึ้นอยู่กับรูปร่างของลำอาร์คพลาสมา กระแสที่ไหลผ่านอาร์ค รวมทั้งความเร็วของก๊าซที่ไหลผ่าน โดยทั่วไปอุณหภูมิในลำพลาสมาจะอยู่ระหว่าง 7,000 ถึง 10,000 องศาเซลวิน โดยที่อุณหภูมิที่แกนกลางของลำอาร์คพลาสมาอาจสูงถึง 20,000 ถึง 30,000 องศาเซลวิน และอุณหภูมিরอบนอกลำอาร์คพลาสมาอาจลดลงเหลือประมาณ 4,000 ถึง 5,000 องศาเซลวิน

การทำให้เกิดอาร์คพลาสมาด้วยไฟฟ้า สามารถทำได้สองวิธี วิธีแรกคือการลัดวงจรของขั้วไฟฟ้าซึ่งเป็นวิธีที่ง่ายที่สุดที่ทำให้เกิดการอาร์ค การใช้วิธีนี้เหมาะสำหรับใช้ในงานเชื่อม แต่ไม่นิยมมาใช้ในงานตัดเนื่องจากกระแสที่ใช้ขณะอาร์คมีค่าสูงมากและคุณภาพการตัดยังมีคุณภาพต่ำ ดังรูปที่ 2.8 เป็นตัวอย่างการทำงานของการทำงานของการเกิดอาร์คพลาสมาด้วยการลัดวงจร โดยมีแคโทดที่ทำด้วยโลหะทั้งสแตนที่มีทอเรียบปะปนประมาณ 3% ถูกฝนปลายให้แหลมแนะนำไปแตะกับแท่งแอโนดซึ่งทำให้เกิดกระแสไฟฟ้าไหลผ่านจุดสัมผัสระหว่างแอโนดกับแคโทด โดยมีค่าความต้านทาน  $R_c$  เป็นความต้านทาน ณ จุดสัมผัส โดยสามารถหาค่ากำลังสูญเสีย ณ จุดสัมผัสได้จากสมการที่ 2.1

$$P_c = I^2 \times R_c \quad (2.1)$$



รูปที่ 2.8 การทำให้เกิดอาร์คพลาสมาโดยวิธีลัดวงจร

กำลังงานที่สูงเกินไปจะทำให้จุดสัมผัสมีความร้อนสูงมากและทำให้ปลายแหลมที่สัมผัสบางส่วนอาจเป็นไอระเหยไปพร้อมกับมีอิเล็กตรอนถูกปล่อยจากปลายแหลมของแคโทดและเกิดความหนาแน่นของกระแสไฟฟ้าตามกฎของริชาร์ดสัน (Richardson) อิเล็กตรอนที่ถูกปล่อยออกจากปลายแหลมจะถูกเร่งไปยังแอโนดและระหว่างทางจะชนกับ โมเลกุลของก๊าซทำให้เกิดการแยกตัวเป็นอะตอมอิสระและไอออนเกิดเป็นพลาสมาในที่สุด อาร์คพลาสมาจึงทำหน้าที่เป็นตัวนำกระแสระหว่างแอโนดและแคโทด ในกรณีที่แอโนดและแคโทดถูกดึงให้ห่างออกจากกันถ้าอาร์คที่เกิดขึ้นแต่แรกจะยังคงเกิดเช่นเดิมเพราะถ้าอาร์คพลาสมาที่เกิดขึ้นเป็นตัวนำไฟฟ้าที่ดีจึงช่วยให้เกิดได้ง่ายขึ้นอย่างไรก็ตามระยะห่างระหว่างแคโทดและแอโนดที่ยังคงทำให้เกิดอาร์คพลาสมาอยู่ได้ก็ขึ้นอยู่กับพิกัดแรงดันของแหล่งจ่ายกำลังและค่าความต้านทาน ณ จุดสัมผัสด้วย

## 2.4 สถานะของพลาสมา

พลาสมาในทางเคมีและฟิสิกส์ คือ สถานะที่ 4 ของสสาร จากสถานะของสสารทั้งหมด 5 สถานะ คือ

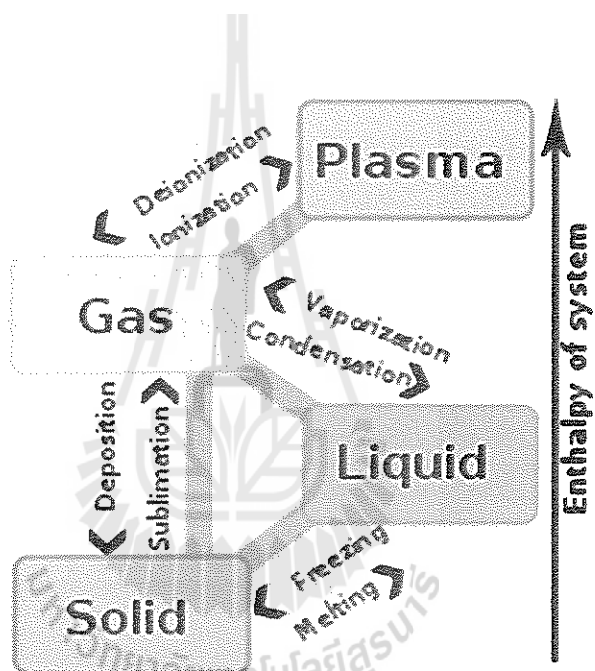
สถานะ 0 : Bose-Einstein condensate

สถานะ 1 : ของแข็ง (Solid)

สถานะ 2 : ของเหลว (Liquid)

สถานะ 3 : ก๊าซ (Gas)

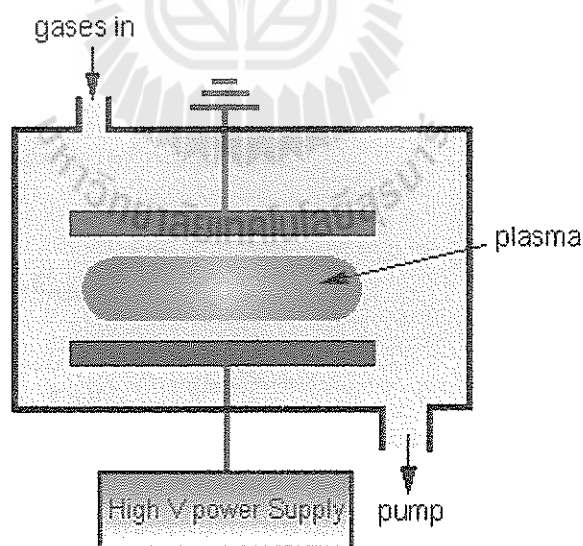
สถานะ 4 : พลาสมา (Plasma)



รูปที่ 2.9 สถานะต่างๆของพลาสมา

## 2.5 การกระตุ้นการแตกตัวของโมเลกุลสารด้วยสนามไฟฟ้าแรงสูง

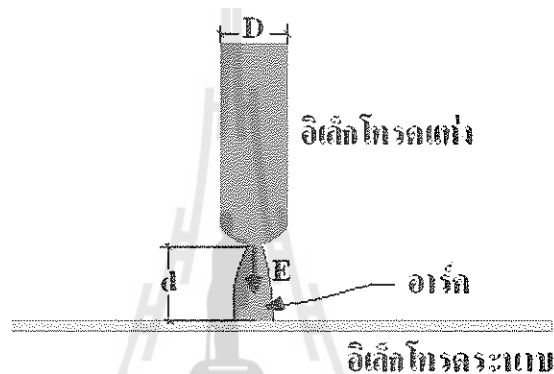
การให้ความต่างศักย์ไฟฟ้าระหว่างขั้วแอโนด (+) และ ขั้วแคโทด (-) สูงมากจะเกิดสนามไฟฟ้าแรงสูงทำให้ประจุลบ (Electron) จากขั้วแคโทด (-) แยกตัวและกระโดดสู่ขั้วแอโนด (+) ได้โดยไม่ต้องอาศัยตัวกลางทางไฟฟ้า ปรากฏการณ์นี้เกิดขึ้นได้ในธรรมชาติ เช่น การเกิดฟ้าผ่า เป็นต้น การที่ประจุลบแตกตัวออกจากโลหะที่ใช้ทำขั้วแคโทดทำให้เกิดพลาสมาที่เรียกว่า พลาสมาโลหะ (Iron Plasma) ซึ่งเป็นพลาสมาอุณหภูมิต่ำเนื่องจากโลหะเป็นของแข็งที่มีการจับตัวกันของอะตอมเป็นพันธะ โลหะมีแรงยึดเหนี่ยวระหว่างอะตอมสูงจึงทำให้ประจุลบแตกตัวออกจากอะตอมได้ยากและมีปริมาณการแตกตัวน้อย แต่ถ้ามีการปล่อยก๊าซผ่านสนามไฟฟ้าแรงสูงดังกล่าว โมเลกุลของก๊าซจะถูกชนด้วยประจุลบที่แตกตัวออกจากโลหะที่ใช้ทำขั้วแคโทดจน โมเลกุลของก๊าซแตกตัวออกเป็นพลาสมาของก๊าซชนิดนั้น ทำให้ได้รับความร้อนจากการแตกตัวสูงขึ้นมากเนื่องจาก โมเลกุลของก๊าซแตกตัวได้ง่ายและหากมีความเข้มข้นของสนามไฟฟ้าสูงมากพอ โมเลกุลของก๊าซก็จะแตกตัวเกือบทั้งหมด ในกรณีของก๊าซที่นำมาปล่อยผ่านสนามไฟฟ้าแรงสูงดังกล่าวเป็นก๊าซเชื้อเพลิงด้วยแล้ว หาก โมเลกุลของก๊าซเชื้อเพลิงแตกตัวเป็นประจุไม่หมด โมเลกุลของก๊าซที่ไม่แตกตัวเป็นพลาสมาก็จะเกิดการสันดาปขึ้นด้วยความร้อนที่ได้จากการแตกตัวของ โมเลกุลอื่นทำให้ได้อุณหภูมิที่เพิ่มขึ้น



รูปที่ 2.10 การสร้างพลาสมาจากสนาม

## 2.6 สนามไฟฟ้าระหว่างขั้วอิเล็กโทรด

สนามไฟฟ้า (Electric Field) หมายถึง บริเวณ โดยรอบประจุไฟฟ้า ซึ่งประจุไฟฟ้า สามารถส่งอำนาจไปถึง หรือบริเวณที่เมื่อนำประจุไฟฟ้าเข้าไปวางแล้วจะเกิดแรงกระทำบนประจุไฟฟ้านั้น จุดต่างๆ ในบริเวณสนามไฟฟ้าจะมีความเข้มของสนามไฟฟ้าแตกต่างกัน จุดที่อยู่ใกล้ประจุไฟฟ้า จะมีความเข้มของสนามไฟฟ้าสูงกว่าจุดที่อยู่ไกลออกไป นอกจากนั้น ณ จุดต่างๆ ในบริเวณสนามไฟฟ้าจะมีค่าศักย์ไฟฟ้าค่าต่างกันด้วย ซึ่งเป็นศักย์ไฟฟ้า ชนิดเดียวกันกับศักย์ไฟฟ้าที่เกิดจากประจุไฟฟ้าเจ้าของสนาม ไฟฟ้านั้นจุดที่อยู่ใกล้ประจุไฟฟ้าจะมีศักย์ไฟฟ้าสูงกว่าจุดที่อยู่ไกลออกไป



รูปที่ 2.11 สนามไฟฟ้าที่เกิดการอาร์ค

สนามไฟฟ้าระหว่างขั้วอิเล็กโทรดคำนวณได้ดังนี้

$$E_{max} = \frac{V_{max}}{\eta d}$$

เมื่อ  $E_{max}$  คือ สนามไฟฟ้าสูงสุด

$V_{max}$  คือ แรงดันไฟฟ้า

$\eta$  คือ ประสิทธิภาพของสนามไฟฟ้ามีค่าตั้งแต่ 0.1

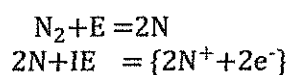
$d$  คือ ระยะห่างระหว่างขั้วอิเล็กโทรด

## 2.7 ทฤษฎีการแตกตัวของก๊าซ

การทำให้ก๊าซแตกตัวเป็นพลาสมาจะต้องให้พลังงานในรูปแบบต่างๆ สถานะก๊าซในปริมาณที่มากพอเพื่อให้ก๊าซนั้นแตกตัวออกเป็นธาตุอะตอมเดี่ยวและให้พลังงานต่อเนื่องอย่างน้อยมากกว่าระดับพลังงานไอออไนเซชันลำดับที่ 1 ของก๊าซนั้นจึงจะทำให้ก๊าซเปลี่ยนสถานะเป็นพลาสมา

ตัวอย่าง การคำนวณ

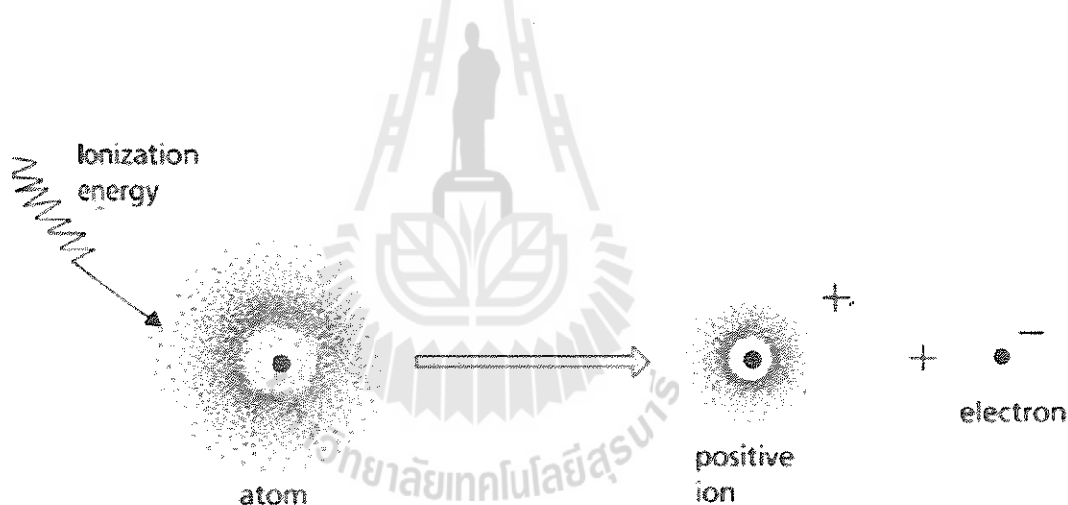
สมการเคมีของการทำให้ก๊าซ  $N_2$  แตกตัวเป็นพลาสมา



E คือ พลังงานสลายพันธะ (Bond Energy)

IE คือ พลังงานไอออไนเซชัน (Ionization Energy, IE)

$\{2N^+ + 2e^-\}$  คือ ก๊าซแตกตัว ( Ionized Gas) และอิเล็กตรอนอิสระที่อยู่ในสถานะพลาสมา



รูปที่ 2.12 การไอออไนเซชัน



## 2.8 การคำนวณพลังงานที่ใช้ในการสร้างพลาสมา

หิวเผาพลาสมาต้นแบบใช้หลักการทำให้อากาศแตกตัวเป็นพลาสมา โดยให้อากาศผ่าน กระแสอาร์คที่เกิดขึ้นระหว่างขั้วแคโทด (Cathode) และแอโนด (Anode) ซึ่งพลังงานที่ใช้ในการทำให้อากาศแตกตัวเป็นพลาสมาได้นั้นคำนวณจาก พลังงานสลายพันธะ และ พลังงานไอออไนเซชัน ลำดับที่ 1 ของธาตุต่างๆ ที่เป็นองค์ประกอบในอากาศ

อากาศมีองค์ประกอบเป็นก๊าซใน ไตรเจน ( $N_2$ ) 77% ก๊าซออกซิเจน ( $O_2$ ) 22 % และก๊าซอื่นๆ 1% โดยมวล ในการคำนวณพลังงานที่ใช้ในการทำให้อากาศแตกตัวเป็นพลาสมาครั้งนี้จะให้ ก๊าซไนโตรเจน ( $N_2$ ) และก๊าซออกซิเจน ( $O_2$ ) เป็นตัวแทนขององค์ประกอบทั้งหมดของอากาศใน อัตราส่วน 77% : 23 % โดยมวล ตามลำดับ การคำนวณพลังงานที่ใช้ในการทำให้อากาศแตกตัวเป็นพลาสมาทำได้ดังนี้

วิธีคำนวณ > ข้อมูลในการคำนวณ

Bond	D (kJ/mol)	r (pm)	Bond	D (kJ/mol)	r (pm)
N-N	167	145	O-O	142	148
N=N	418	125	O=O	494	121
N≡N	942	110	O-F	190	142
N-O	201	140	S=O	522	143
N=O	607	121	S-S ( $S_8$ )	226	205
N-F	283	136	S=S	425	149
N-Cl	313	175	S-F	284	155

ตารางที่ 2.1 พลังงานพันธะของโมเลกุลก๊าซชนิดต่างๆ

(1) คุณสมบัติทางเคมีขององค์ประกอบของอากาศ

- ก๊าซไนโตรเจน( $N_2$ )

มวลโมเลกุล	$28 \times 10^{-3}$	kg/mol
มวลอะตอม	$14 \times 10^{-3}$	kg/mol
พลังงานพันธะ $N \equiv N$	942	kJ/mol <sub>โมเลกุล</sub>
พลังงานไอออไนเซชันลำดับที่ 1	1402	kJ/mol <sub>อะตอม</sub>

- ก๊าซออกซิเจน ( $O_2$ )

มวลโมเลกุล	$32 \times 10^{-3}$	kg/mol
มวลอะตอม	$16 \times 10^{-3}$	kg/mol
พลังงานพันธะ $O = O$	494	kJ/mol <sub>โมเลกุล</sub>
พลังงานไอออไนเซชันลำดับที่ 1	1314	kJ/mol <sub>อะตอม</sub>

(2) การคำนวณปริมาณองค์ประกอบของอากาศ ที่มีก๊าซไนโตรเจน ( $N_2$ ) และก๊าซออกซิเจน ( $O_2$ ) เป็นตัวแทนขององค์ประกอบทั้งหมดในอัตราส่วน 77 % : 23 % โดยมวล

$$m_{air} = m_{n_2} + m_{o_2}$$

$$m_{air} = 0.77m_{air} + 0.23m_{air}$$

- ก๊าซไนโตรเจน ( $N_2$ )

$$\text{จำนวนโมลโมเลกุล} = \frac{0.77m_{air}}{28 \times 10^{-3}}$$

$$\text{จำนวนโมลอะตอม} = \frac{0.77m_{air}}{14 \times 10^{-3}}$$

- ก๊าซออกซิเจน ( $O_2$ )

$$\text{จำนวนโมลโมเลกุล} = \frac{0.23m_{air}}{32 \times 10^{-3}}$$

$$\text{จำนวนโมลอะตอม} = \frac{0.23m_{air}}{16 \times 10^{-3}}$$

(3) การคำนวณมวลอากาศโดยกำหนดพลังงานที่จะใช้พลังงาน

- พลังงานสลายพันธะ

$$\text{ก๊าซไนโตรเจน } (N_2) = \left( \frac{0.77 m_{air}}{28 \times 10^{-3}} \right) \times 942$$

$$\text{ก๊าซออกซิเจน } (O_2) = \left( \frac{0.23 m_{air}}{32 \times 10^{-3}} \right) \times 494$$

- พลังงานไอออไนเซชันลำดับที่ 1

$$\text{ก๊าซไนโตรเจน } (N_2) = \left( \frac{0.77 m_{air}}{14 \times 10^{-3}} \right) \times 1402$$

$$\text{ก๊าซออกซิเจน } (O_2) = \left( \frac{0.23 m_{air}}{16 \times 10^{-3}} \right) \times 1314$$

- พลังงานที่ใช้ในการทำให้อากาศแตกตัวเป็นพลาสมาที่ระดับพลังงานไอออไนเซชันลำดับที่ 1

$$E = \left[ \left( \frac{0.77 m_{air}}{28 \times 10^{-3}} \right) \times 942 \right] + \left[ \left( \frac{0.23 m_{air}}{32 \times 10^{-3}} \right) \times 494 \right] + \left[ \left( \frac{0.77 m_{air}}{14 \times 10^{-3}} \right) \times 1402 \right] + \left[ \left( \frac{0.23 m_{air}}{16 \times 10^{-3}} \right) \times 1314 \right]$$

$$E = [(25.91 \times 10^3) + (3.55 \times 10^3) + (77.11 \times 10^3) + (18.89 \times 10^3)] \times m_{air}$$

$$E = (125.46 \times 10^3) \times m_{air}$$

พลังงานที่ทำให้อากาศแตกตัวเป็นพลาสมา 100 % ที่ระดับพลังงานไอออไนเซชันลำดับที่

1 จะต้องใช้พลังงานเท่ากับ

$$E \geq (125.46 \times 10^3) \times m_{air}$$

เมื่อ

$E$  คือ พลังงานที่ทำให้อากาศแตกตัวเป็นพลาสมา 100 % ที่ระดับพลังงานไอออไนเซชันลำดับที่ 1 หน่วย kW

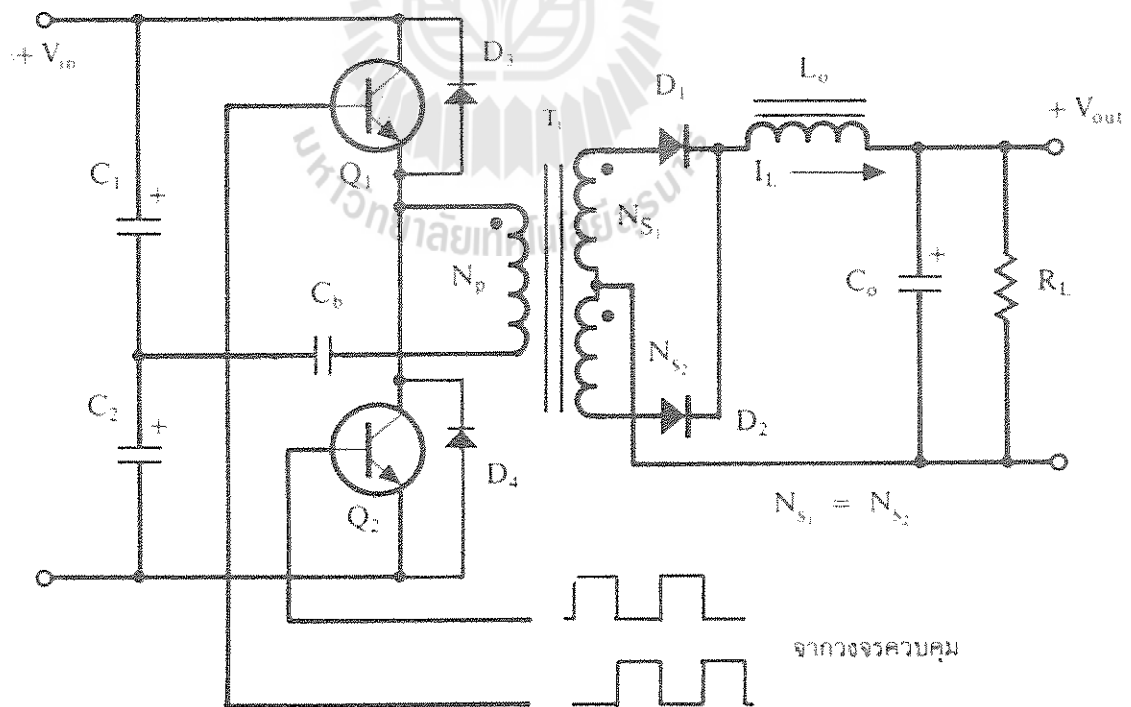
$m_{air}$  คือ อัตราการไหลเชิงมวลของอากาศ หน่วย kg/s

## 2.9 วงจรฮาล์ฟบริดจ์คอนเวอร์เตอร์ (Half-Bridge Converter)

อาจกล่าวได้ว่าฮาล์ฟบริดจ์คอนเวอร์เตอร์ (Half-Bridge Converter) เป็นคอนเวอร์เตอร์ในตระกูลเดียวกับพุก-พุลคอนเวอร์เตอร์ แต่ลักษณะการจัดเรียงอุปกรณ์ของฮาล์ฟบริดจ์คอนเวอร์เตอร์จะทำให้เพาเวอร์ทรานซิสเตอร์ภายในวงจรมีแรงดันที่ตกคร่อมขณะหยุดนำกระแสเพียงค่าแรงดันอินพุตเท่านั้น ทำให้เพาเวอร์ทรานซิสเตอร์ที่ใช้มีราคาถูกลงและหาได้ง่ายกว่า ซึ่งจะลดข้อจำกัดต่างๆ เมื่อใช้กับระบบแรงดันไฟฟ้าสูงๆ เช่น ที่แรงดันไฟฟ้สลับ 220 โวลต์ลงได้มาก รวมทั้งฮาล์ฟบริดจ์คอนเวอร์เตอร์ยังสามารถหลีกเลี่ยงปัญหาการไม่สมมาตรฟลักซ์ในแกนเฟอร์ไรต์ของหม้อแปลงได้อีกด้วย ส่วนประกอบการทำงานของวงจรฮาล์ฟบริดจ์คอนเวอร์เตอร์ (Half-Bridge Converter) ประกอบไปด้วยการทำงานของส่วนต่างๆดังนี้

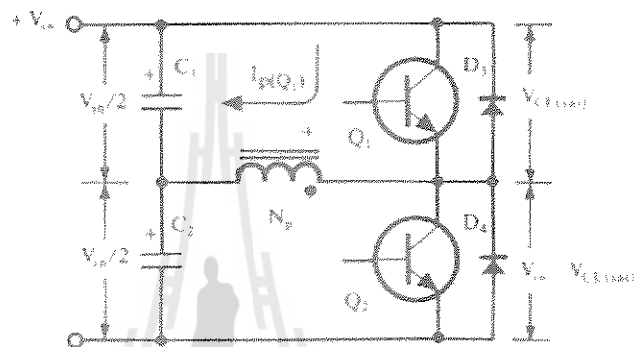
### 2.9.1 การทำงานพื้นฐานของฮาล์ฟบริดจ์คอนเวอร์เตอร์

วงจรพื้นฐานของฮาล์ฟบริดจ์คอนเวอร์เตอร์ดังแสดงในรูปที่ 2.13 การทำงานของวงจรจะเป็นดังนี้

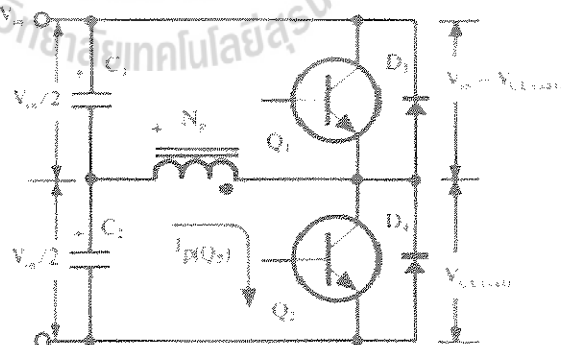


รูปที่ 2.13 แสดงวงจรพื้นฐานของฮาล์ฟบริดจ์คอนเวอร์เตอร์

เนื่องจากตัวเก็บประจุ  $C_1$  และ  $C_2$  ได้ถูกกำหนดให้มีค่าเท่ากันนำมาต่ออนุกรมกันทางด้านอินพุตเพื่อแบ่งครึ่งแรงดัน แรงดันตกคร่อม  $C_1$  และ  $C_2$  จึงมีค่าเท่ากับครึ่งหนึ่งของแรงดันที่อินพุตเพาเวอร์-ทรานซิสเตอร์  $Q_1$  และ  $Q_2$  จะสลับกันทำงานคนละครึ่งคาบเวลาเช่นเดียวกับการทำงานของวงจรพุ่ม-พูลคอนเวอร์เตอร์ และเพื่อให้ง่ายแก่การพิจารณาการทำงานของวงจร เราจะพิจารณาในกรณีที่ไม่มีตัวเก็บประจุ  $C_b$  ต่ออยู่ในวงจรเสียก่อน โดยให้ปลายของขดไฟโพรมารี  $N_p$  ที่ต่ออยู่กับ  $C_b$  นั้นต่อโดยตรงเข้ากับจุดต่อระหว่างตัวเก็บประจุ  $C_1$  และ  $C_2$  ดังในรูปที่ 2.14



รูปที่ 2.14 (ก). ขณะที่  $Q_1$  นำกระแส  $Q_2$  จะมีแรงดันตกคร่อมเท่ากับ  $V_{in} - V_{CE(sat)}$  และแรงดันตกคร่อม  $N_p$  เท่ากับ  $V_{in} / 2 - V_{ce(sat)}$



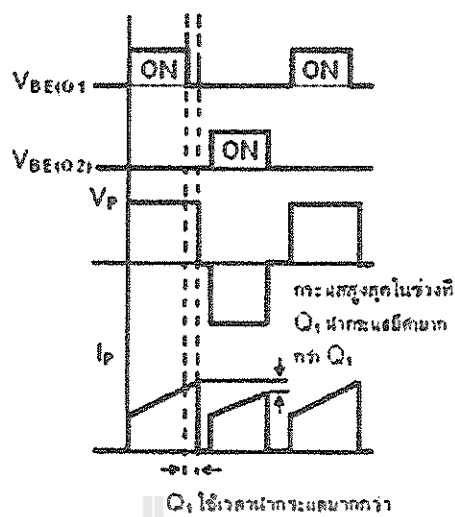
รูปที่ 2.14 (ข). ขณะที่  $Q_2$  นำกระแส  $Q_1$  จะมีแรงดันตกคร่อมเท่ากับ  $V_{in} - V_{CE(sat)}$  และแรงดันตกคร่อม  $N_p$  เท่ากับ  $V_{in} / 2 - V_{ce(sat)}$

เมื่อ  $Q_1$  เริ่มนำกระแส และ  $Q_2$  ไม่นำกระแส แรงดันตกคร่อม  $Q_2$  จะมีค่าเท่ากับ  $V_{in} - V_{CE(sat)}$  ส่วนแรงดันตกคร่อมของขดลวดไพรมารี  $N_p$  จะมีค่าเท่ากับ  $V_{c_1} - V_{cc(sat)}$  หรือมีค่าเท่ากับ  $V_{in} / 2 - V_{ce(sat)}$  นั่นเอง ในทำนองเดียวกัน เมื่อ  $Q_2$  นำกระแส และ  $Q_1$  ไม่นำกระแส แรงดันตกคร่อม  $Q_1$  จะมีค่าเท่ากับ  $V_{in} - V_{CE(sat)}$  เช่นเดียวกัน แรงดันตกคร่อมที่ขดลวดไพรมารี  $N_p$  ก็ยังคงมีค่าเท่ากับ  $V_{in} / 2 - V_{ce(sat)}$  เนื่องจาก  $V_{CE(sat)}$  มีค่าประมาณ 0.5-1 โวลต์ ดังนั้นจะเห็นได้ว่า แรงดันตกคร่อม  $Q_1$  และ  $Q_2$  ที่ขดลวดด้านเซคันดารีจะมีลักษณะเดียวกับพุ่ม-พุดคอนเวอร์เตอร์

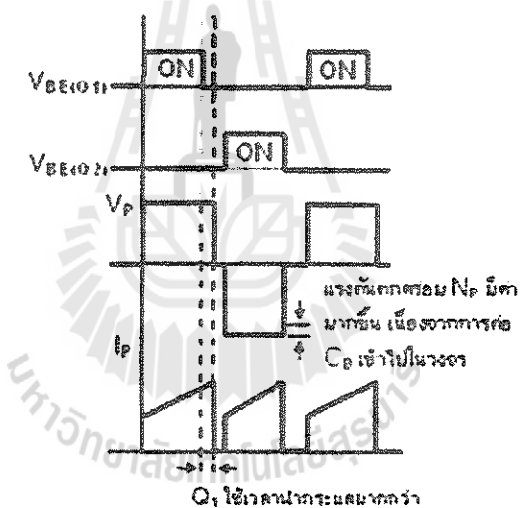
## 2.9.2 ตัวเก็บประจุเพื่อป้องกันการไม่สมมาตรของฟลักซ์แม่เหล็ก (Blocking Capacitor)

ตัวเก็บประจุบล็อกกิ้ง (Blocking Capacitor)  $C_b$  ที่ต่อเพิ่มเข้ามาในวงจรนั้น มีหน้าที่หลักคือป้องกันการไม่สมมาตรของฟลักซ์ขึ้นในแกนเฟอร์ไรต์ขณะที่วงจรทำงาน เพราะในทางปฏิบัติการต่อตัวเก็บประจุ  $C_1$  และ  $C_2$  เพื่อให้แรงดันที่ตกคร่อมตัวเก็บประจุทั้งสองมีค่าเท่ากันจริงๆนั้นทำได้ยากรวมทั้งการไม่แมตช์กันของเพาเวอร์ทรานซิสเตอร์  $Q_1$  และ  $Q_2$  อาจก่อให้เกิดปัญหาการไม่สมมาตรของฟลักซ์ขึ้นได้ทั้งสิ้น

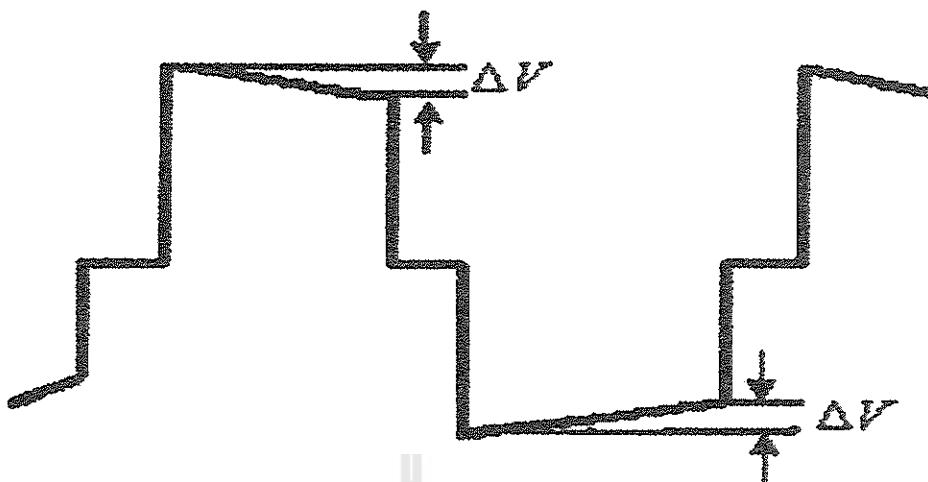
การต่อตัวเก็บประจุบล็อกกิ้ง  $C_b$  คั่นเข้ามาในวงจร จะทำให้  $C_b$  มีการเก็บประจุและคายประจุสลับกันไปตามทิศทางของกระแสที่ไหลในขดลวดไพรมารี  $N_p$  ถ้าผลของการเกิดประจุสะสมทำให้  $Q_1$  และ  $Q_2$  มีช่วงเวลานำกระแสไม่เท่ากัน ก็จะทำให้การเก็บประจุและคายประจุของ  $C_b$  ใช้เวลาไม่เท่ากันด้วยเป็นผลทำให้มีประจุเหลือค้างใน  $C_b$  และทำให้เกิดค่าแรงดันตกคร่อม  $C_b$  นั่นคือหากเพาเวอร์ทรานซิสเตอร์ตัวใดมีค่าช่วงเวลานำกระแสมากกว่า ในกรณีนี้ค่ากระแสสูงสุดจะมีค่ามากขึ้นตามเวลาที่เพิ่มขึ้นด้วย อย่างไรก็ตามก็จะทำให้มีประจุเหลือค้างใน  $C_b$  ดังนั้นเมื่อเพาเวอร์ทรานซิสเตอร์อีกตัวเริ่มนำกระแส แรงดันที่ตกค้างใน  $C_b$  จะช่วยเพิ่มค่าแรงดันตกคร่อมขดลวดไพรมารีให้มีค่ามากขึ้น ค่าของกระแสสูงสุดก็จะมีค่าเท่ากันได้และจะไม่เกิดการไม่สมมาตรของฟลักซ์เกิดขึ้น ส่วนการทำงานของ  $C_b$  ในกรณีที่แรงดันตกคร่อม  $C_1$  และ  $C_2$  มีค่าไม่เท่ากันนั้นก็จะเป็นไปในทำนองเดียวกัน



รูปที่ 2.15 (ก) แสดงลักษณะของการไม่สมมาตรฟลักซ์เนื่องจาก  $Q_1$  ใช้เวลานำกระแสมากกว่า  $Q_2$



รูปที่ 2.15 (ข) แสดงผลของการต่อตัวเก็บประจุลึอกคั้งเนื่อง  $C_b$  เข้ามาในวงจรเพื่อลดการไม่สมมาตรฟลักซ์



รูปที่ 2.16 แสดงลักษณะของการเกิดความลาด  $D_{\text{roop}}$  ขึ้นบนแรงดันที่ตกคร่อมขดไฟโรมารี่เมื่อต่อตัวเก็บประจุล้อยก  $C_b$  คั่นเข้ามาในวงจร

อย่างไรก็ตามการต่อตัวเก็บประจุล้อยก  $C_b$  คั่นเข้าไปในวงจร จะทำให้แรงดันที่ตกคร่อมขดลวดไฟโรมารี่มีค่าลดลงตามเวลาหรือเกิดความลาด  $D_{\text{roop}}$  ขึ้นบนแรงดัน เนื่องจากแรงดันส่วนหนึ่งไปตกคร่อม  $C_b$  และจะมีผลต่อแรงดันทางด้านเซคันดารีทำให้เกิดการกระเพื่อมของแรงดันที่เอาท์พุทซึ่งไม่เป็นที่ต้องการเช่นกัน ดังนั้นจำเป็นต้องกำหนดค่า  $C_b$  ให้เหมาะสมเพื่อให้เกิดความลาดบนแรงดันที่ขดลวดไฟโรมารี่ที่ต่ำที่สุด การกำหนดค่าของ  $C_b$  อาจทำได้ดังนี้คือ

$$C_b = \frac{I_{p(\text{PK})}(0.4T)}{\Delta V}$$

- เมื่อ  $I_{p(\text{PK})}$  คือ ค่ากระแสสูงสุดที่ขดลวดไฟโรมารี่  
 $\Delta V$  คือ ค่าของความลาดแรงดันสูงสุดที่ยอมรับได้  
 $T$  คือ ค่าคาบเวลาการทำงานของคอนเวอร์เตอร์



## 2.10 คอมมิวเตตติ้งไดโอด (Commutating Diode)

คอมมิวเตตติ้งไดโอดมีหน้าที่ 2 ประการ คือ

1. ป้องกันการเกิดแรงดันสไปค์ในขณะที่เพาเวอร์ทรานซิสเตอร์เริ่มหยุดนำกระแส เนื่องจากค่าความเหนี่ยวนำแฝงในหม้อแปลง โดยพลังงานที่สะสมอยู่ในตัวเหนี่ยวนำแฝงนี้จะถูกถ่ายเทออกไปยังภาคอินพุตด้วยคอมมิวเตตติ้งไดโอด จึงไม่ทำให้เกิดแรงดันสไปค์เมื่อเพาเวอร์ทรานซิสเตอร์เริ่มหยุดนำกระแส

2. ในขณะที่เพาเวอร์ทรานซิสเตอร์  $Q_1$  เริ่มหยุดนำกระแส ขดลวดไพรมารี  $N_p$  จะมีการกลับขั้วแรงดันเกิดขึ้น ถ้าไม่มีคอมมิวเตตติ้งไดโอด  $Q_2$  จะได้รับแรงดันตกคร่อมที่ขาคอลเลกเตอร์เป็นลบ ในขณะที่  $Q_1$  ก็จะมีแรงดันตกคร่อมมากกว่าค่า  $\frac{V_{in}}{2}$  ในกรณีนี้ไดโอด  $D_4$  จะอยู่ในลักษณะถูกไบแอสตรงจากแรงดันของขดลวดไพรมารีและลดค่าแรงดันนี้ลงไปในทำนองเดียวกันกับเมื่อ  $Q_2$  เริ่มหยุดนำกระแส ไดโอด  $D_3$  จะทำหน้าที่เช่นเดียวกัน เป็นการป้องกันเพาเวอร์ทรานซิสเตอร์

\*\*\*ข้อสังเกต ไดโอดที่นำมาใช้เป็นคอมมิวเตตติ้งไดโอดในตำแหน่ง  $D_3$  และ  $D_4$  ต้องเป็นชนิดฟาสต์รีฟเวอร์รี่ และต้องทนแรงดันย้อนกลับได้อย่างน้อย 2 เท่าของแรงดันตกคร่อมเพาเวอร์ทรานซิสเตอร์ขณะที่เพาเวอร์ทรานซิสเตอร์หยุดนำกระแส

## 2.11 ค่าเวลาเพื่อ

ค่าเวลาเพื่อ  $T_D$  เพื่อกำจัดช่วงเวลานำกระแสสูงสุด  $t_{ON(max)}$  ของเพาเวอร์ทรานซิสเตอร์  $Q_1$  และ  $Q_2$  เป็นสิ่งสำคัญมากในวงจรฮาล์ฟบริดจ์คอนเวอร์เตอร์ จะเห็นว่าการต่อกันอยู่ในวงจรของ  $Q_1$  และ  $Q_2$  ถ้าหาก  $Q_1$  และ  $Q_2$  นำกระแสพร้อมๆ กัน จะเกิดการลัดวงจรของแรงดันอินพุตทันทีซึ่งจะเป็นอันตรายต่อเพาเวอร์ทรานซิสเตอร์และอุปกรณ์อื่นๆ ในวงจรได้ ดังนั้นช่วงเวลานำกระแสสูงสุดของ  $Q_1$  และ  $Q_2$  จะต้องถูกจำกัดด้วยค่าเวลาเพื่อ  $t_D$  เช่นเดียวกับวงจรพุ่ม-พูลคอนเวอร์เตอร์ โดยอาจจะกำหนดไว้ที่ 20 เปอร์เซ็นต์ของครึ่งหนึ่งของค่าคาบเวลา ดังนั้น

$$t_{ON(max)} = 0.4T$$

## 2.12 หม้อแปลงสวิตชิง

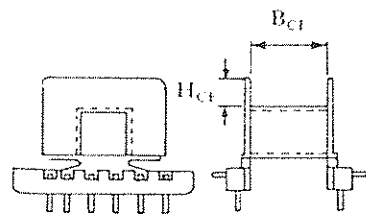
หม้อแปลงสวิตชิง (Switching Transformer) จัดเป็นอุปกรณ์สำคัญสำหรับสวิตชิงเพาเวอร์ซัพพลาย ผู้ออกแบบสวิตชิงเพาเวอร์ซัพพลายจึงจำเป็นต้องศึกษารูปแบบที่เป็นไปได้ในลักษณะต่างๆของหม้อแปลงสวิตชิง ความเหมาะสมในการใช้งาน การคำนวณขนาดแกนเฟอร์ไรต์ขนาดหลอดทองแดงรวมทั้งการกำหนดความปลอดภัยทางไฟฟ้า เพื่อความปลอดภัยและลดกำลังงานสูญเสียในหม้อแปลงสวิตชิงขณะทำงาน

### 2.12.1 แกนเฟอร์ไรต์ (Ferrite Core)

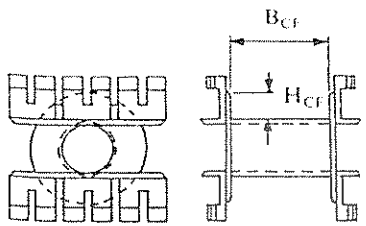
เฟอร์ไรต์เป็นวัสดุประเภทเฟอร์โรแมกเนติก (Ferromagnetic material) การเหนี่ยวนำแม่เหล็กบนแกนเฟอร์ไรต์มีผลทำให้เกิดความหนาแน่นฟลักซ์แม่เหล็กสูงกว่าการเหนี่ยวนำแม่เหล็กที่เกิดขึ้นบนแกนอากาศมาก เฟอร์ไรต์มีค่าจุดอิ่มตัวฟลักซ์แม่เหล็กค่อนข้างสูง ประมาณในช่วง 3,000 ถึง 4,000 เกาส์ และเกิดการสูญเสียในตัวมันต่ำที่ความถี่สูงๆ ดังนั้นหม้อแปลงสวิตชิงจึงนิยมใช้แกนเป็นเฟอร์ไรต์มากที่สุด เฟอร์ไรต์ที่นำมาใช้ทำแกนของหม้อแปลงสวิตชิงจะมีรูปร่างแตกต่างกันออกไปขึ้นอยู่กับการใช้งานและมาตรฐานในการออกแบบ

### 2.12.2 บอบบิ้น (Bobin)

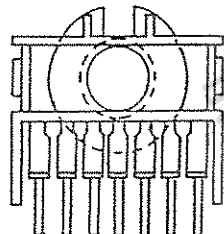
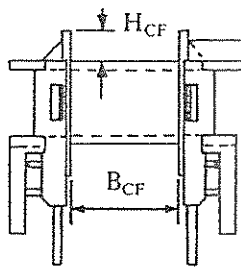
บอบบิ้นหรือแบบรองพัน ปกติจะทำจากพลาสติกชนิดทนความร้อน ได้สูงและไม่ติดไฟ บอบบิ้นจะช่วยให้การพันขดลวดบนแกนเฟอร์ไรต์สะดวกขึ้น และป้องกันปัญหาการลัดวงจรระหว่างขดลวดกับแกนเฟอร์ไรต์ได้ บอบบิ้นจะมีขนาดมาตรฐานตามมาตรฐานของแกนเฟอร์ไรต์ ตัวอย่างขนาดของบอบบิ้นดูได้จากรูปที่ 2.19 บอบบิ้นส่วนใหญ่จะถูกออกแบบให้มีขาพับหลอดทองแดง เพื่อความสะดวกในการพันขดลวดและบัดกรีติดกับแผ่น PCB



EE Bobbin



EC Bobbin

ETD  
Bobbin

CORE TYPE	$A_w(\text{cm}^2)$	$B_{CF}(\text{mm})$	$H_{CF}(\text{mm})$	$l_e(\text{mm})$
E 814E250	0.17	6.7	2.1	34.29
E 813E187	0.33	9.3	3.2	36.32
E 813E343	0.36	10.0	3.2	47.50
E 812E250	0.58	10.1	4.9	55.12
E 782E272	0.80	17.3	4.7	55.88
E 375	1.05	16.5	6.6	73.41
E 21	1.14	17.9	6.0	86.36
E 783E608	1.78	26.3	7.1	92.96
E 348E772	1.81	26.3	7.1	99.06
E 625	1.32	21.2	6.4	94.9
E 55	2.80	33.1	8.6	113.03
E 75	2.42	26.2	8.1	119.38

CORE TYPE	$A_w(\text{cm}^2)$	$B_{CF}(\text{mm})$	$H_{CF}(\text{mm})$	$l_e(\text{mm})$
EC 35	0.97	21.5	4.8	50.04
EC 41	1.35	24.5	5.8	59.94
EC 52	2.13	28.3	7.7	72.90
EC 70	4.77	41.5	11.7	95.0

CORE TYPE	$A_w(\text{cm}^2)$	$B_{CF}(\text{mm})$	$H_{CF}(\text{mm})$	$l_e(\text{mm})$
ETD 34	1.23	21.0	6.0	59.94
ETD 39	1.74	25.6	6.9	68.58
ETD 44	2.13	29.6	7.3	76.2
ETD 49	2.71	32.8	8.4	85.09

$A_w$  = พื้นที่ช่องพันขดลวด

$B_{CF}$  = ความยาวแกนที่พันขดลวดได้

$H_{CF}$  = ระยะจำกัดความสูงของขดลวด

$l_e$  = ความยาวเฉลี่ยของลวดทองแดงที่พันบนแกนต่อหนึ่งรอบ

รูปที่ 2.17 แสดงตัวอย่างและขนาดมาตรฐานของบอบบินแกนเฟอร์ไรต์แบบ EE, EC และ ETD

### 2.13 ลวดทองแดงอาบนํ้ายา (Enamelled Copper Wire)

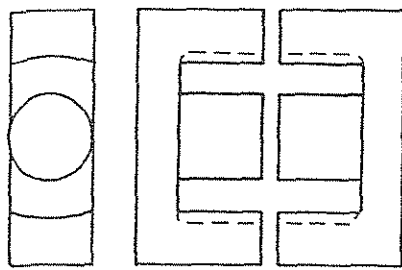
การพันขดลวดทั้งไพรมารีและเซคันดารีของหม้อแปลงสวิตชิ่งที่กำลังไม่สูงมากนัก ปกติจะใช้ลวดทองแดงอาบนํ้ายาพันบนแกนบอบบินเพื่อให้ได้จำนวนรอบตามต้องการ ขนาดของขดลวดทองแดงที่จะใช้พันนั้น ขึ้นอยู่กับค่ากระแสสูงสุดที่ผ่านขดลวด ความถี่และผลข้างเคียงอื่นๆ

## 2.14 เทปฉนวน (Insulation Tape)

เทปฉนวนใช้พันสำหรับเป็นตัวรองระหว่างชั้นของขดลวดในหม้อแปลงสวิตชิง และมีหน้าที่สำคัญในการแยกส่วนทางไฟฟ้าระหว่างขดไฟปฐมารีและขดเซคันดารีด้วยวัสดุที่ใช้ทำเทปฉนวนอาจเป็นพวกไมลาร์ (Mylar) หรือ โพลีเอสเตอร์ (Polyester) ที่มีความหนาอยู่ในช่วง 0.05-0.1 มิลลิเมตร การเลือกใช้จะขึ้นอยู่กับารออกแบบและค่าความปลอดภัยที่ต้องการจากหม้อแปลงสวิตชิงเป็นหลัก

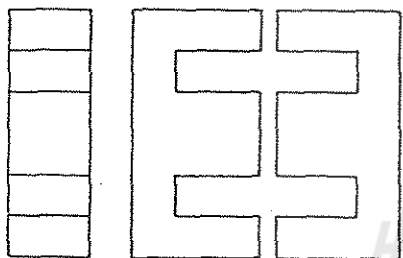
## 2.15 แกนเฟอร์ไรต์และการเลือกใช้

แกนเฟอร์ไรต์สำหรับหม้อแปลงสวิตชิง โดยทั่วไป จะถูกผลิตออกมาที่ขนาดและรูปทรงต่างๆตามมาตรฐานเดียวกัน เช่น แกนแบบ EI, EE, ETD หรือแกนแบบ POT เป็นต้น ปกติผู้ผลิตจะทำแกนเฟอร์ไรต์ออกมาในลักษณะของคู่ประกบ เพื่อความสะดวกในการประกอบเข้ากับขอบบิ้น การประกบแกนเฟอร์ไรต์บนขอบบิ้นจะทำให้ทางเดินของฟลักซ์แม่เหล็กที่เกิดขึ้นในแกนเฟอร์ไรต์มีลักษณะเป็นวงบรรจบได้ ตัวอย่างขนาดของแกนเฟอร์ไรต์แบบต่างๆ แสดงไว้ในรูปที่ 2.18



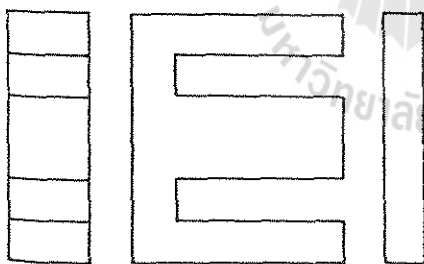
ETD

CORE TYPE	$A_c$ (cm <sup>2</sup> )	$A_w$ (cm <sup>2</sup> )	$V_c$ (cm <sup>3</sup> )	$l_c$ (mm)
ETD 34	0.971	1.220	7.64	78.6
ETD 39	1.250	1.740	11.50	92.2
ETD 44	1.740	2.130	18.00	103.0
ETD 49	2.110	2.710	24.20	114.0



EE

CORE TYPE	$A_c$ (cm <sup>2</sup> )	$A_w$ (cm <sup>2</sup> )	$V_c$ (cm <sup>3</sup> )	$l_c$ (mm)
EE 20/20/5	0.31	0.35	1.34	43.0
EE 30/30/7	0.59	0.78	4.00	66.9
EE 42/42/15	1.82	1.78	17.6	97.0
EE 42/42/20	2.36	1.78	23.1	97.4
EE 42/54/20	2.36	2.40	28.8	122.0
EE 42/66/20	2.36	3.40	34.5	143.0
EE 55/55/21	3.54	2.50	43.7	123.0
EE 55/55/25	4.20	2.50	52.0	123.0
EE 65/66/27	5.32	3.93	78.2	147.0



EI

CORE TYPE	$A_c$ (cm <sup>2</sup> )	$A_w$ (cm <sup>2</sup> )	$V_c$ (cm <sup>3</sup> )	$l_c$ (mm)
EI 19	0.24	0.517	0.950	39.6
EI 22/19	0.41	0.44	1.630	39.3
EI 25/19	0.42	0.819	2.02	48.6
EI 28/20	0.85	0.725	4.11	48.4
EI 30/26	1.11	0.791	6.45	58.1
EI 35/29	1.21	1.36	8.18	67.6
EI 40/35	1.48	1.08	11.3	76.9
EI 50/42	2.30	1.7	21.8	94.8
EI 60/44	2.48	2.94	27.2	109.7

- $A_c$  = ขนาดพื้นที่หน้าตัดแกนเฟอร์ไรต์  
 $A_w$  = ขนาดพื้นที่ช่องพันขดลวดของบอบบิ้น  
 $V_c$  = ปริมาตรของแกนเฟอร์ไรต์  
 $l_c$  = ระยะทางเดินฟลักซ์แม่เหล็กในแกนเฟอร์ไรต์

รูปที่ 2.18 แสดงตัวอย่างขนาดของแกนเฟอร์ไรต์แบบ EE, EI และ ETD

แกนแบบ POT นั้นจะใช้กับหม้อแปลงสวิตชิงที่ไม่ต้องการกำลังสูง (ไม่เกิน 125 วัตต์) และในงานที่ต้องการสัญญาณรบกวน EMI/RFI ต่ำ เนื่องจากลักษณะรูปทรงของมันสามารถป้องกันการแพร่กระจายของสัญญาณรบกวนได้ดี แต่แกนแบบ POT มีช่องสำหรับให้ขดลวดลวดออกมาภายนอกได้ค่อนข้างเล็ก จึงเป็นอุปสรรคในการพันลวดทองแดงขนาดใหญ่เมื่อหม้อแปลงต้องการกำลังสูง แกนที่นิยมจากสามารถพันขดลวดรอบแกนบนบอบบิ้นได้สะดวก แกนในกลุ่มนี้จะมีขนาดต่างๆ ให้เลือกใช้งานได้เป็นจำนวนมาก โดยสามารถให้กำลังงานได้ตั้งแต่ 5 วัตต์ ไปจนถึง 10 กิโลวัตต์ อย่างไรก็ตาม สัญญาณรบกวน EMI/RFI ที่เกิดขึ้นจะมีค่ามากกว่าแกนแบบ POT

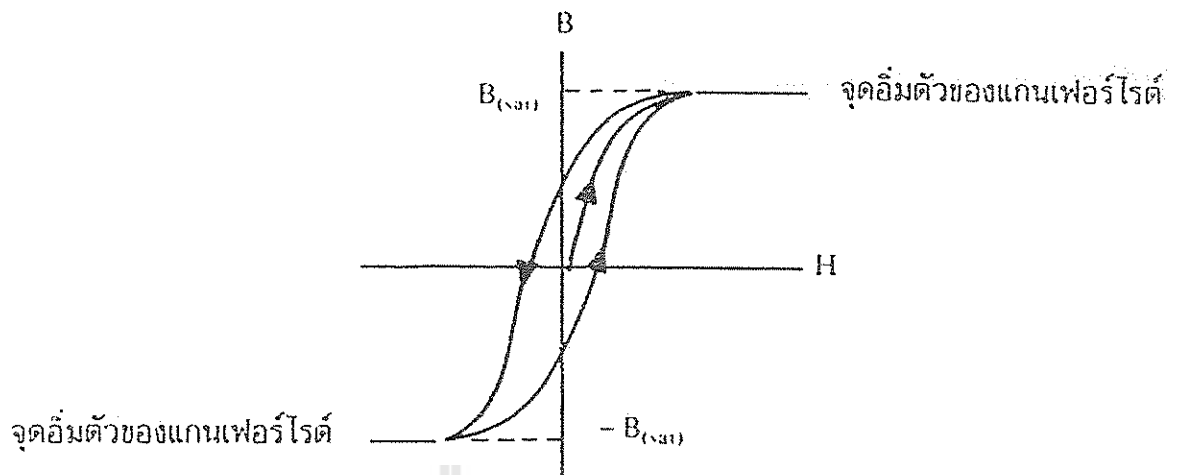
ยังมีแกนเฟอร์ไรต์ในแบบอื่นๆ ที่สามารถนำมาใช้งานได้อีก เช่น แกนแบบ RM, PQ และ LP แต่มักไม่ค่อยพบเห็นตามท้องตลาดทั่วไป และไม่ค่อยเป็นที่นิยม

## 2.16 ลักษณะสมบัติของเนื้อสารที่ใช้ทำแกนเฟอร์ไรต์

ชนิดของเนื้อสารแกนเฟอร์ไรต์ที่แตกต่างกัน จะให้คุณสมบัติทางแม่เหล็กของแกนเฟอร์ไรต์แตกต่างกันด้วยถึงแม้จะมีขนาดเท่ากันทุกประการก็ตาม ในแผ่นข้อมูลเนื้อสารที่ให้มากับแกนเฟอร์ไรต์นั้น จะต้องมีการละเอียดคุณสมบัติเนื้อสารแสดงไว้เสมอ ข้อมูลสำคัญที่ควรจะทำความเข้าใจและศึกษาไว้ก็คือเส้นโค้งฮิสเตอร์รีซิส (Hysteresis curve) และค่าการสูญเสียในแกนเฟอร์ไรต์ (Core Loss)

## 2.17 เส้นโค้งฮิสเตอร์รีซิส (Hysteresis Curve)

เส้นโค้งฮิสเตอร์รีซิสจะแสดงความสัมพันธ์ระหว่าง ค่าความหนาแน่นฟลักซ์แม่เหล็ก (B) ที่เกิดขึ้นในแกนเฟอร์ไรต์ กับความเข้มของสนามแม่เหล็ก (H) ที่เกิดจากการเหนี่ยวนำของขดลวดที่พันบนแกนในรูปที่ และ จะแสดงลักษณะของเส้นโค้งฮิสเตอร์รีซิสของเนื้อสารชนิด 3C8 และ 3C6A ตามลำดับ ซึ่งผลิตโดยผู้ผลิตคือ FERROXCUBE จากรูปจะเห็นว่า ค่าความหนาแน่นฟลักซ์



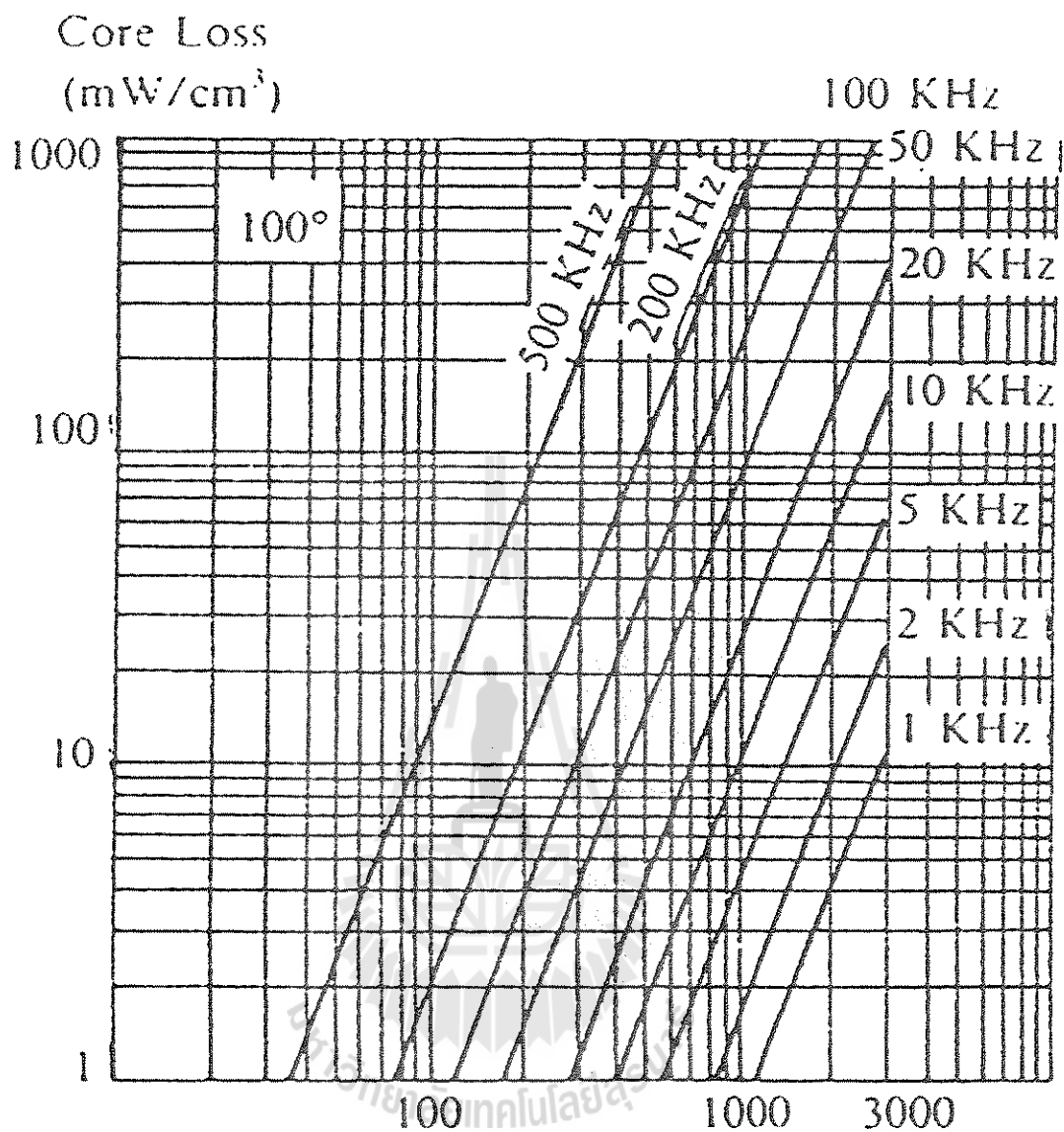
รูปที่ 2.20 แสดงลักษณะที่สมบูรณ์ของเส้นโค้งฮิสเตอร์รีซิสซึ่งจะมีลักษณะสมมาตรของกราฟซีกบนและซีกล่าง ปกติผู้ผลิตจะให้กราฟให้ซีกบนมาเท่านั้นดังรูปในรูปที่ 2.19

การใช้งานแกนเฟอร์ไรต์ในหม้อแปลงสวิตช์ซึ่งจะต้องระวังไม่ทำให้แกนเฟอร์ไรต์เกิดการอิ่มตัวขึ้นได้ ดังนั้นโดยทั่วไปในการออกแบบหม้อแปลงสวิตช์ จึงควรกำหนดค่าความหนาแน่นฟลักซ์แม่เหล็ก  $B$  ที่ยอมให้เกิดขึ้นได้ในแกนขณะทำงาน มีค่าไม่เกินครึ่งหนึ่งของค่าความหนาแน่นฟลักซ์แม่เหล็กสูงสุดก่อนอิ่มตัวของแกนเฟอร์ไรต์ เพื่อความปลอดภัย

## 2.18 ค่าการสูญเสียในแกนเฟอร์ไรต์ (Core Loss)

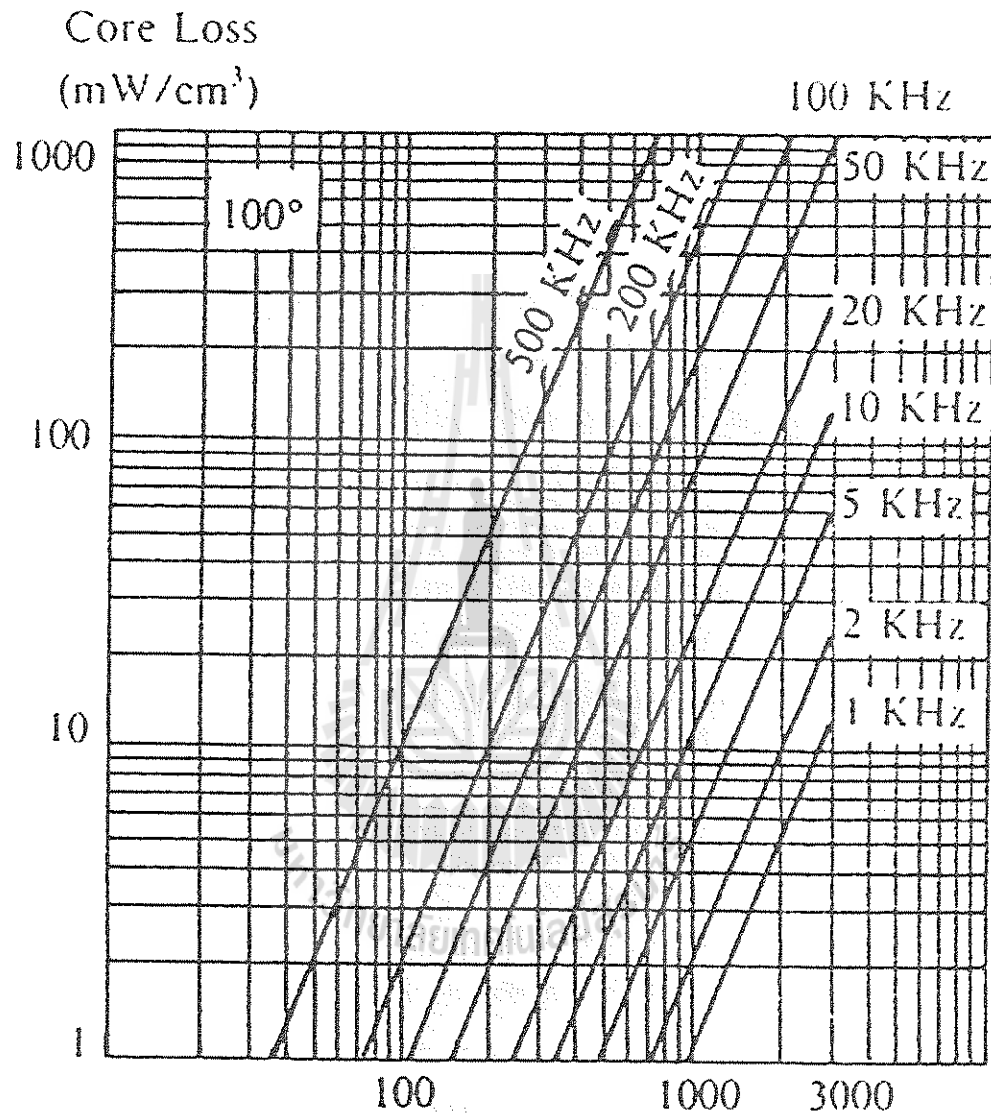
การสูญเสียที่เกิดขึ้นในแกนเฟอร์ไรต์จะทำให้แกนเฟอร์ไรต์ร้อน ซึ่งมีสาเหตุหลัก 2 ประการคือ การสูญเสียที่เกิดจากลักษณะฮิสเตอร์รีซิสของแกน (Hysteresis Loss) และการสูญเสียจากการเกิดกระแสไหลวนภายในแกนเฟอร์ไรต์ (Eddy Current Loss)

ที่ความถี่ต่ำกว่า 100 กิโลเฮิรตซ์ การสูญเสียจากการเกิดกระแสไหลวนในแกนจะมีค่าน้อยสำหรับแกนที่มีขนาดไม่ใหญ่มากนัก ดังนั้นการสูญเสียที่ก่อให้เกิดความร้อนในแกนอาจพิจารณาได้จากการสูญเสียทางฮิสเตอร์รีซิสเพียงอย่างเดียว ตัวอย่างกราฟแสดงค่าการสูญเสียที่เกิดขึ้นในแกนเฟอร์ไรต์แสดงไว้ในรูปที่ 2.21 (ก) และ 2.21 (ข) ปกติค่ากำลังสูญเสียจะถูกระบุไว้เป็นมิลลิวัตต์ต่อหนึ่งลูกบาศก์เซนติเมตร ( $\text{mw/cm}^3$ ) และมีค่าความหนาแน่นฟลักซ์แม่เหล็ก ความถี่การใช้งาน รวมถึงอุณหภูมิขณะใช้งานของแกนเฟอร์ไรต์



รูปที่ 2.21 (ก) แสดงค่าการสูญเสียในแกนเฟอร์ไรต์ของเนื้อสารชนิด 3C8





รูปที่ 2.21 (ข) แสดงค่าการสูญเสียในแกนเฟอร์ไรต์ของเนื้อสารชนิด 3C6A

## 2.19 การกำหนดค่าความหนาแน่นฟลักซ์แม่เหล็กสูงสุดในแกนหม้อแปลง

ค่าความหนาแน่นฟลักซ์แม่เหล็กในแกนของหม้อแปลง จะขึ้นอยู่กับจำนวนรอบของขดลวดไพรมารีและขนาดของแกน จากกฎของฟาราเดย์จะได้ว่า

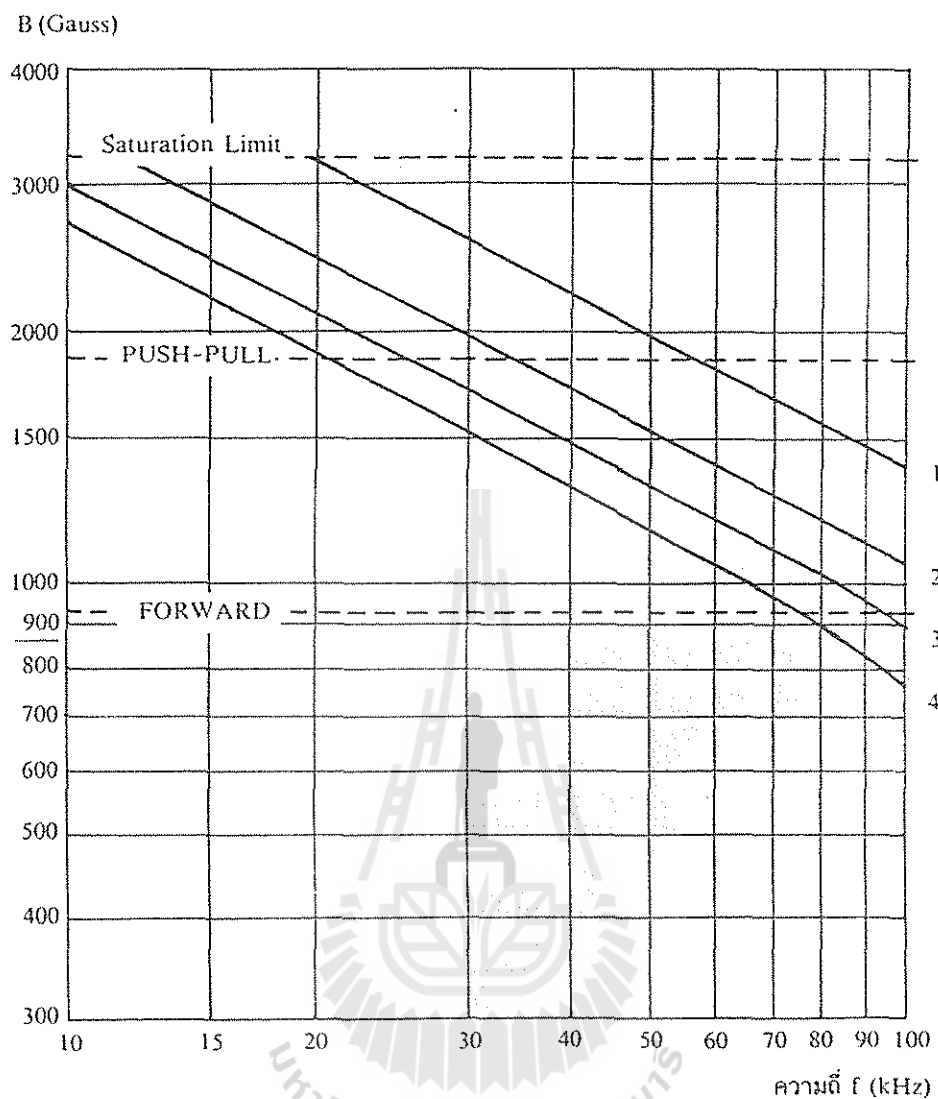
$$\Delta B = \frac{V \times t}{N_p \times A_c} \times 10^8$$

เมื่อ	$\Delta B$	คือ	ค่าความหนาแน่นฟลักซ์แม่เหล็กที่เกิดขึ้นในแกน เป็นเกาส์
	V	คือ	ค่าแรงดันที่ตกคร่อมขดไพรมารี เป็นโวลต์
	$N_p$	คือ	ค่าจำนวนรอบของขดไพรมารี เป็นรอบ
	$A_c$	คือ	ขนาดพื้นที่หน้าตัดของแกน เป็นตารางเซนติเมตร
	T	คือ	ช่วงเวลาที่มีการเปลี่ยนแปลงฟลักซ์แม่เหล็กเกิดขึ้น เป็นวินาที

จะเห็นได้ว่ายิ่งจำนวนรอบของขดลวดไพรมารีมีค่าน้อยลง ค่าความหนาแน่นฟลักซ์ที่เกิดขึ้นจะยังมีค่ามาก ซึ่งการลดจำนวนรอบของขดไพรมารีลงจะทำให้สามารถใช้ลวดทองแดงขนาดใหญ่ขึ้นได้ และสามารถทนกระแสได้สูงทำให้หม้อแปลงให้กำลังได้สูงขึ้น

อย่างไรก็ตาม หากค่าความหนาแน่นฟลักซ์แม่เหล็กมีค่าเพิ่มขึ้นจนถึงจุดอิ่มตัว จะทำให้แรงดันตกคร่อม ขดไพรมารีมีค่าลดลงอย่างรวดเร็ว แรงดันอินพุตจะไปตกคร่อมที่เพาเวอร์ทรานซิสเตอร์ขณะที่กำลังนำกระแสสูงๆ แทน ทำให้เพาเวอร์ทรานซิสเตอร์พังเสียหายได้ และความหนาแน่นฟลักซ์แม่เหล็กที่มีค่าสูงจะทำให้เกิดการสูญเสียภายในแกนสูงอีกด้วย ดังนั้นการกำหนดค่าความหนาแน่นฟลักซ์แม่เหล็กสูงสุดที่ยอมให้เกิดขึ้นในแกนเฟอร์ไรต์ของหม้อแปลงขณะทำงาน จึงมีข้อที่ควรคำนึงถึง 2 ประการคือ แกนเฟอร์ไรต์ต้องไม่เกิดอิ่มตัวขณะทำงานที่ค่าความหนาแน่นฟลักซ์แม่เหล็กสูงสุดที่เกิดขึ้นในแกนขณะทำงานจะต้องเกิดการสูญเสียในแกน-เฟอร์ไรต์ต่ำที่สุด

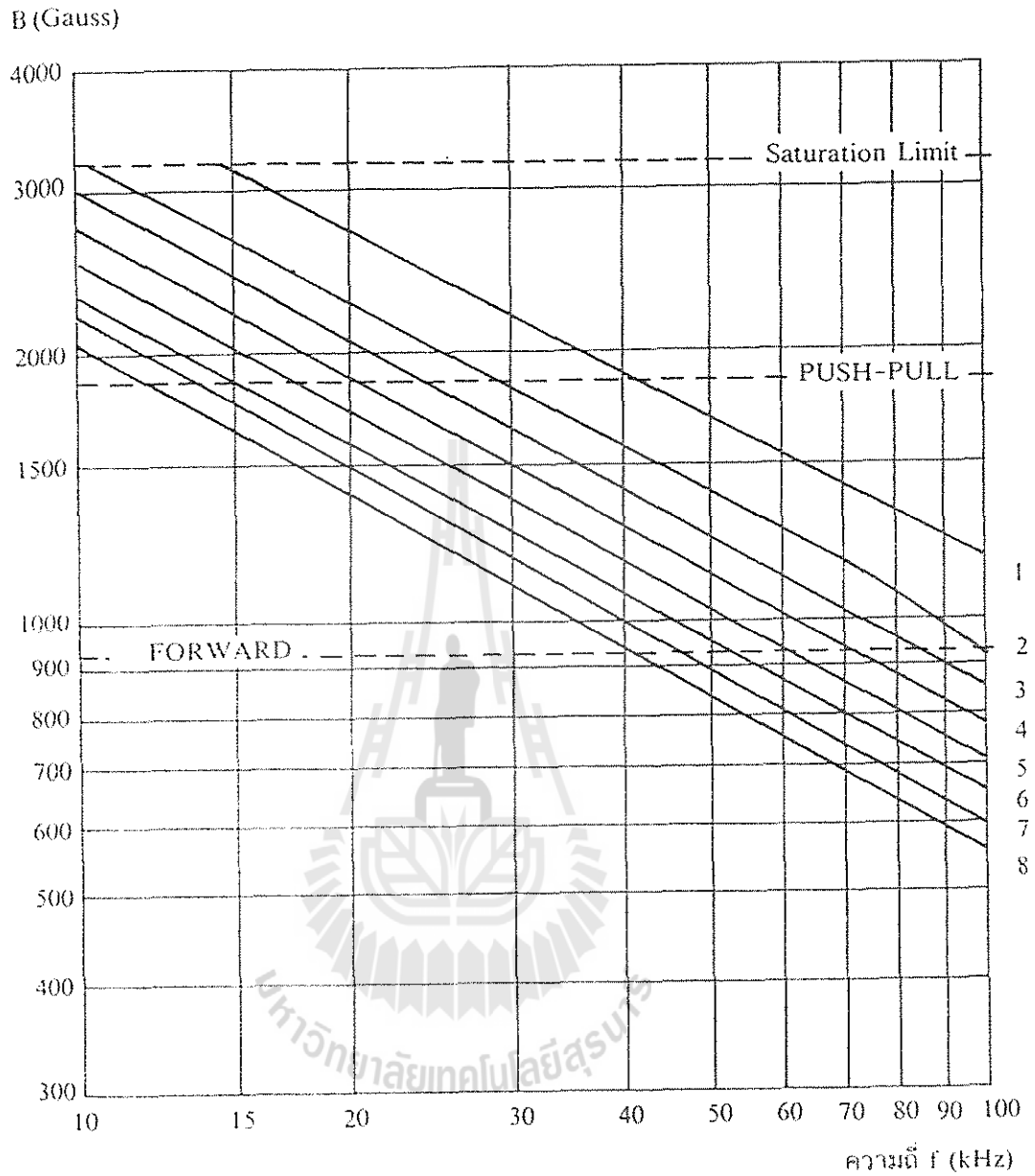
หมายเหตุ การกำหนดค่าความหนาแน่นฟลักซ์แม่เหล็ก  $\Delta B$  ให้กำหนดเป็น 2 เท่าของค่าที่อ่านได้จากกราฟ ( $2 \times \Delta B$ ) และค่า  $\Delta B$  ไม่ควรกำหนดเกินเส้นประในกราฟ ซึ่งแสดงขีดจำกัดของ  $\Delta B$  สำหรับคอนเวอร์เตอร์



ขนาดแกนเฟอร์ไรต์ :

- (1) UU 15/22/6, E 20/20/5 (2) UU 20/32/7, EE 25/25/7, EE 30/30/7  
 (3) UU 25/40/13 (4) UU 30/15/16

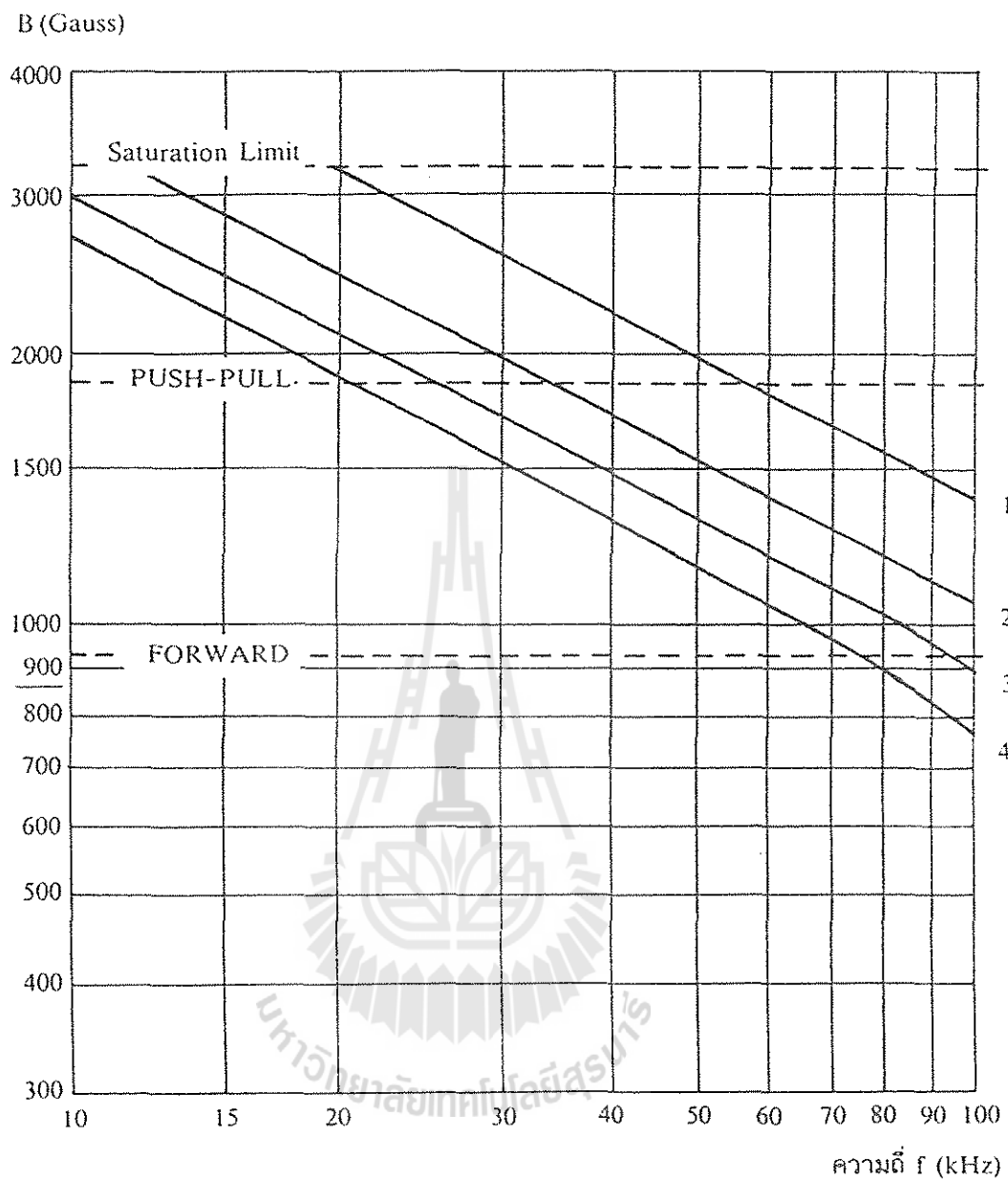
รูปที่ 2.22 (ก) กราฟเปรียบเทียบขนาดแกนเฟอร์ไรต์



ขนาดแกนเฟอร์ไรต์ :

- (1) EC 35 (2) EC 41, EC 52 (3) EC 70 (4) EE 42/42/15  
 (5) EE 42/42/20, EE 42/54/20, EE 42/66/20 (6) EE 55/55/21  
 (7) EE 55/55/25, UU 64/70/20 (8) EE 65/66/27

รูปที่ 2.22 (ข) กราฟเปรียบเทียบขนาดแกนเฟอร์ไรต์



- ขนาดแกนเฟอร์ไรต์ : (1) ETD 34  
 (2) ETD 39  
 (3) ETD 44  
 (4) ETD 49

รูปที่ 2.22 (ค) กราฟเปรียบเทียบขนาดแกนเฟอร์ไรต์

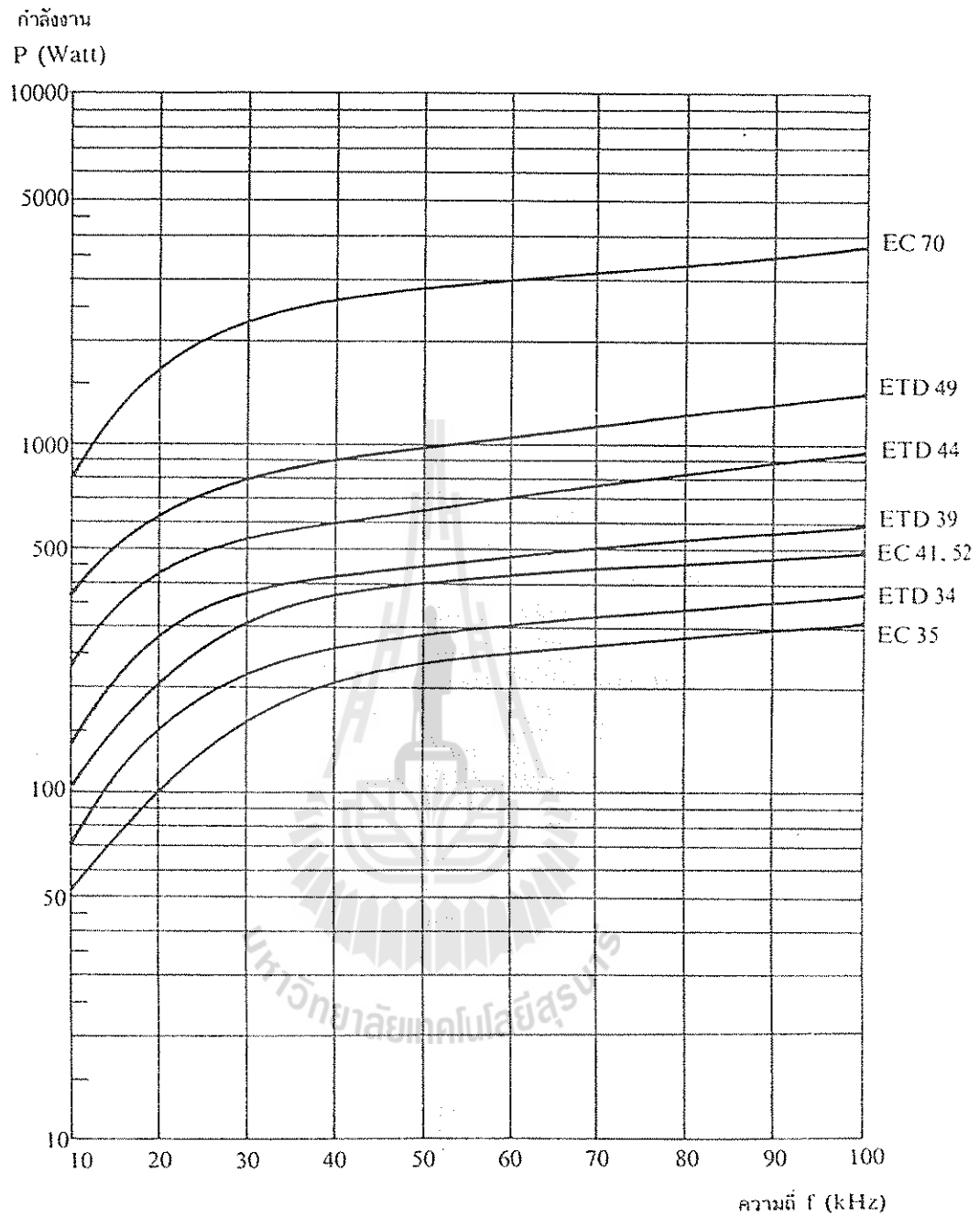
## 2.20 การเลือกขนาดแกนเฟอร์ไรต์ที่เหมาะสม

การใช้แกนเฟอร์ไรต์ที่มีขนาดใหญ่เกินไป สำหรับหม้อแปลงสวิตช์ จะเป็นการสิ้นเปลืองค่าใช้จ่ายโดยไม่จำเป็น ส่วนการใช้แกนเฟอร์ไรต์ที่มีขนาดเล็กเกินไป ขดลวดและแกนเฟอร์ไรต์จะร้อน กำลังงานสูงสุดที่เหมาะสมสำหรับแกนเฟอร์ไรต์ขนาดต่างๆ พิจารณาได้จากขนาดหน้าตัดของแกน ( $A_c$ ) และขนาดช่องสำหรับพันขดลวดของบอบบิ้น ( $A_w$ ) โดยอาจคำนวณได้จากสมการดังนี้ สำหรับแกนที่ใช้กับหม้อแปลงของฮาล์ฟบริดจ์และฟูลบริดจ์คอนเวอร์เตอร์

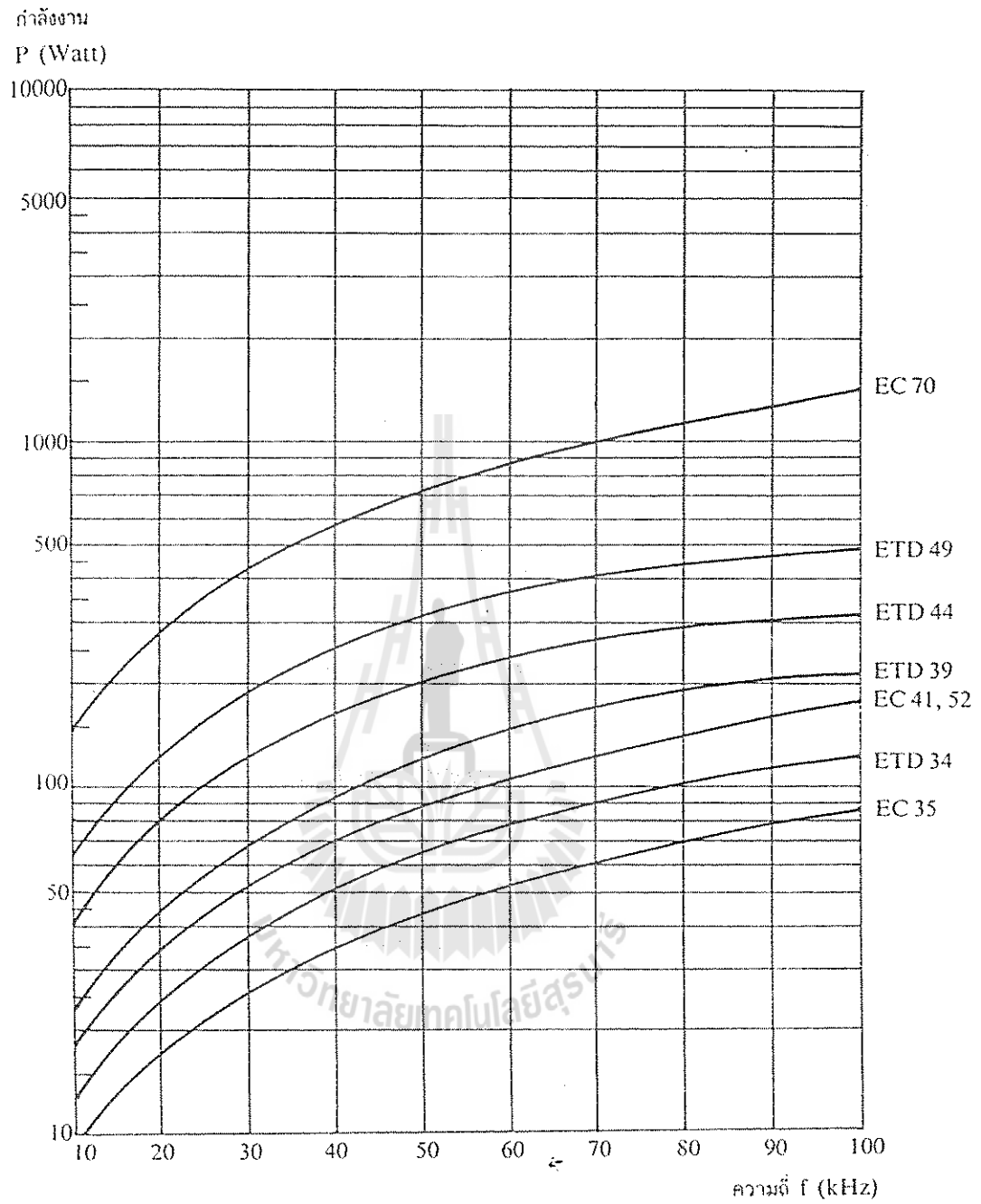
$$P = \frac{1.4\Delta B_{(max)} \times f \times A_c \times A_w}{D} \times 10^{-3} \quad (2.2)$$

- $\Delta B_{(max)}$  = ค่าความหนาแน่นฟลักซ์สูงสุดในแกนเฟอร์ไรต์ เป็นเกาส์  
 $F$  = ค่าความถี่การทำงานของเฟ้นเฟอร์ไรต์ เป็นเฮิรตซ์  
 $A_c$  = พื้นที่หน้าตัดของแกนเฟอร์ไรต์ เป็นตารางเซนติเมตร  
 $A_w$  = พื้นที่ช่องสำหรับพันขดลวดของบอบบิ้น เป็นตารางเซนติเมตร  
 $D$  = ค่าความหนาแน่นกระแสไหลไฟโรมารี เป็นเซอร์คูลาร์มิลต่อแอมป์  
 $P$  = กำลังงานสูงสุดที่ได้จากแกนเฟอร์ไรต์ เป็นวัตต์

ค่าของ  $\Delta B_{(max)}$  ที่เหมาะสมหาได้จากรูปที่ 2.22 (ก), (ข) และ (ค) ส่วนค่าของ  $A_c$  และ  $A_w$  เป็นขนาดมาตรฐานของแกนเฟอร์ไรต์ที่ใช้ โดยดูได้จากข้อมูลจากผู้ผลิตที่ให้มากับแกนเฟอร์ไรต์ ค่าของ  $D$  กำหนดได้จากขนาดของลวดทองแดงที่ใช้พัน รูปที่ 2.21 แสดงค่ากำลังที่เหมาะสมสำหรับแกนขนาดต่างๆ ในการใช้งานที่ความถี่ 20 กิโลเฮิรตซ์ถึง 100 กิโลเฮิรตซ์ ซึ่งคำนวณจากสมการที่ 2.2 โดยกำหนดค่าความหนาแน่นกระแส  $D$  ไว้ที่ 500 เซอร์คูลาร์มิลต่อหนึ่งแอมป์



รูปที่ 2.23 (ก) แสดงค่ากำลังงานที่เหมาะสมสำหรับแกนเฟอร์ไรต์ขนาดต่างๆ เมื่อใช้กับฮาล์ฟบริดจ์คอนเวอร์เตอร์



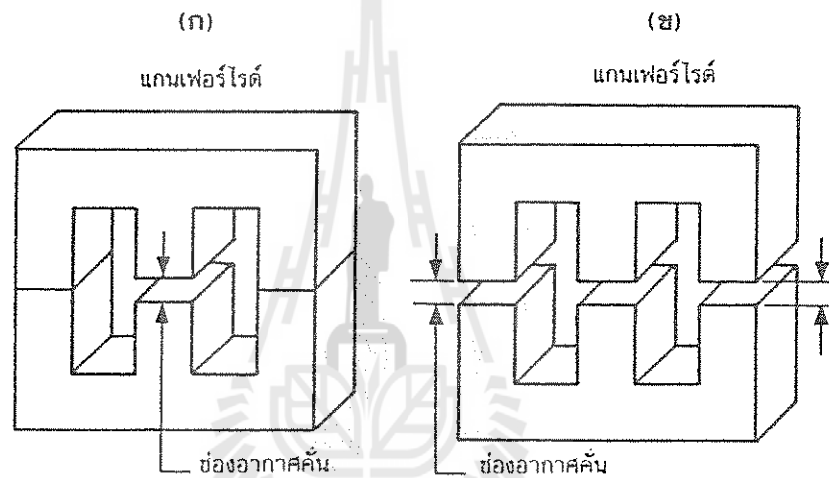
รูปที่ 2.23 (ข) แสดงค่ากำลังงานที่เหมาะสมสำหรับแกนเฟอร์ไรต์ขนาดต่างๆ เมื่อใช้กับฮาล์ฟบริดจ์คอนเวอร์เตอร์



## 2.21 ช่องอากาศคั่นทางเดินแม่เหล็กในแกนเฟอร์ไรต์ (Air Gap)

การกำหนดช่องอากาศคั่นทางเดินแม่เหล็ก (Air Gap) ในแกนเฟอร์ไรต์ เป็นวิธีการอย่างหนึ่งที่ใช้ป้องกันการอิ่มตัวของแกนเฟอร์ไรต์ และช่วยให้การสะสมพลังงานของขดลวดในหม้อแปลงสวิตช์ซึ่งมีค่ามากขึ้นได้ด้วย อย่างไรก็ตาม ช่องอากาศคั่นในแกนเฟอร์ไรต์จะทำให้เกิดการแพร่กระจายสัญญาณรบกวน EMI ออกมา และอาจรบกวนอุปกรณ์ภายนอกได้เช่นกัน

สำหรับแกนเฟอร์ไรต์แบบ EE, EI, ETD หรือแบบ POT สามารถกำหนดลักษณะของช่องอากาศคั่นในแกนได้ 2 ลักษณะ ดังรูปที่ 2.24 คือการกำหนดช่องอากาศคั่นที่แกนกลางอย่างเดียว และการคั่นแกนด้วยช่องอากาศระหว่างคู่ประกบ



รูปที่ 2.24 แสดงกำหนดช่องอากาศคั่น  $l_g$  ที่แกนกลาง (ก) และการคั่นช่องอากาศ  $l_g$  ระหว่างคู่ประกอของแกนเฟอร์ไรต์

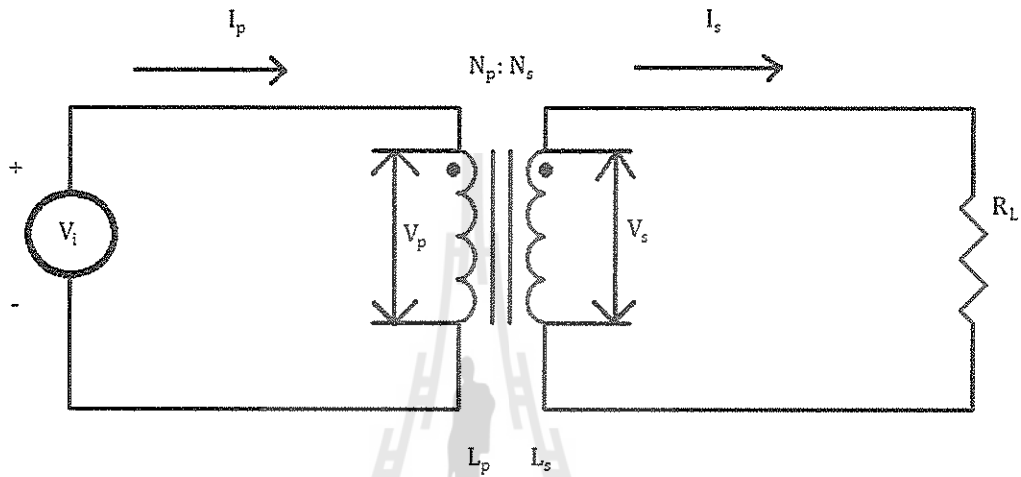
การคั่นแกนด้วยช่องอากาศระหว่างคู่ประกบสามารถทำได้ง่ายกว่าการคั่นช่องอากาศที่แกนกลาง ซึ่งทำได้โดยการใช้แผ่นฉนวนที่มีความหนาเป็นครึ่งหนึ่งของระยะช่องอากาศคั่นที่ต้องการ นำมาคั่นระหว่างแกนนอกของคู่ประกบ ส่วนการกำหนดช่องอากาศคั่นที่แกนกลางต้องสั่งโดยตรงจากผู้ผลิตแกนเฟอร์ไรต์หรือซัดแกนกลางออกเองเพื่อให้ได้ระยะช่องอากาศคั่นตามต้องการ

มีข้อสังเกตคือ การคั่นช่องอากาศระหว่างคู่ประกบ ความหมายของแผ่นฉนวนคั่นที่ใช้จะมีค่าเพียงครึ่งหนึ่งของระยะช่องอากาศคั่นที่ต้องการเท่านั้น เนื่องจากช่องอากาศที่เกิดขึ้นจะคั่นทางเดินฟลักซ์แม่เหล็กถึงสองครั้งในแกน ดังนั้นระยะช่องอากาศคั่นที่ได้จึงเป็นผลรวมของระยะช่องอากาศที่เกิดขึ้นทั้งหมด

## 2.22 ความสัมพันธ์ระหว่างขดไพรมารีและขดเซคันดารีของหม้อแปลงสวิตชิง

หม้อแปลงสวิตชิงจะมีความสัมพันธ์ของขดไพรมารีและขดเซคันดารีเป็นไปตามทฤษฎีหม้อแปลงทั่วไป ผลของจำนวนรอบและค่าของแรงดันที่เกิดขึ้นในวงจรจากรูปที่ 2.25

$$\frac{V_p}{V_s} = \frac{N_p}{N_s} = \frac{I_s}{I_p}$$



รูปที่ 2.25 แสดงความสัมพันธ์พื้นฐานของหม้อแปลง

$$\frac{N_p}{N_s} = \sqrt{\frac{L_p}{L_s}}$$

- $N_p$  คือ จำนวนรอบของขดไพรมารี
- $N_s$  คือ จำนวนรอบของขดเซคันดารี
- $V_p$  คือ ค่าแรงดันตกคร่อมขดไพรมารี
- $V_s$  คือ ค่าแรงดันตกคร่อมขดเซคันดารี
- $L_p$  คือ ค่าความเหนี่ยวนำของขดไพรมารี
- $L_s$  คือ ค่าความเหนี่ยวนำของขดเซคันดารี
- $I_p$  คือ ค่ากระแสที่ไหลผ่านขดไพรมารี
- $I_s$  คือ ค่ากระแสที่ไหลผ่านขดเซคันดารี

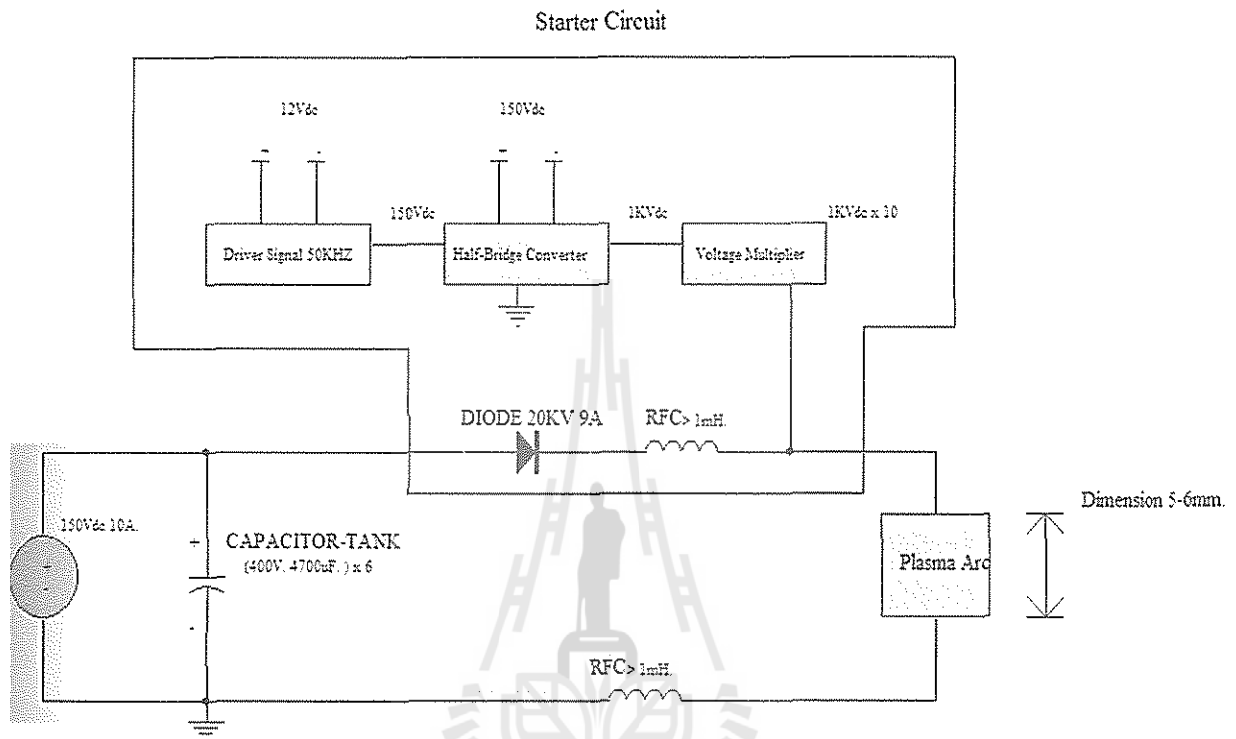
มีข้อสังเกตคือ แรงดัน  $V_p$  เป็นค่าแรงดันที่ตกคร่อมขดไฟรมารีซึ่งเกิดจากการเปลี่ยนแปลงของฟลักซ์แม่เหล็กภายในแกนของหม้อแปลงเนื่องจากมีกระแสไหลผ่านขดไฟรมารี ไม่ใช่ค่าแรงดันอินพุต  $V_i$  โดยที่  $V_p$  จะมีค่าเป็นไปตามสมการ

$$V_p = N_p \times A_e \left( \frac{dB}{dt} \right) \times 10^{-8}$$

และค่า  $V_p$  ที่เกิดขึ้นจะมีค่าใกล้เคียงกับค่า  $V_i$  แต่ถ้าแกนเฟอร์ไรต์เกิดการอิ่มตัว อัตราการเปลี่ยนแปลงของฟลักซ์แม่เหล็ก  $\left( \frac{dB}{dt} \right)$  จะมีค่าน้อยมากหรือมีค่าเป็นศูนย์ แรงดันตกคร่อม  $V_p$  จะมีค่าลดลงอย่างรวดเร็วเหมือนเกิดการลัดวงจร และจะมีผลต่อการทำงานของหม้อแปลงและวงจรที่เกี่ยวข้องด้วย



### บทที่ 3 การออกแบบเครื่องกำเนิดพลาสมา



รูปที่ 3.1 แสดงวงจรเครื่องกำเนิดพลาสมา

ส่วนประกอบของเครื่องกำเนิดพลาสมาดังรูปที่ 3.1 ประกอบด้วย 2 ส่วน ได้แก่

ส่วนที่ 1 Starter Circuit เป็นส่วนที่ทำหน้าที่ควบคุมการสร้างพลาสมาอาร์ค จะทำหน้าที่พร้อมๆกันทั้ง 3 วงจร

ส่วนที่ 2 ภาคแหล่งจ่ายกระแสไฟฟ้า 10A. โดยผ่านการชาร์ตประจุจาก Capacitor Tank จากนั้นผ่านไดโอด

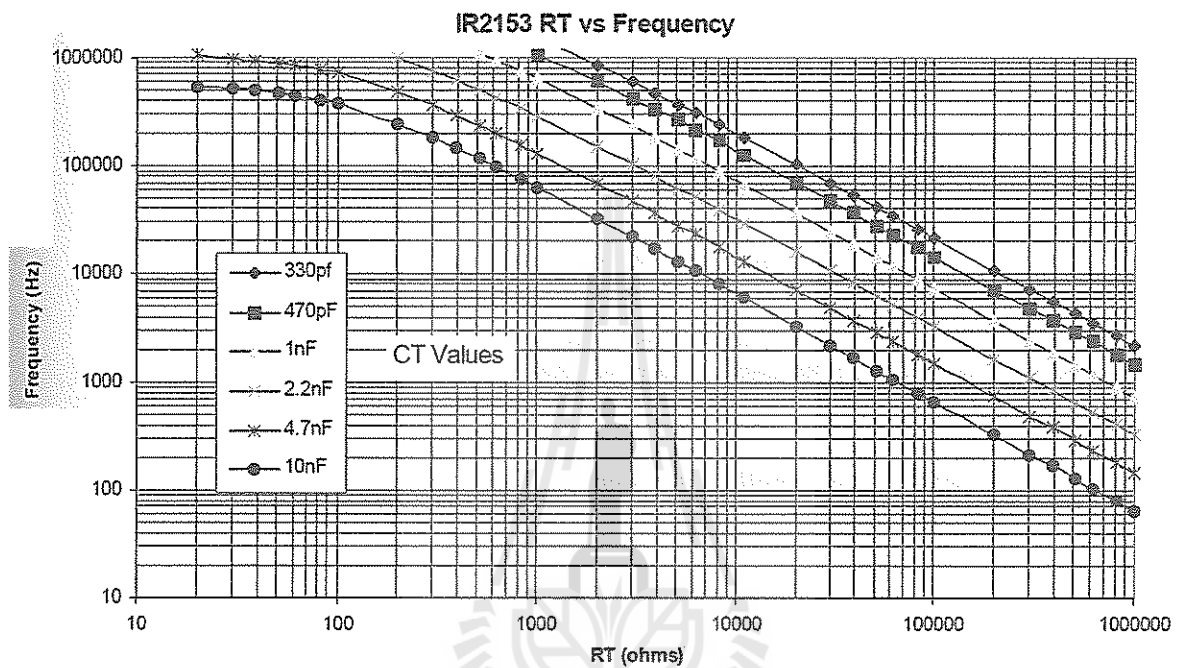
เพื่อทำการเรียงกระแส และผ่านตัว RFC เพื่อป้องกันกระแสไหลย้อนกลับเข้าแหล่งกำเนิดไฟฟ้า

ซึ่งในการทดสอบการอาร์คพลาสมา นี้ เราจะเปิดแหล่งจ่ายไฟฟ้าให้แก่ส่วนที่ 1 เพื่อทำให้เกิดการอาร์ค

หลังจากนั้นแล้วเปิดแหล่งจ่ายไฟฟ้าให้แก่ส่วนที่ 2 เพื่อเป็นการเพิ่มกระแสไฟฟ้ากระตุ้นให้กับหัวอาร์คพลาสมา

### 3.1 วงจร Half-Bridge Driver Signal 50KHZ.

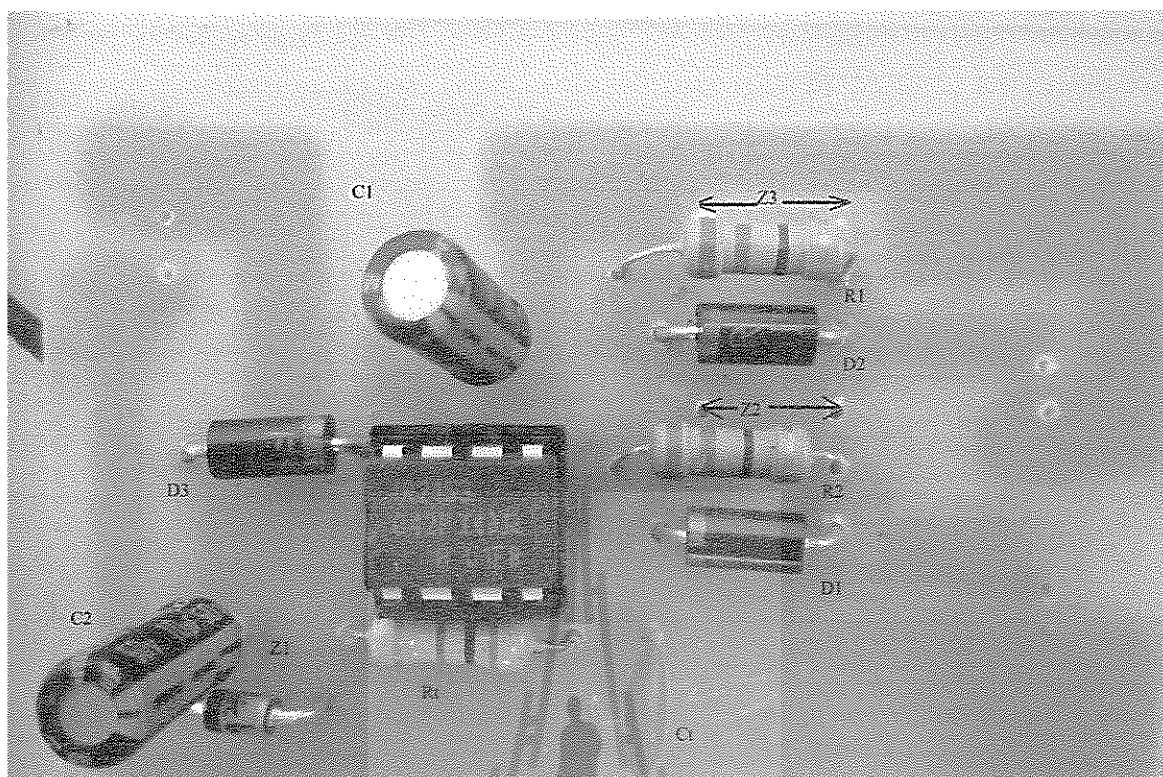
การทำงานของไอซีเบอร์ IR2153 ซึ่งไอซีเบอร์นี้สามารถสร้างคามถี่ 50KHZ. โดยที่ค่าความถี่สามารถคำนวณได้จากค่า  $R_t$  และ  $C_t$  ซึ่งค่า  $R_t$  และ  $C_t$  สามารถอ่านค่าได้จากข้อมูลกราฟที่ 3.1



กราฟที่ 3.1 แสดงความสัมพันธ์ระหว่าง ความถี่ที่ใช้ในการสร้างวงจร และ ค่า  $R_t$

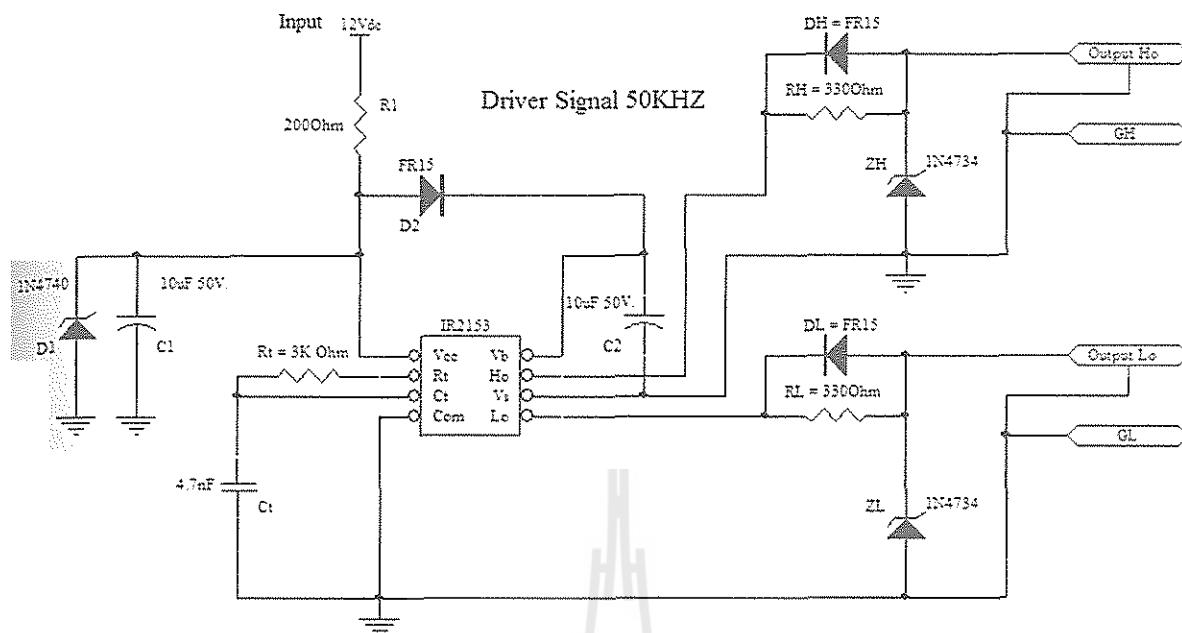
จากกราฟที่ 3.1 สำหรับการออกแบบวงจร Half-Bridge Driver

จะเลือกใช้ค่า  $C_t = 4.7\mu\text{F}$  และค่า  $R_t = 3\text{K}\Omega$



รูปที่ 3.2 วงจร Half-Bridge Driver Signal 50KHZ.

ลำดับ	รายการอุปกรณ์	จำนวน
1	ไอซีเบอร์ IR2153	1
2	Z1 ซีเนอร์ไดโอดเบอร์ 1N4740	1
3	Z2,Z3 ซีเนอร์ไดโอดเบอร์ 1N4734	2
4	D1,D2,D3 ไดโอดเบอร์ FRI5	3
5	C1,C2 ตัวเก็บประจุขนาด 10uF 50V.	2
6	Ct ตัวเก็บประจุขนาด 4.7uF	1
7	Rt ตัวต้านทานขนาด 3K Ohm	1
8	R1,R2 ตัวต้านทานขนาด 330 Ohm	2
9	ตัวต้านทานขนาด 200 Ohm (ก่อนเข้าวงจร)	1



รูปที่ 3.3 แสดงวงจร Half-Bridge Driver Signal 50KHZ.

อธิบายหน้าที่การทำงานของอุปกรณ์ต่างๆ ในวงจร Half-Bridge Driver Signal 50KHZ.

$R_1$  ทำหน้าที่ ป้องกันกระแสเกินจากแหล่งจ่ายไฟฟ้า 12 V. ที่เข้าวงจร

$D_1, C_1$  ทำหน้าที่ คงค่าแรงดันอินพุต

$D_2, C_2$  ทำหน้าที่ เป็นแหล่งจ่ายเสมือน

ชุดอุปกรณ์  $D_H, R_H, Z_H, D_L, R_L, Z_L$  ทำหน้าที่ ในการควบคุมแรงดันรูปคลื่นของเอาต์พุตทั้ง 2 ด้าน โดยที่

ถ้าค่า  $R_H, R_L$  เหมาะสมจะทำให้รูปสัญญาณพัลส์เป็นสี่เหลี่ยม

ถ้าค่า  $R_H, R_L$  มากเกินไป จะทำให้เกิดความลาดเอียงของสัญญาณ

ถ้าค่า  $R_H, R_L$  น้อยเกินไป จะทำให้ IC เสีย

$G_H, G_L$  ทำหน้าที่ เป็นกราวด์เสมือน

### 3.2 วงจร Half - Bridge Converter

การออกแบบหม้อแปลงสวิตจิ่งในวงจรฮาล์ฟบริดจ์คอนเวอร์เตอร์

ความถี่ที่ใช้งาน  $f = 50 \text{ KHZ}$ .

คำนวณหาความลึกผิว ( $\epsilon$ )

$$\epsilon = \frac{6.62}{\sqrt{f}}$$

$$\epsilon = \frac{6.62}{\sqrt{50000}}$$

$$\epsilon = 0.0296 \text{ cm.}$$

คำนวณหาขนาดของเส้นลวด ( $D_{AWG}$ ) และ หาพื้นที่หน้าตัดของเส้นลวด ( $A_w$ )

หาขนาดของเส้นลวด ( $D_{AWG}$ )

$$D_{AWG} = 2(\epsilon)$$

$$D_{AWG} = 2(0.0296)$$

$$D_{AWG} = 0.0592 \text{ cm.}$$

หาพื้นที่หน้าตัดของเส้นลวด ( $A_w$ )

$$(A_w) = \frac{\pi(D_{AWG}^2)}{4}$$

$$(A_w) = \frac{\pi(0.0592)^2}{4}$$

$$(A_w) = 0.002752 \text{ cm.}^2$$

สำหรับในโครงการเครื่องกำเนิดพลาสมาจะเลือกใช้

ชนิดของแกนแม่เหล็กเป็นแกนเฟอร์ไรต์ เบอร์ EE-21

และใช้เส้นลวดทองแดงเบอร์ AWG 26





EE, Ferrite Cores (Magnetics)												
Part No.	W <sub>tcu</sub> grams	W <sub>tfc</sub> grams	MLT cm	MPL cm	W <sub>a</sub>	A <sub>c</sub> cm <sup>2</sup>	W <sub>a</sub> cm <sup>2</sup>	A <sub>p</sub> cm <sup>4</sup>	K <sub>p</sub> cm <sup>5</sup>	A <sub>t</sub> cm <sup>2</sup>	*AL mh/K	
					A <sub>c</sub>							
EE-187	6.8	4.4	3.8	4.01	2.219	0.228	0.506	0.116	0.0028	14.4	500	
EE-2425	13.9	9.5	4.9	4.85	2.068	0.384	0.794	0.305	0.0095	23.5	767	
EE-375	36.4	33.0	6.6	6.94	1.875	0.821	1.539	1.264	0.0624	45.3	1167	
EE-21	47.3	57.0	8.1	7.75	1.103	1.490	1.643	2.448	0.1802	60.9	1967	
EE-625	64.4	103.0	9.4	8.90	0.808	2.390	1.930	4.616	0.4700	81.8	2767	
EE-75	111.1	179.0	11.2	10.70	0.826	3.390	2.799	9.487	1.1527	118.0	3467	

\*This AL value has been normalized for a permeability of 1K. For a close approximation of AL for other values of permeability, multiply this AL value by the new permeability in kilo-perm. If the new permeability is 2500, then use 2.5.

ตารางที่ 3.1 แสดงตารางแกนแม่เหล็กเบอร์ต่างๆสำหรับการออกแบบหม้อแปลงไฟฟ้า

Wire Table												
AWG	Bare Area		Resistance μΩ/cm 20°C	Heavy Synthetics								
				Area		Diameter		Turns-Per		Turns-Per		Weight gm/cm
	cm <sup>2</sup> (10 <sup>-3</sup> )	cir-mil	cm <sup>2</sup> (10 <sup>-3</sup> )	cir-mil	cm	Inch	cm	Inch	cm <sup>2</sup>	Inch <sup>2</sup>		
1	2	3	4	5	6	7	8	9	10	11	12	13
10	52.6100	10384.00	32.7	55.9000	11046.00	0.2670	0.105	3.9	10	11	69	0.46800
11	41.6800	8226.00	41.4	44.5000	8798.00	0.2380	0.094	4.4	11	13	90	0.37500
12	33.0800	6529.00	52.1	35.6400	7022.00	0.2130	0.084	4.9	12	17	108	0.29770
13	26.2600	5184.00	65.6	28.3600	5610.00	0.1900	0.075	5.5	13	21	136	0.23670
14	20.8200	4109.00	82.8	22.9500	4556.00	0.1710	0.068	6.0	15	26	169	0.18790
15	16.5100	3260.00	104.3	18.3700	3624.00	0.1530	0.060	6.8	17	33	211	0.14920
16	13.0700	2581.00	131.8	14.7300	2905.00	0.1370	0.054	7.3	19	41	263	0.11840
17	10.3900	2052.00	165.8	11.6800	2323.00	0.1220	0.048	8.2	21	51	331	0.09430
18	8.2280	1624.00	209.5	9.3260	1857.00	0.1090	0.043	9.1	23	64	415	0.07474
19	6.5310	1289.00	263.9	7.5390	1490.00	0.0980	0.039	10.2	26	80	515	0.05940
20	5.1880	1024.00	332.3	6.0650	1197.00	0.0879	0.035	11.4	29	99	638	0.04726
21	4.1160	812.30	418.9	4.8370	954.80	0.0785	0.031	12.8	32	124	800	0.03757
22	3.2430	640.10	531.4	3.8570	761.70	0.0701	0.028	14.3	36	156	1003	0.02965
23	2.5880	510.80	666.0	3.1350	620.00	0.0632	0.025	15.8	40	191	1234	0.02372
24	2.0470	404.00	842.1	2.5140	497.30	0.0566	0.022	17.6	45	239	1539	0.01884
25	1.6230	320.40	1062.0	2.0020	396.00	0.0505	0.020	19.8	50	300	1933	0.01498
26	1.2800	252.80	1345.0	1.6030	316.80	0.0452	0.018	22.1	56	374	2414	0.01185
27	1.0210	201.60	1687.0	1.3130	259.20	0.0409	0.016	24.4	62	457	2947	0.00945
28	0.8046	158.80	2142.0	1.0515	207.30	0.0366	0.014	27.3	69	571	3680	0.00747

ตารางที่ 3.2 แสดงเบอร์ของเส้นลวดเบอร์ต่างๆตามมาตรฐาน AWG (American Wire Gauge)

### ค่าพารามิเตอร์ที่นำมาใช้ในการออกแบบ

แรงดันอินพุต	$V_i = 150 \text{ V.}$
แรงดันเอาต์พุต	$V_o = 1500 \text{ V.}$
กระแสอินพุต	$I_i = 2 \text{ A.}$
ความถี่ที่ใช้งาน	$f = 50 \text{ KHZ.}$
ประสิทธิภาพของหม้อแปลง	$\eta = 80\% = 0.8$
ค่าควิตีไซเคิล	$D_{\max} = 45\% = 0.45$
สัมประสิทธิ์แกนเหล็ก	$K_g = 0.1802 \text{ cm.}^5$
สัมประสิทธิ์รูปแบบคลื่น	$K_f = 4.0 \text{ (Square Wave) , } 4.4 \text{ (Sine Wave)}$
พื้นที่แกนเหล็ก	$A_c = 1.490 \text{ cm.}^5$
กำลังไฟฟ้าอินพุต	$P_i = I_i V_i = (2)(150) = 300 \text{ W.}$
กำลังไฟฟ้าเอาต์พุต	$P_o = \eta P_i = (0.8)(300) = 240 \text{ W.}$
กำลังไฟฟ้ารวม	$P_t = P_o + P_i = 240 + 300 = 540 \text{ W.}$
กระแสเอาต์พุต	$I_o = \frac{P_o}{V_o} = \frac{240}{1500} = 0.16 \text{ A.}$

### 3.2.1 การออกแบบหม้อแปลงไฟฟ้าด้านไพรมารี (Primary Transformer Design)

กำหนด  $B_{ac} = 0.126 \text{ T}$

1.หาความหนาแน่นของฟลักซ์แม่เหล็ก

$$N_p = \frac{V_i(10^4)}{K_f B_{ac} f A_c}$$

$$N_p = \frac{150(10^4)}{(4)(0.126)(50 \times 10^3)(1.49)}$$

$$N_p = 40$$

2.หาความหนาแน่นของกระแส

$$J = \frac{P_t(10^4)}{K_f K_u B_{ac} f A_p}$$

$$J = \frac{540(10^4)}{(2)(0.289)(0.126)(50 \times 10^4)(2.448)}$$

$$J = 302.88 \text{ A/cm}^2$$

3.หาพื้นที่หน้าตัดของเส้นลวดด้านไพรมารี

$$A_{WP} = \frac{I_1 \sqrt{D_{max}}}{J}$$

$$A_{WP} = \frac{(4)\sqrt{0.45}}{302.88}$$

$$A_{WP} = 0.00221 \text{ cm}^2$$

4.หาจำนวนเส้นลวดด้านไพรมารี

กำหนด  $A_B$  = พื้นที่หน้าตัดของลวดเบอร์ AWG 26

$$S_{np} = \frac{A_{WP}}{A_B}$$

$$S_{np} = \frac{0.00221}{0.00128}$$

$$S_{np} = 1.72 \text{ เส้น} \text{ กำหนดใช้ } 2 \text{ เส้น}$$



5.หาค่าความต้านทานใหม่ของเส้นลวดด้านไพรมารีต่อเซนติเมตร

$$(\text{New}) \mu\Omega / \text{cm.} = \frac{\mu\Omega / \text{cm.}}{S_{np}}$$

$$(\text{New}) \mu\Omega / \text{cm.} = \frac{1345}{2}$$

$$(\text{New}) \mu\Omega / \text{cm.} = 672.5$$

6.หาค่าความต้านทานด้านไพรมารี

ค่า MLT ของแกนเหล็กเบอร์ EE-21 = 8.1

$$R_p = \text{MLT}(N_p) \left( \frac{\mu\Omega}{\text{cm.}} \right) (10^{-6})$$

$$R_p = (8.1)(40)(672.5)(10^{-6})$$

$$R_p = 0.217 \Omega$$

7.หาค่ากำลังงานที่สูญเสียในเส้นลวดด้านไพรมารี

$$P_p = I_p^2 R_p$$

$$P_p = (2^2)(0.217)$$

$$P_p = 0.868 \text{ W.}$$



### 3.2.2 การออกแบบหม้อแปลงไฟฟ้าด้านเซคันดารี (Secondary Transformer Design)

#### 8.หาจำนวนรอบของเส้นลวดด้านเซคันดารี

$$N_s = \frac{N_p V_s}{V_i} \left(1 + \frac{\alpha}{100}\right)$$

$$N_s = \frac{40(1500.3)}{150} \left(1 + \frac{0.5}{100}\right)$$

$$N_s = 402.08 \text{ รอบ} \text{ กำหนดใช้ } 403 \text{ รอบ}$$

#### 9.หาพื้นที่หน้าตัดของเส้นลวดด้านเซคันดารี

$$A_{ws} = \frac{I_o \sqrt{D_{max}}}{J}$$

$$A_{ws} = \frac{(0.16)\sqrt{0.45}}{302.88}$$

$$A_{ws} = 0.000354 \text{ cm.}^2$$

#### 10.หาจำนวนเส้นลวดด้านเซคันดารี

กำหนด  $A_B$  = พื้นที่หน้าตัดของลวดเบอร์ AWG 26

$$S_{ns} = \frac{A_{ws}}{A_B}$$

$$S_{ns} = \frac{0.000354}{0.00128}$$

$$S_{ns} = 0.277 \text{ เส้น} \text{ กำหนดใช้ } 1 \text{ เส้น}$$

11. หาความต้านทานใหม่ของลวดด้านเซกซ์คานารีต่อเซนติเมตร

$$(\text{New}) \mu\Omega / \text{cm.} = \frac{\mu\Omega / \text{cm.}}{S_{ns}}$$

$$(\text{New}) \mu\Omega / \text{cm.} = \frac{1345}{1}$$

$$(\text{New}) \mu\Omega / \text{cm.} = 1345$$

12. หาความต้านทานด้านเซกซ์คานารี

ค่า MLT ของแกนเหล็กเบอร์ EE-21 = 8.1

$$R_s = \text{MLT}(N_s) \left( \frac{\mu\Omega}{\text{cm.}} \right) (10^{-6})$$

$$R_s = (8.1)(403)(1345)(10^{-6})$$

$$R_s = 4.39 \Omega$$

13. หากำลังงานที่สูญเสียในเส้นลวดด้านเซกซ์คานารี

$$P_s = I_s^2 R_s$$

$$P_s = (0.16^2)(4.39)$$

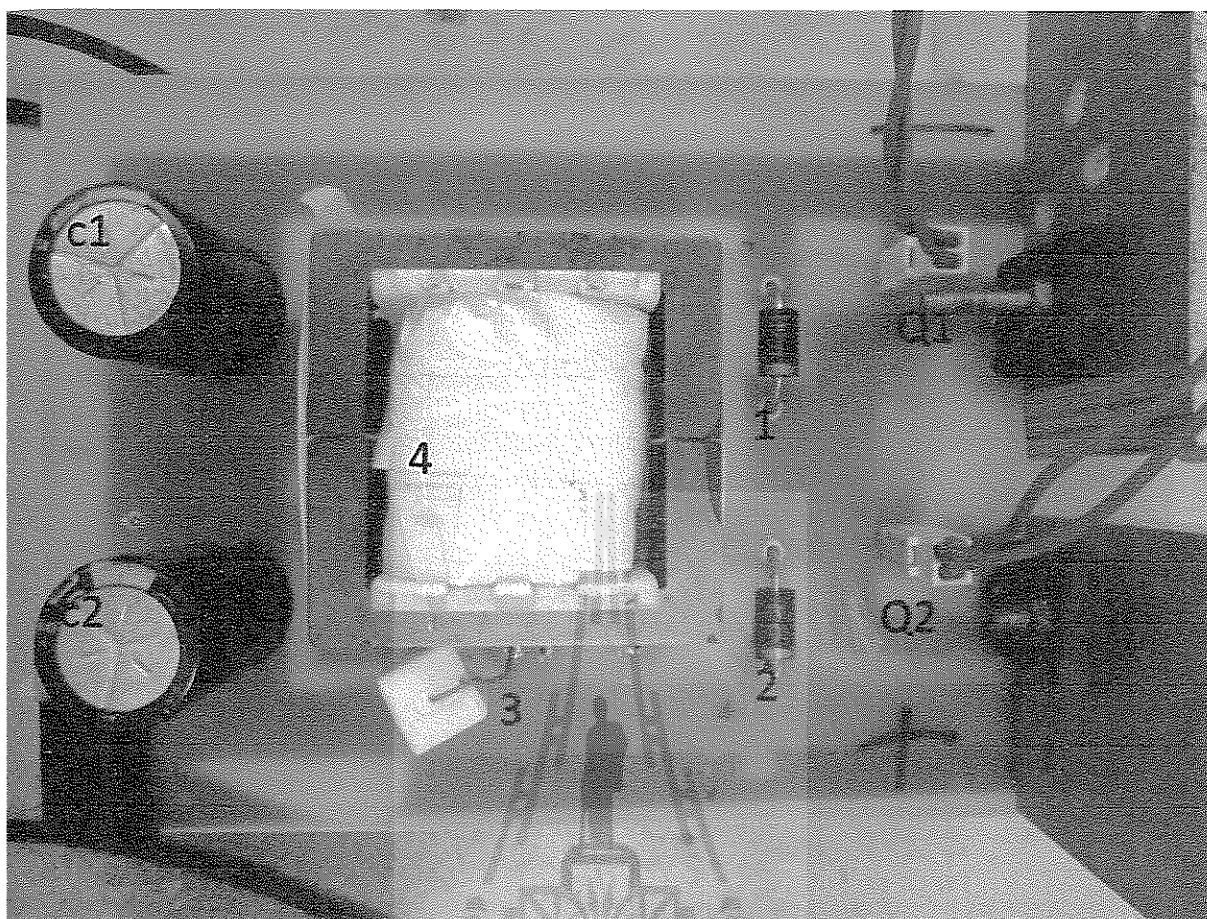
$$P_s = 0.112 \text{ W.}$$

14. หากำลังงานที่สูญเสียรวมทั้งหม้อแปลงไฟฟ้า

$$P_{cu} = P_p + P_s = 0.868 + 0.112 = 0.98 \text{ W.}$$

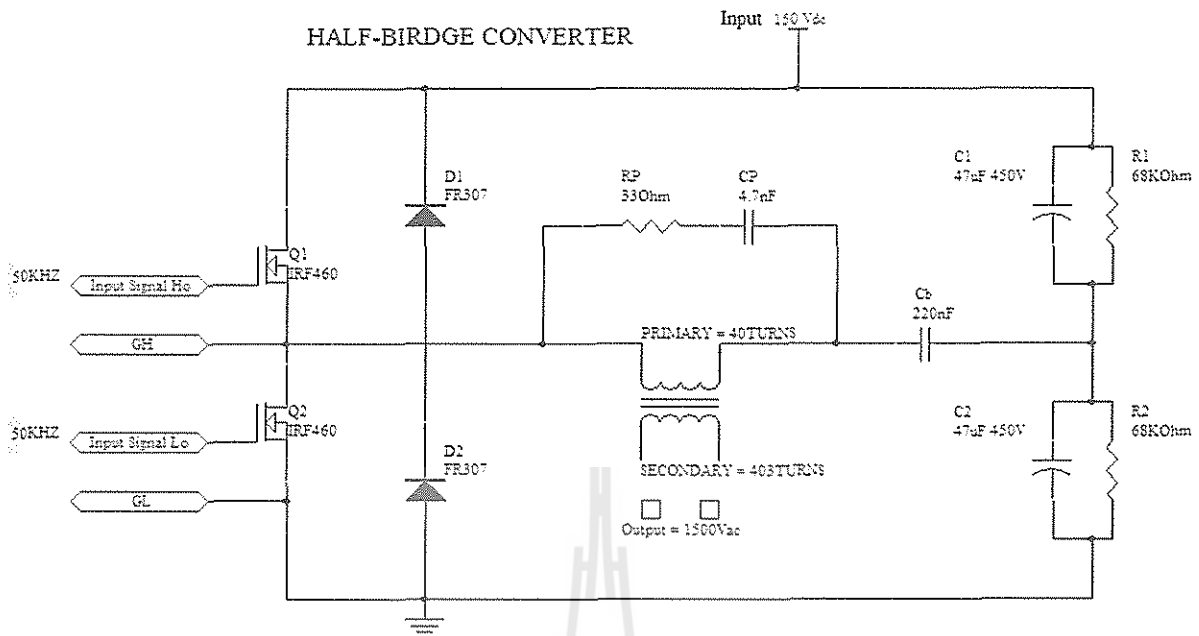
15. หาเปอร์เซ็นต์ค่าประสิทธิผลของหม้อแปลงไฟฟ้า

$$x = \frac{P_{cu}}{P_o} (100) = \frac{0.98}{240} (100) = 0.4083 \%$$



รูปที่ 3.4 วงจร Half - Bridge Converter

ลำดับ	รายการอุปกรณ์	จำนวน
1	4 หม้อแปลงไฟฟ้าแกนเหล็กเบอร์ TR - EE 40	1
2	Q1,Q2 MOSFET IRF460 ชนิด N-CHANNEL	2
3	c1,c2 ตัวเก็บประจุ ขนาด 450 V 47 $\mu$ F	2
4	3 ตัวต้านทาน 330 Ohm	1
5	1,2 ไดโอด FR307	2
6	ตัวเก็บประจุ ขนาด 4.7 nF (ด้านล่างวงจร)	1
7	ตัวเก็บประจุ ขนาด 220 nF (ด้านล่างวงจร)	1
8	ตัวต้านทาน 68 KOhm (ด้านล่างวงจร)	2



รูปที่ 3.5 แสดงวงจร Half - Bridge Converter

อธิบายหน้าที่การทำงานของอุปกรณ์ต่างๆ ในวงจร Half - Bridge Converter

อัตราส่วนความสัมพันธ์ของจำนวนขดลวดดัดนำไพรมารีและเซคันดารี  $\text{Ratio} = \frac{N_s}{N_p} = \frac{403}{40} = 10.075$  เท่า

$Q_1, Q_2$  เป็นมอสเฟตทำหน้าที่ในการนำกระแสเข้าสู่ขดลวด ไพรมารี จะทำงานที่ย่านความถี่ 50KHZ และนำกระแสไฟฟ้า 10A.

$R_p, C_p$  เป็นวงจรสแน็บเปอร์ เพื่อลดค่ายอดแรงดันและการแกว่งของแรงดันขณะมอสเฟตหยุดนำกระแส

$C_b$  ทำหน้าที่ เป็นตัวควบคุมการไหลผ่านของกระแสไฟฟ้าจากมอสเฟต

ถ้าตัวเก็บประจุมีค่าน้อย กระแสไฟฟ้าที่ไหลผ่านเข้าขดลวดไพรมารีก็จะมีค่ามาก

ถ้าตัวเก็บประจุมีค่าน้อย กระแสไฟฟ้าที่ไหลผ่านเข้าขดลวดไพรมารีก็จะมีค่าน้อยตามไปด้วย

$C_1, C_2, R_1, R_2$  เป็นชุดอุปกรณ์ที่ทำหน้าที่เป็นแหล่งจ่ายเสมือนในวงจร Half - Bridge Converter

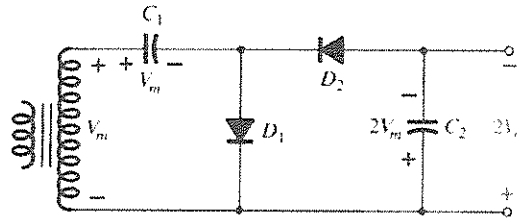
$G_H, G_L$  ทำหน้าที่ เป็นกราวด์เสมือน



### 3.3 วงจรทวีแรงดัน (Voltage Multiplier)

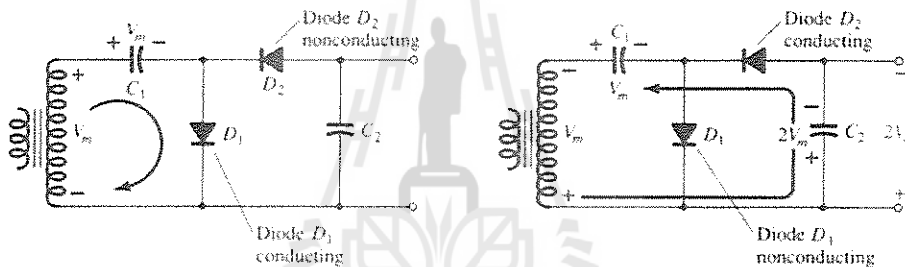
วงจรทวีแรงดัน หรือวงจรเพิ่มแรงดันไฟฟ้าในที่นี้เราได้ใช้วงจรแบบ

#### Half – voltage doubler circuit



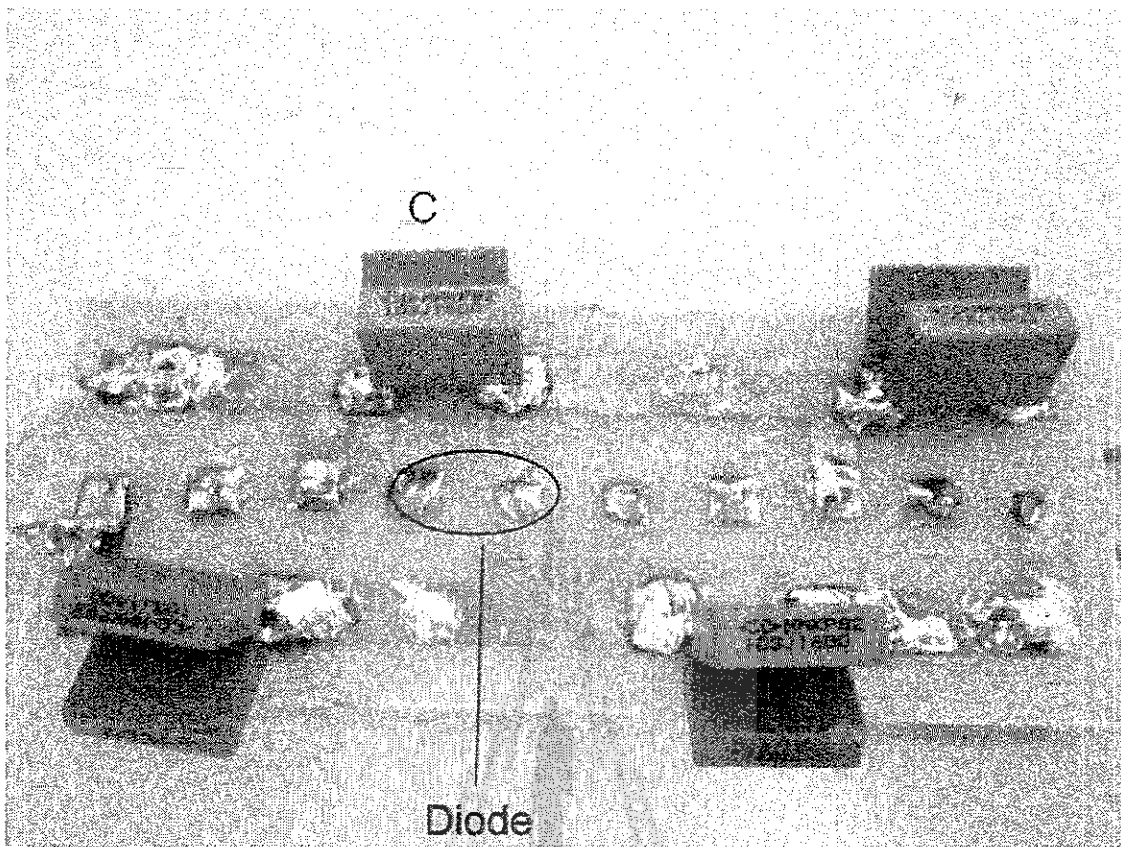
รูปที่ 3.6 รูปวงจร Half – wave voltage doubler circuit

จากรูปที่ 3.6 ผลการทำงานจะได้แรงดันไฟฟ้ากระแสตรงที่มีค่า  $2V_m$  ที่ด้านเอาต์พุต โดยมีหลักการการทำงานตามที่แสดงที่รูปที่ 3.7



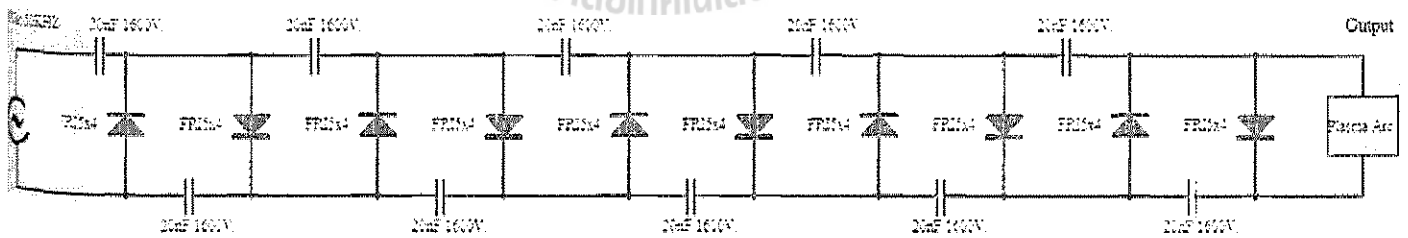
รูปที่ 3.7 การทำงานของวงจร Half wave voltage doubler circuit

จากรูปที่ 3.6 ในขณะที่ด้านบนของขดลวดทุติยภูมิเป็น บวก(+) จะทำให้ไดโอด  $D_1$  ได้รับแรงดันไบแอสไปหน้า(forward bias) ไดโอด  $D_1$  จึงทำงานและมีผลให้ ตัวเก็บประจุ  $C_1$  จะเก็บ ประจุไว้มีค่าเท่ากับ  $V_m$  ในขณะที่ไดโอด  $D_2$  จะหยุดทำงาน ใน ครึ่ง ไซกิลกลับ (negative half-cycle) ต่อมาตามรูปที่ 3.7 เมื่อด้านบนของขดลวดทุติยภูมิเป็น ลบ(-) จะทำให้ไดโอด  $D_1$  ได้รับ แรงดัน ไบแอสย้อนกลับ (reverse bias) ไดโอด  $D_1$  จึงหยุดทำงาน แต่ขณะนี้แรงดันไฟฟ้าที่สะสมไว้ใน ตัวเก็บประจุ  $C_1$  จะชี้ของมีค่าแรงดัน ไฟฟ้าต่ออนุกรมและเสริมกับ แรงดันที่เข้ามาที่ขดลวดทุติยภูมิ จึงมี ผลทำให้ไดโอด  $D_2$  ได้รับแรงดัน ไบแอสไปหน้า ไดโอด  $D_2$  จึงทำงาน แล้วมีผลให้ตัวเก็บประจุ  $C_2$  จะ เก็บประจุไว้มีค่าเท่ากับ  $2V_m$  ซึ่งเป็นแรงดันไฟฟ้ากระแสตรง พร้อมทั้งจ่ายให้กับ โหลด(Load) ต่อไป



รูปที่ 3.8 วงจรทวิแรงดัน 1 สเตจ (ขยายแรงดัน 2 เท่า)

ลำดับ	รายการอุปกรณ์	จำนวน
1	ตัวเก็บประจุ MMKP825 ขนาด 10 nF 1600 V	40
2	ไดโอด FR15 1000 V 3A	20



รูปที่ 3.9 แสดงวงจรทวิแรงดัน 5 สเตจ(ขยายแรงดัน 10 เท่า)

### 3.3.1 วิธีการหาค่าตัวเก็บประจุในวงจรทวีแรงดัน

ทำการหาค่า  $V_{out}$  ดังนี้

กำหนดให้  $V_i = 1500 \text{ V}$  ,  $n = 5$

เมื่อ

$n$  คือ จำนวนสเตจ  $V_{out}$  คือ แรงดันเอาต์พุตของวงจรทวีแรงดัน  $V_i$  คือ แรงดันอินพุตของวงจรทวีแรงดัน  
จะได้

$$V_{out} = 2nV_i$$

$$V_{out} = (2)(5)(1500)$$

$$V_{out} = 15 \text{ KV.}$$

ค่าตัวเก็บประจุ(C)จะหาได้จากสูตร  $\Delta V = \frac{I_o}{fc} \left( \frac{2n^3}{3} + \frac{n^2}{2} - \frac{n}{6} \right)$  เมื่อเกิดการลัดวงจรหรือการอาร์คที่บริเวณ  
เอาต์พุตระหว่างขั้วบวกกับขั้วลบ  $\Delta V$  จะมีค่าเท่ากับ  $V_o$  เนื่องจาก แรงดันที่ตกคร่อมด้านอินพุตเมื่อเกิดการ  
ลัดวงจรจะมีค่าเข้าใกล้ 0

$$I_o = 0.16 \text{ A.}$$

$$\Delta V = \frac{I_o}{fc} \left( \frac{2n^3}{3} + \frac{n^2}{2} - \frac{n}{6} \right)$$

$$c = \frac{I_o}{\Delta V f} \left( \frac{2n^3}{3} + \frac{n^2}{2} - \frac{n}{6} \right)$$

$$c = \frac{0.16}{(50 \times 10^3)(15 \times 10^3)} \left( \frac{(2)(5^3)}{3} + \frac{(5^2)}{2} - \frac{5}{6} \right)$$

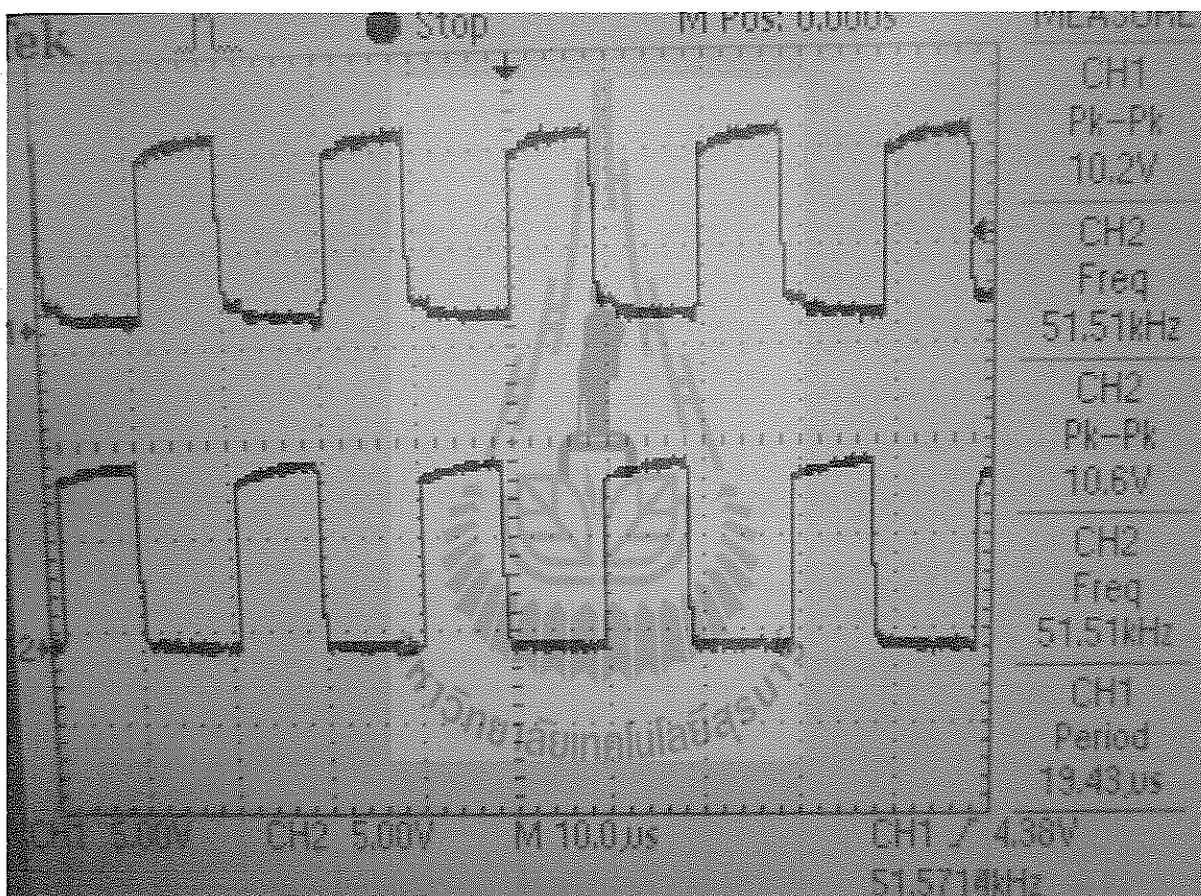
$$c = 20 \text{ nF.}$$

## บทที่ 4 ผลการทดลอง

การทดสอบการทำงานของเครื่องกำเนิดพลาสมาจะประกอบด้วยวงจรหลายๆส่วนดังนี้  
ประกอบด้วย

### 4.1 ผลการวัดสัญญาณเอาต์พุตของวงจร Half-Bridge Driver 50KHZ.

วงจรชุดนี้เป็นวงจรที่สร้างควมถี่เท่ากับ 50 กิโลเฮิร์ตซ์ จำนวน 2 เอาต์พุต ซึ่งมีไอซีเบอร์ IR2153 ซึ่งไอซีเบอร์นี้มีคุณสมบัติพิเศษคือเป็นตัวสร้างควมถี่ 50 กิโลเฮิร์ตซ์ ขึ้นมาโดยที่ค่าความถี่จะขึ้นอยู่กับค่า  $R_T = 3$  กิโลโอห์ม และค่า  $C_T = 4.7$  นาโนฟารัด ซึ่งหาข้อมูลนี้ได้จากการอ่านกราฟที่ 3.1 ในบทที่ 3



กราฟที่ 4.1 แสดง Duty Cycle ของสัญญาณเอาต์พุตที่วงจร Half-Bridge Driver 50KHZ.

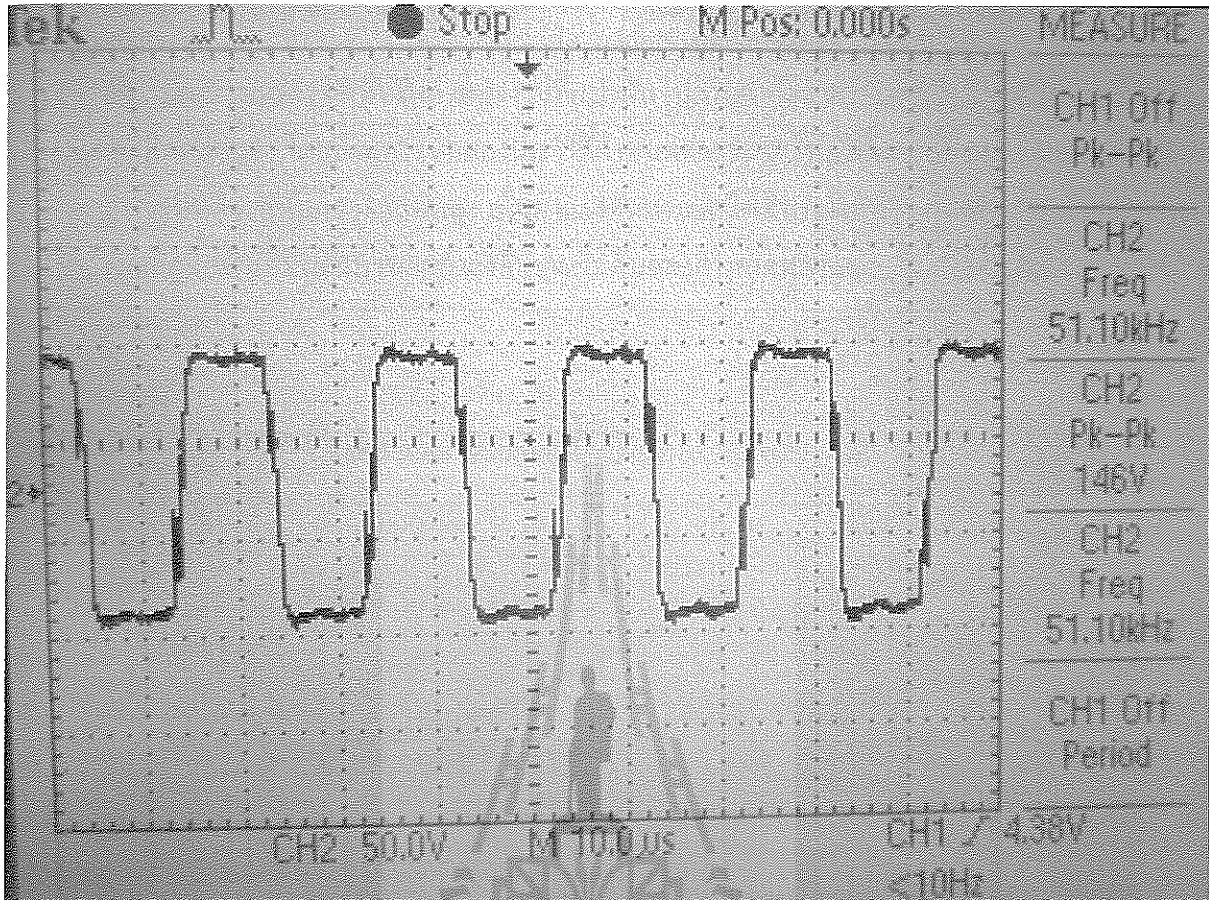
จากกราฟที่ได้ทำการวัดดังนี้

Channel 1 อ่านค่า  $V_{pp} = 10.2$  โวลต์ Duty Cycle On = 0.45 Off = 0.55

Channel 2 อ่านค่า  $V_{pp} = 10.6$  โวลต์ Duty Cycle On = 0.45 Off = 0.55

และสัญญาณที่วัดทั้งสองช่องสัญญาณจะมีความต่างเฟสกันอยู่ 180 องศา

#### 4.2 ผลการวัดสัญญาณอินพุตของขดลวดหม้อแปลงด้านไพรมารี



กราฟที่ 4.2 แสดงสัญญาณและแรงดันอินพุตของขดลวดหม้อแปลงด้านไพรมารี

ขณะที่เกิดการอาร์คสามารถอ่านค่า  $V_{pp} = 146$  โวลต์ ที่ความถี่ 50 กิโลเฮิร์ตซ์ และจากความสัมพันธ์ของอัตราส่วนระหว่างแรงดันไฟฟ้าด้านไพรมารีต่อแรงดันไฟฟ้าด้านเซคันดารีมีค่าเท่ากับอัตราส่วนจำนวนรอบของหม้อแปลงไฟฟ้าดังนี้

$$\frac{V_s}{V_p} = \frac{N_s}{N_p}$$

จะได้ว่า  $V_p = NV_s = (10.075)(146) = 1,470.95$  V. ซึ่งเป็นแรงดันเอาต์พุตของวงจร Half-Bridge Converter เมื่อ

$V_p$  คือ แรงดันไฟฟ้าด้านไพรมารี

$V_s$  คือ แรงดันไฟฟ้าด้านเซคันดารี

$N_p$  คือ จำนวนขดลวดด้านไพรมารี

$N_s$  คือ จำนวนขดลวดด้านเซคันดารี

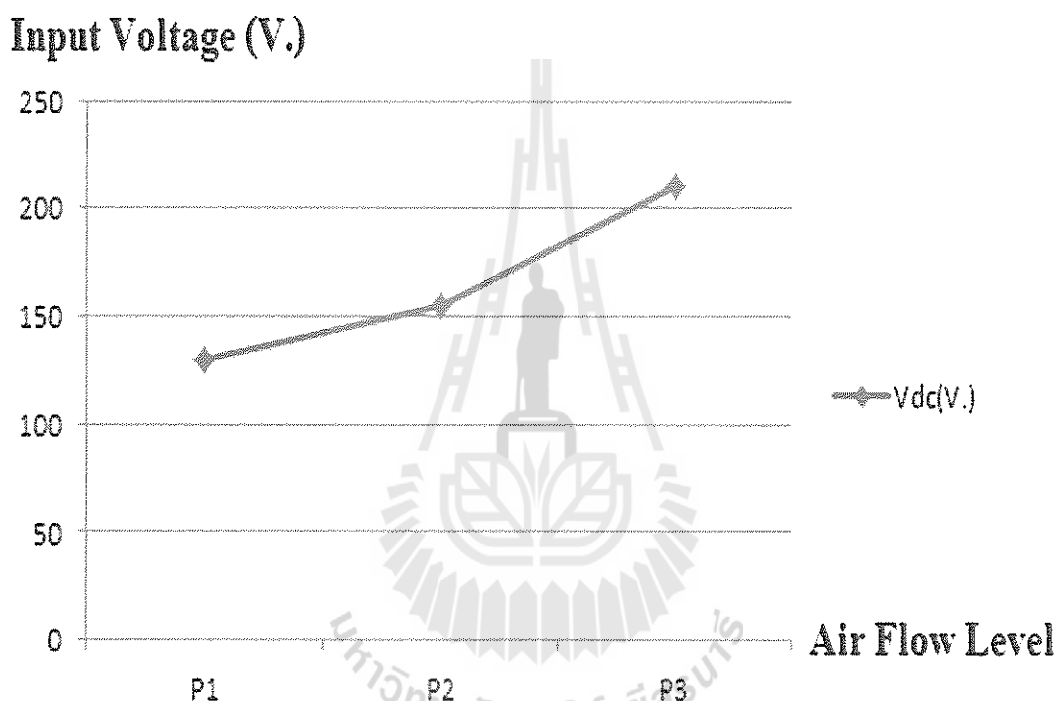
$N$  คืออัตราส่วนระหว่างจำนวนขดลวดด้านเซคันดารีต่อจำนวนขดลวดด้านไพรมารี

#### 4.3 การทดลองหาแนวโน้มของค่าพลังงานพลาสมา

ในการทดลองนี้แสดงให้เห็นว่าแนวโน้มของการเกิดพลาสมาเป็นไปตามสมการ

$$E = (125.46 \times 10^3) \times m_{\text{air}}$$

ซึ่งในสมการแสดงให้เห็นถึงค่าพลังงานที่แปรผันไปตามค่าอัตราการไหลเชิงมวลของก๊าซที่จะทำให้เกิดพลาสมา โดยที่ในการทดลองนี้เราได้กำหนดค่ากระแสให้คงที่และปรับแรงลมเป็น 3 ระดับ คือ ระดับต่ำ ระดับกลาง ระดับสูง เพื่อหาแรงดันกระแสไฟฟ้าเริ่มต้นที่จะเกิดพลาสมาซึ่งค่าแรงดันกระแสไฟฟ้านี้เป็นตัวบ่งบอกกำลังอินพุตเริ่มต้นของการเกิดพลาสมา

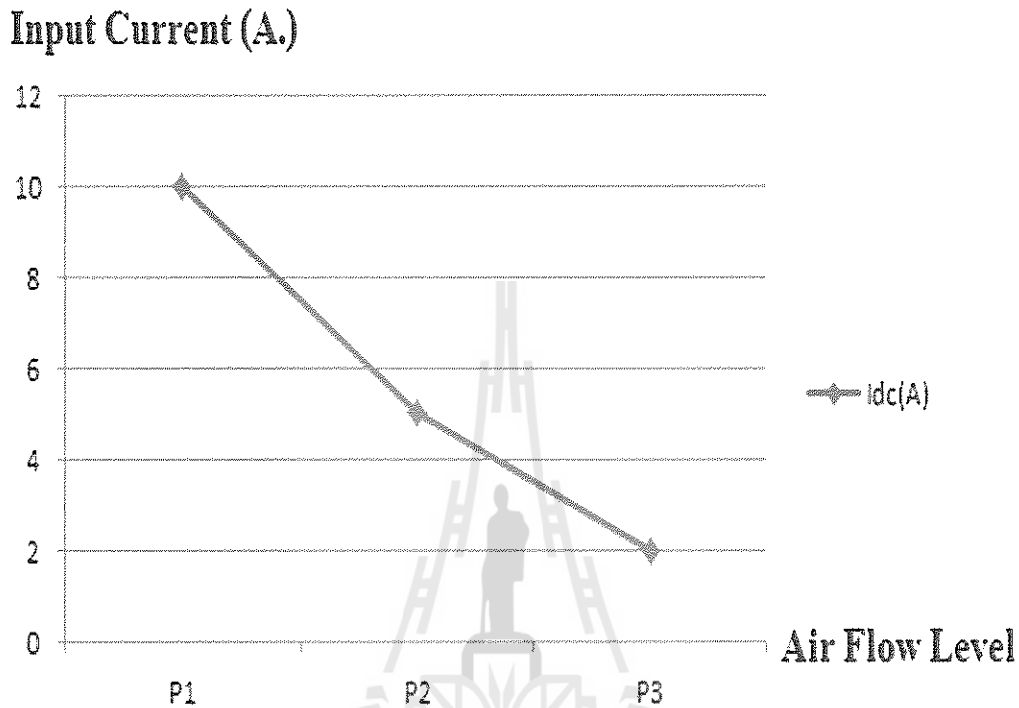


กราฟที่ 4.3 แสดงความสัมพันธ์แรงดันอินพุตของตัวควบคุมการเกิดพลาสมา

จากกราฟจะเห็นได้ว่าค่าแรงดันอินพุตจะเพิ่มขึ้นตามระดับความแรงของลม ซึ่งเป็นไปตามสมการข้างต้นดังที่กล่าวมา โดยที่ค่าพลังงานอินพุตจะแปรผันตรงกับปริมาณของก๊าซที่เราเพิ่มเข้าไป

#### 4.4 การทดลองหาแนวโน้มของค่าความนำไฟฟ้าของพลาสมา

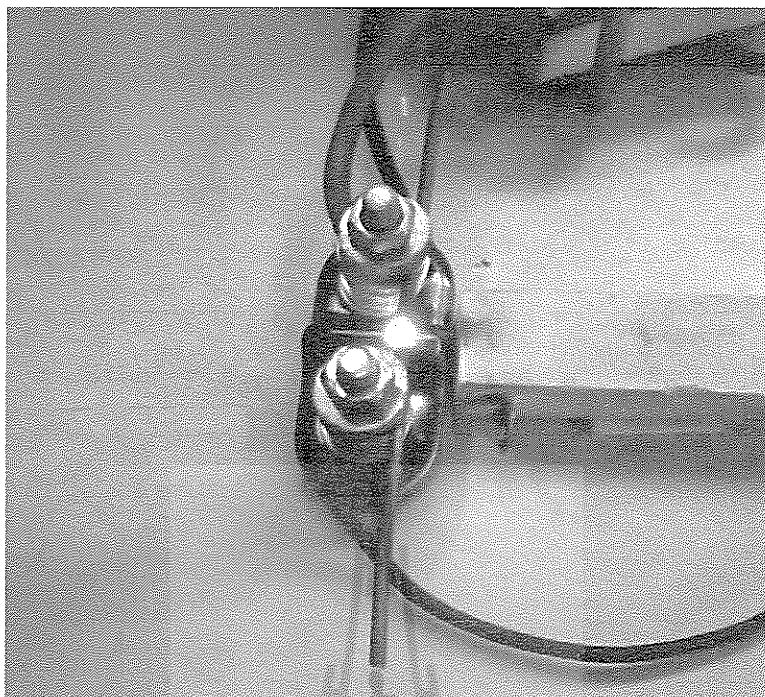
การทดลองนี้แสดงให้เห็นถึงค่าความนำไฟฟ้าของพลาสมา โดยการกำหนดค่าแรงดันอินพุตเป็น 150 โวลต์คงที่ และทำการปรับระดับแรงดันลมเป็น 3 ระดับคือ ระดับต่ำ ระดับกลาง ระดับสูง เพื่อเป็นการแสดงให้เห็นถึงการนำไฟฟ้าของการเกิดพลาสมา



กราฟที่ 4.4 แสดงความสัมพันธ์กระแสอินพุตของตัวควบคุมการเกิดพลาสมา

จากกราฟจะเห็นว่าค่ากระแสอินพุตจะลดลงตามระดับความแรงลม มีความหมายดังนี้  
 เมื่อปรับแรงลมระดับต่ำ เครื่องกำเนิดพลาสมาจะใช้กระแสไฟฟ้าสูงเกือบ 10 แอมป์  
 เมื่อปรับแรงลมระดับกลาง เครื่องกำเนิดพลาสมาจะใช้กระแสไฟฟ้าระดับปานกลาง  
 เมื่อปรับแรงลมระดับสูง เครื่องกำเนิดพลาสมาจะใช้กระแสไฟฟ้าระดับต่ำ  
 สรุปคือ ค่าความนำของพลาสมาแปรผกผันกับปริมาณการไหลของก๊าซ ( $m_{air}$ )

#### 4.5 รูปผลการทดลองการเกิดพลาสมา



รูปที่ 4.1 รูปแสดงการเกิดพลาสมาเมื่อยังไม่จ่ายกระแสไฟฟ้าและแรงลมมาควบคุมการเกิดพลาสมา



รูปที่ 4.2 รูปแสดงการเกิดพลาสมาเมื่อจ่ายกระแสไฟฟ้าและมีแรงลมมาควบคุมการเกิดพลาสมา



## บทที่ 5 สรุปและวิจารณ์

ในบทนี้จะกล่าวถึงข้อมูลโดยรวมของระบบทั้งหมด โดยอธิบายส่วนประกอบของเครื่องกำเนิดพลาสมา ผลการทดลองโดยรวม รวมทั้งปัญหาที่เกิดขึ้นและแนวทางในการพัฒนาต่อไป

### 5.1 ส่วนประกอบของเครื่องกำเนิดพลาสมา

เครื่องกำเนิดพลาสมาประกอบด้วย

1. วงจร Half-Bridge Driver 50KHZ.
2. วงจร Half-Bridge Converter
3. วงจรทวีแรงดัน
4. ถังรวมตัวเก็บประจุ(Capacitor-Tank)

### 5.2 คุณสมบัติทั่วไปของเครื่องกำเนิดพลาสมา

แยกตามส่วนประกอบได้ดังนี้

1. วงจร Half-Bridge Driver 50KHZ.
  - ใช้แรงดัน 12 โวลต์
  - ความถี่ที่สร้างขึ้นมีค่า 50 กิโลเฮิร์ตซ์ จำนวน 2 ความถี่
2. วงจร Half-Bridge Converter
  - ใช้ความถี่ 50 กิโลเฮิร์ตซ์ จากวงจร Half-Bridge Driver 50KHZ จำนวน 2 ความถี่
  - แรงดันอินพุตที่ใช้ป้อนเข้ามาอสเฟต 150 โวลต์
  - แรงดันเอาต์พุต 1,000 โวลต์
3. วงจรทวีแรงดัน
  - ใช้แรงดันเอาต์พุต 1,000 โวลต์ จากวงจร Half-Bridge Converter
  - แรงดันเอาต์พุต 10,000 โวลต์ ใช้ในการอาร์คพลาสมาเบื้องต้น

### 5.3 ปัญหาที่พบจากการทำงาน

- เกิดความร้อนจากหม้อแปลงเนื่องจากการไม่แมตซ์กันของขดลวดด้านไพรมารีกับความถี่ที่ใช้งาน
- มอเตอร์ที่นำมาใช้ในการทดลองทนกระแสได้ไม่ดีพอจึงทำให้เกิดการพังได้ง่าย
- วงจร Half-Bridge Converter ที่ได้จากการออกแบบจะต้องทนต่อสภาวะการลัดวงจรที่โหลด
- วงจร Half-Bridge Converter เป็นวงจรที่มีหม้อแปลงชนิด Step up จึงทำให้เป็นอุปสรรคต่อการวางวงจรป้องกันกระแสเกินด้านเอาต์พุตซึ่งเป็นอุปสรรคต่อการออกแบบวงจร

### 5.4 ผลที่ได้จากโครงการนี้

1. ทำให้มีความรู้ความเข้าใจในหลักการทำงานของเครื่องเกิดพลาสมา
2. สามารถนำความรู้ที่ได้นำไปประยุกต์ในอนาคตได้
3. ทำให้มีความรู้ในการออกแบบวงจร
4. สามารถใช้เครื่องมือวัดได้หลายชนิด
5. ได้เรียนรู้ออกแบบวงจรและขั้นตอนการออกแบบผลิตภัณฑ์ได้
6. มีความรู้ความเข้าใจในการทำงานและวิธีการออกแบบจากการศึกษาข้อมูลของไอซีและมอเตอร์แต่ละตัว
7. รู้จักการคิด การวิเคราะห์ อย่างเป็นระบบ
8. สามารถแก้ไขปัญหาต่างๆที่เกิดขึ้นในการปฏิบัติงานได้

### 5.5 วิเคราะห์ผลการทดลองและข้อดี-ข้อเสียจากเครื่องกำเนิดพลาสมา

จากการทดลองจะเห็นว่า

1. อัตราการไหลเชิงมวลของอากาศมีผลต่อการควบคุมการเกิดพลาสมาซึ่งแปรผันตามค่ากำลังอินพุตเป็นหลัก
2. เมื่อต้องการปริมาณการเกิดพลาสมาที่มากขึ้นจะต้องเพิ่มพลังงานอินพุตมากขึ้นซึ่งเป็นไปตามสมการ  $E = (125.46 \times 10^3) \times m_{\text{air}}$

#### ข้อดี

1. เครื่องกำเนิดพลาสมามีโครงสร้างวงจรที่ไม่ซับซ้อน ทำความเข้าใจได้ง่าย
2. วัสดุอุปกรณ์ที่นำมาใช้สามารถหาซื้อได้ภายในประเทศ

#### ข้อเสีย

1. การสูญเสียพลังงานในระบบค่อนข้างมากเนื่องจากการใช้ไดโอดต่ออนุกรมกันเป็นจำนวนหลายตัว
2. ข้อจำกัดทางด้านเครื่องมือวัดแรงดันสูงทางด้านเอาต์พุต และเครื่องมือวัดอุณหภูมิของพลาสมาทำให้ไม่สามารถวัดค่าที่ต้องการได้อย่างละเอียด

## 5.6 แนวทางในการพัฒนาต่อไป

แนวทางในการพัฒนาต่อไปคือ การนำพลังงานความร้อนสูงที่ได้จากการอาร์คพลาสมา มาใช้ในการเผาขยะติดเชื้อจากสถานพยาบาลหรือโรงพยาบาลต่างๆตามชุมชนที่ใช้เตาเผาขยะเป็นระบบปิด และสามารถลดปริมาณสาร ไดออกซินซึ่งเป็นสารที่ก่อให้เกิดมะเร็งซึ่งจะเป็นอันตรายต่อบุคคลเป็นอย่างยิ่ง

จากโครงการเครื่องกำเนิดพลาสมาที่สร้างขึ้นมาและได้ทำการทดสอบพบว่าผลการทดลองเป็นที่น่าพอใจตามวัตถุประสงค์ที่ได้กำหนดไว้คือ ศึกษาการเกิดพลาสมาและสร้างเครื่องกำเนิดพลาสมาดังแบบ แต่ก็ยังคงมีปัญหาบางประการอัน ได้แก่

-ไม่สามารถวัดอุณหภูมิของพลาสมาที่สร้างขึ้นมาได้

-ข้อจำกัดทางเวลาของการศึกษาโครงการ

จากปัญหาที่ได้กล่าวมาข้างต้นที่จะต้องแก้ไขและยังขาดประสบการณ์ในการทำงานด้านการเกิดพลาสมาอีกด้วย

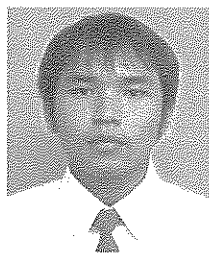


## บรรณานุกรม

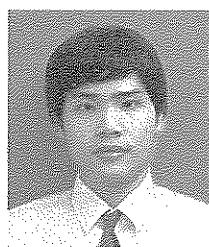
- [1] เทคนิคและการออกแบบ สวิตซ์เพาเวอร์ซัพพลาย พิมพ์ครั้งที่ 2 , สุวัฒน์ คั่น , กรุงเทพฯ 2537
- [2] TRANSFORMER AND INDUCTOR DESIGN HANDBOOK  
From: <http://www.intalek.com/Index/Projects/Research/Permeability.PDF>
- [3] IRFP460. 20A, 500V, 0.270 Ohm, N-Channel Power MOSFET, Available  
From: <http://www.alldatasheet.com/datasheet-pdf/pdf/67546/INTERSIL/IRFP460.html>
- [4] IR2153 Data Sheet No. PD60062 revO 600V Duty Cycle 50%  
From: [http://www.datasheetcatalog.com/datasheets\\_pdf/I/R/2/1/IR2153.shtml](http://www.datasheetcatalog.com/datasheets_pdf/I/R/2/1/IR2153.shtml)
- [5] พลาสมา (สถานะของสสาร) From: วิกิพีเดีย ค้นหาหัวข้อเรื่อง พลาสมา (สถานะของสสาร)
- [6] สวิตซ์เพาเวอร์ซัพพลายเบื้องต้น, เรียบเรียงโดย พงศ์วัช จีพพิมลชัย อโณ โชติมณี  
From: [http://www.cpe.ku.ac.th/~yuen/204471/power/switching\\_regulator/](http://www.cpe.ku.ac.th/~yuen/204471/power/switching_regulator/)
- [7] Magnetoplasma Project , Matthew Krolak's , Worcester Polytechnic Institute in 2006  
From: <http://www.myelectricengine.com/>
- [8] วิทยานิพนธ์เรื่อง การพัฒนาหัวเผาพลาสมาความร้อนสำหรับการจัดการขยะอิเล็กทรอนิกส์ , นายปริญ คงกระพันธ์ , มหาวิทยาลัยเชียงใหม่ 2551



## ประวัติผู้เขียน



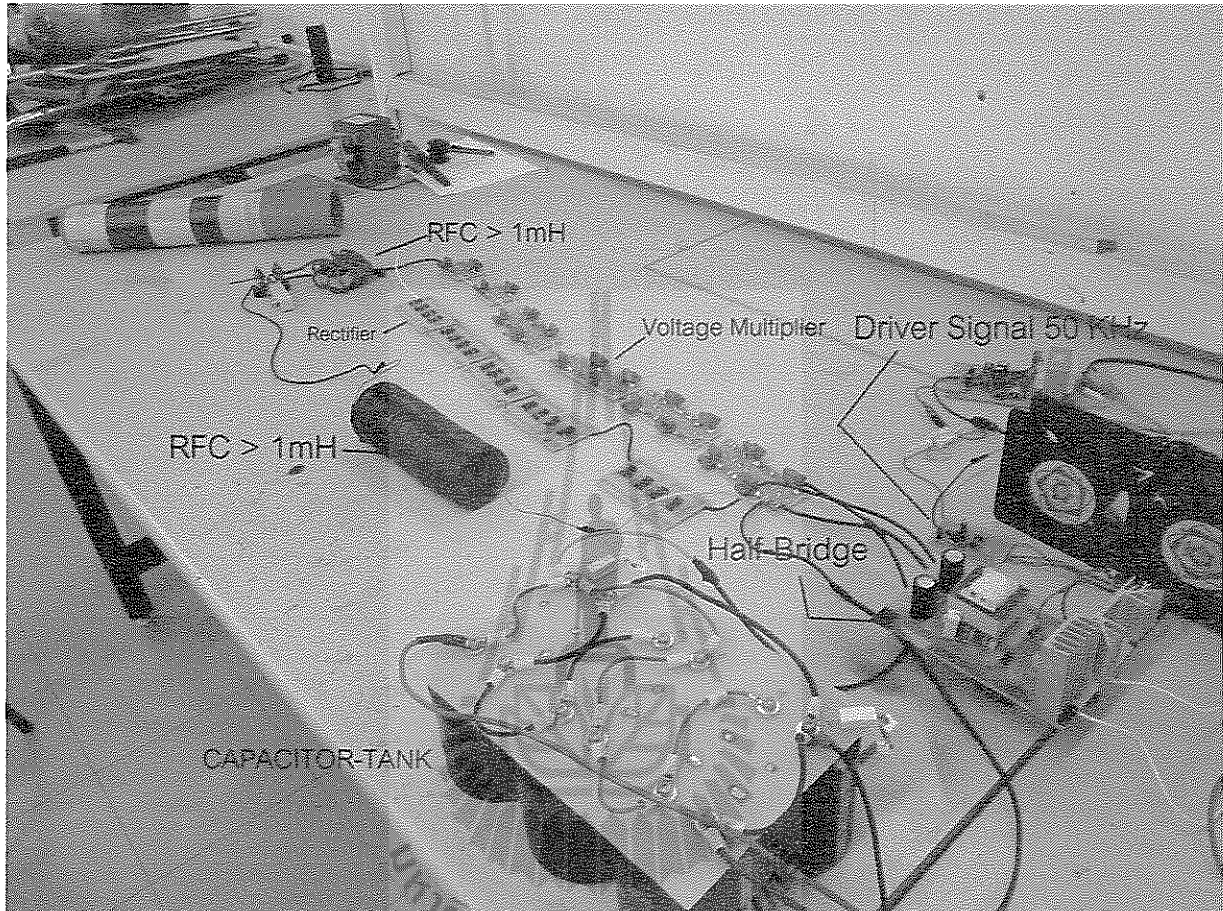
นายภิญโญ ปวงคา เกิดเมื่อวันที่ 6 มกราคม พ.ศ. 2531 ภูมิลำเนาเดิม บ้านเลขที่ 85/4 ตำบล ท่าน้ำว อำเภอกู่เพียง จังหวัดน่าน จบระดับมัธยมศึกษาตอนปลายจาก โรงเรียนศรีสวัสดิ์วิทยาคาร จังหวัดน่าน ปีการศึกษา 2549 ปัจจุบันกำลังศึกษาอยู่ชั้นปีที่ 6 สาขาวิชาวิศวกรรมโทรคมนาคม สำนักวิชา วิศวกรรมศาสตร์ มหาวิทยาลัยเทคโนโลยีสุรนารี จังหวัดนครราชสีมา



นายวีระวุฒิ วงศ์วานิชวัฒนา เกิดเมื่อวันที่ 5 มกราคม พ.ศ. 2532 ภูมิลำเนาเดิม บ้านเลขที่ 78/2 หมู่ที่ 4 ตำบล หนองไขว่ อำเภอ หล่มสัก จังหวัดเพชรบูรณ์ จบระดับมัธยมศึกษาตอนปลายจาก โรงเรียนกาญจนาภิเษกวิทยาลัย เพชรบูรณ์ ปีการศึกษา 2549 ปัจจุบันกำลังศึกษาอยู่ชั้นปีที่ 6 สาขาวิชาวิศวกรรมโทรคมนาคม สำนักวิชาวิศวกรรมศาสตร์ มหาวิทยาลัยเทคโนโลยีสุรนารี จังหวัดนครราชสีมา

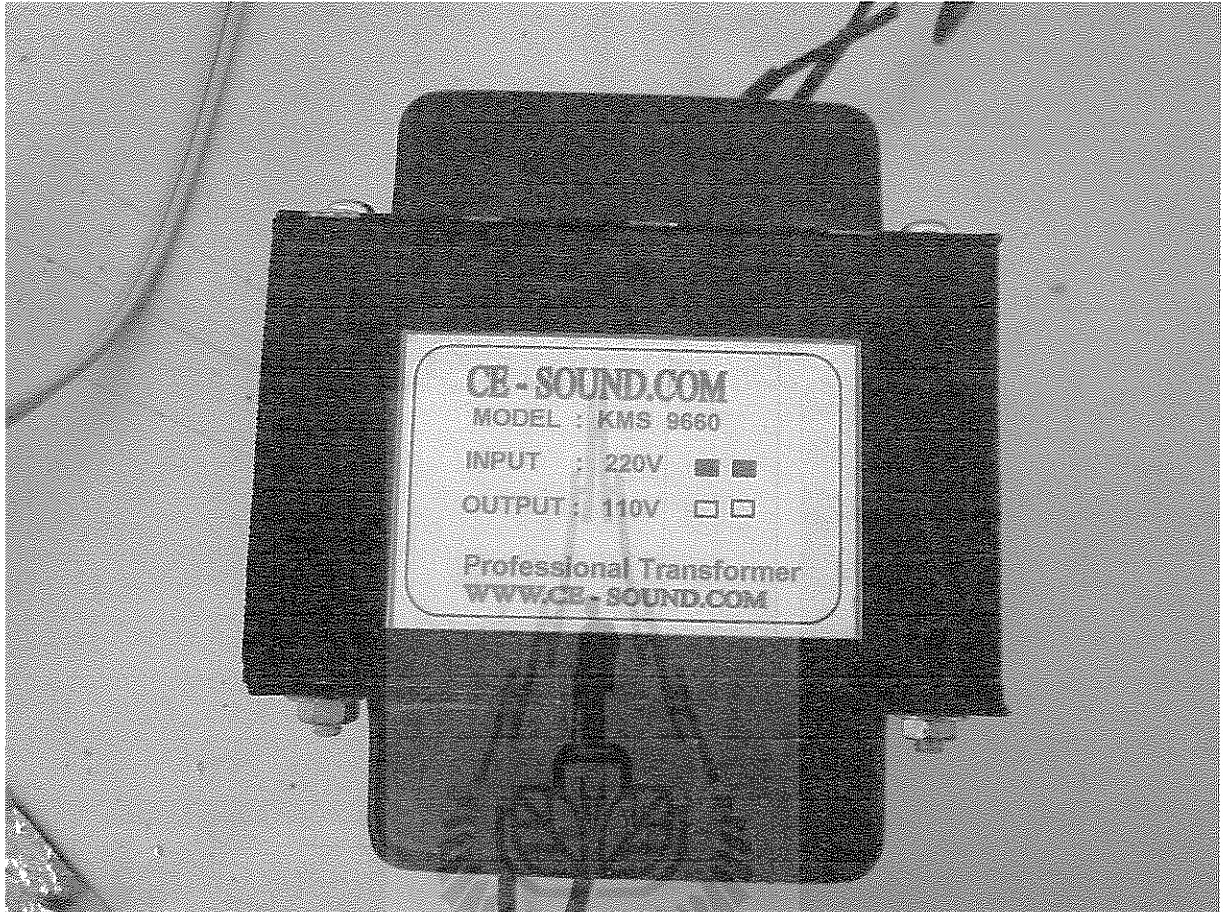
## ภาคผนวก

### เครื่องกำเนิดพลาสมา

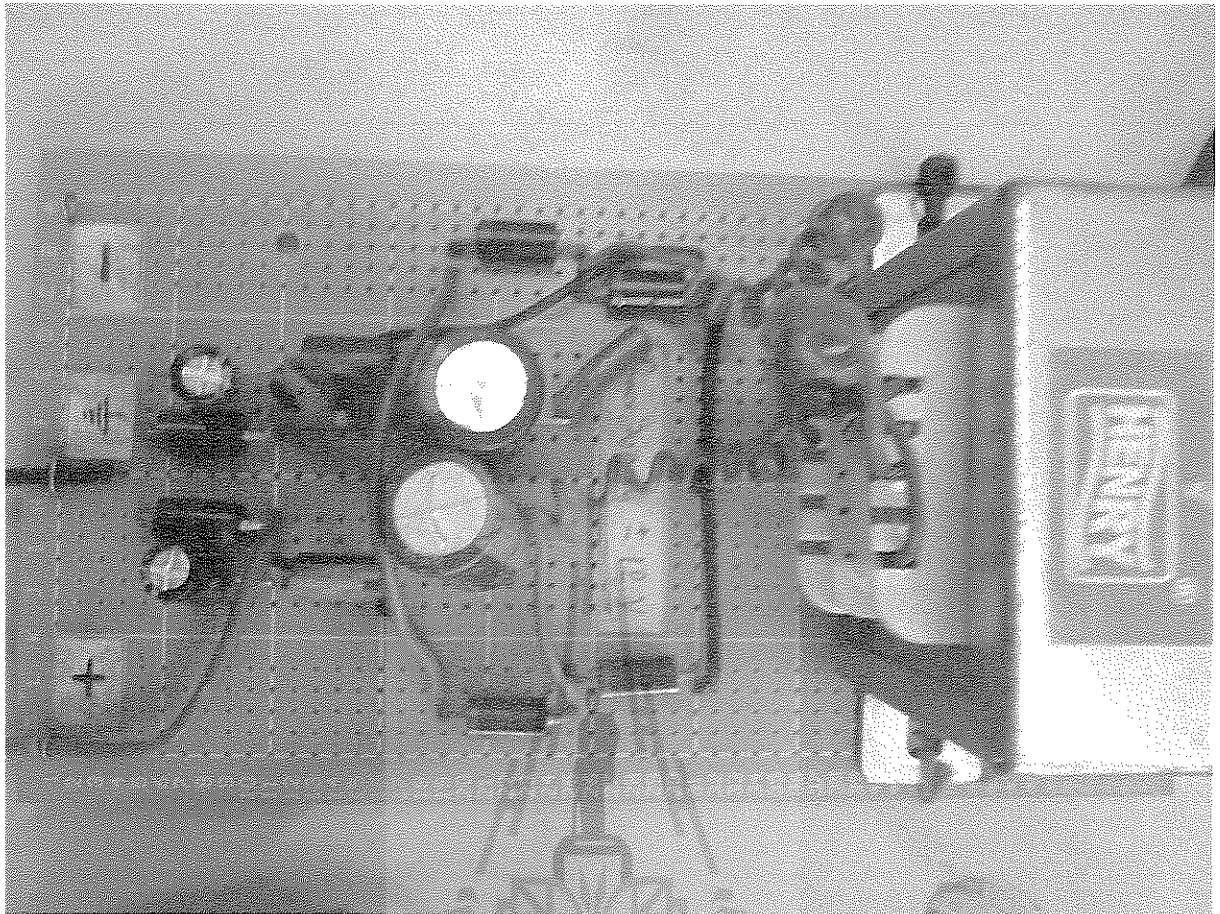


รูปวงจรกำเนิดพลาสมา

อุปกรณ์อื่นๆที่นำมาใช้กับเครื่องกำเนิดพลาสมา



รูปหม้อแปลงไฟฟ้าเอาต์พุต 110V จ่ายแรงดันไฟฟ้าให้กับวงจร Half – Bridge Converter

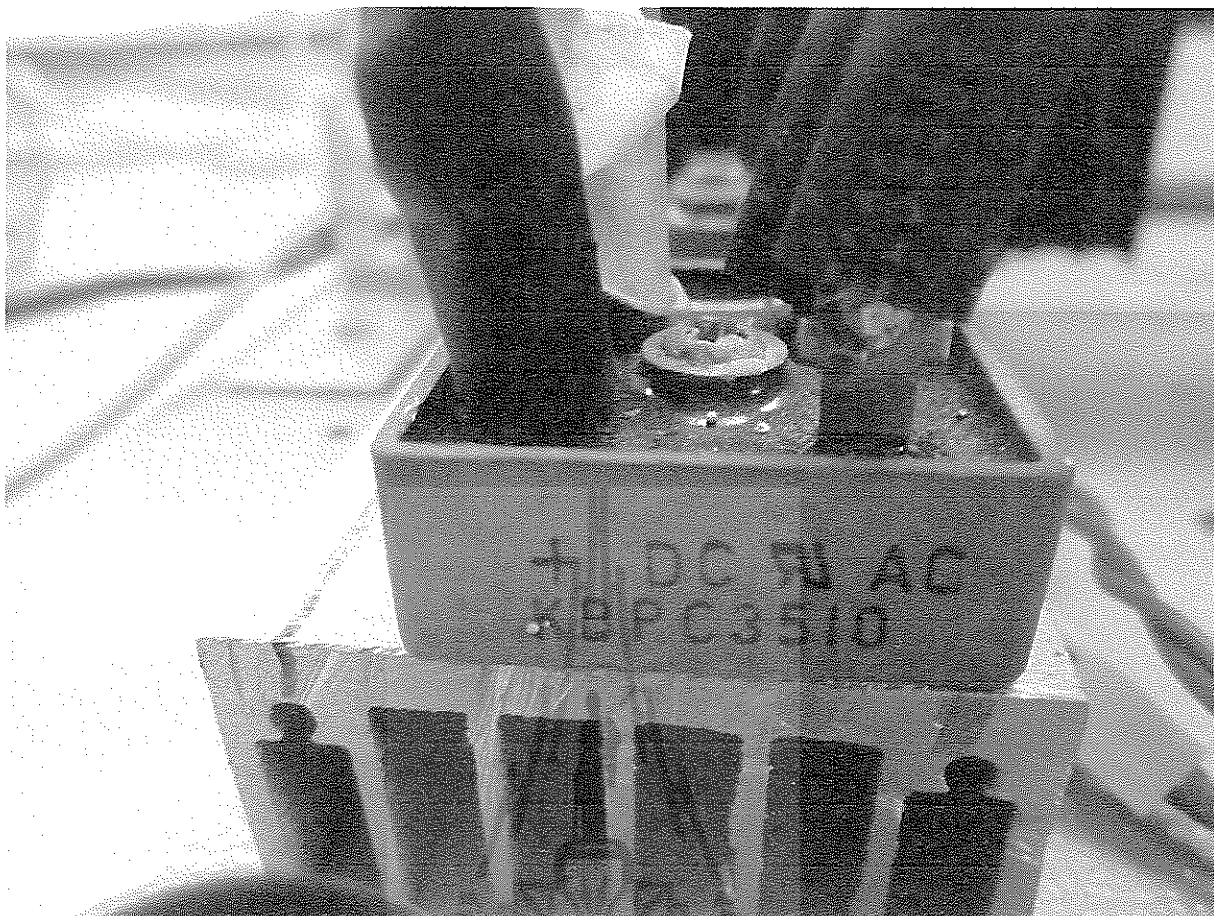


รูปวงจรจ่ายไฟเลี้ยงให้แก่ Half-Bridge Driver 50KHZ.



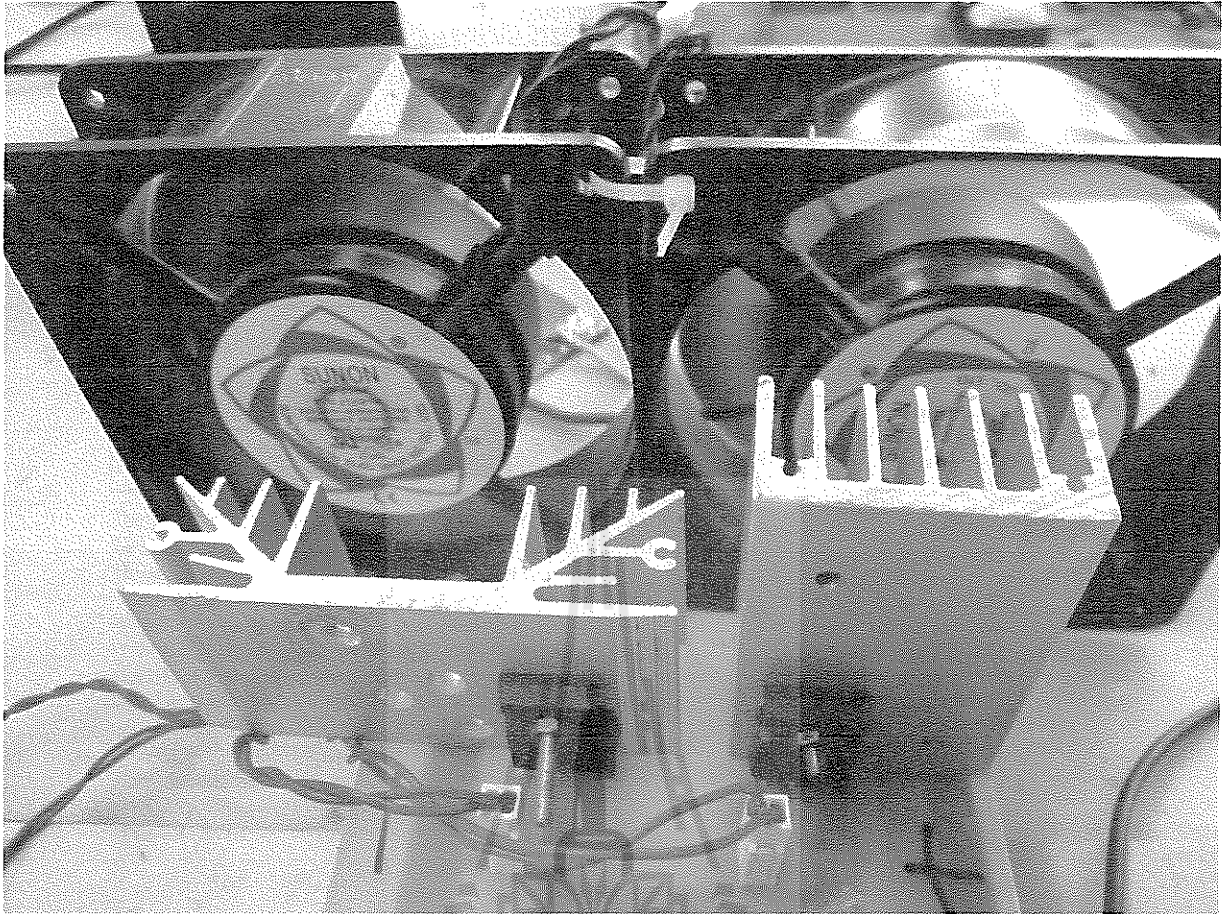


รูป CAPACITOR-TANK ทำหน้าที่เก็บประจุไฟฟ้าในการอาร์คพลาสมา



รูป วงจรบริดจ์ไดโอดสำเร็จรูปทำหน้าที่แปลงกระแสไฟฟ้าจาก AC ให้เป็น DC  
เพื่อที่จะต่อเข้ากับ Capacitor-Tank

มหาวิทยาลัยเทคโนโลยีสุรนารี



รูป ชุดพัดลมคู่คอยระบายความร้อนให้แก่ทรานซิสเตอร์มอสเฟต 2 ตัว

## ข้อมูลของมอดเฟตเบอร์ IRF460

International  
**IR** Rectifier

PD-90467

REPETITIVE AVALANCHE AND  $dv/dt$  RATED  
HEXFET<sup>®</sup> TRANSISTORS  
THRU-HOLE (TO-204AA/AE)

**IRF460**  
500V, N-CHANNEL

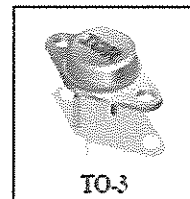
## Product Summary

Part Number	BVDSS	$R_{DS(on)}$	$I_D$
IRF460	500V	0.27 $\Omega$	21

The HEXFET<sup>®</sup> technology is the key to International Rectifier's advanced line of power MOSFET transistors. The efficient geometry and unique processing of this latest "State of the Art" design achieves: very low on-state resistance combined with high transconductance; superior reverse energy and diode recovery  $dv/dt$  capability.

The HEXFET transistors also feature all of the well established advantages of MOSFETs such as: voltage control, very fast switching, ease of paralleling and temperature stability of the electrical parameters.

They are well suited for applications such as: switching power supplies, motor controls, inverters, choppers, audio amplifiers and high energy pulse circuits.



## Features:

- Repetitive Avalanche Rating
- Dynamic  $dv/dt$  Rating
- Hermetically Sealed
- Simple Drive Requirements
- Ease of Paralleling

## Absolute Maximum Ratings

	Parameter		Units
$I_D$ @ $V_{GS} = 0V$ , $T_C = 25^\circ C$	Continuous Drain Current	21	A
$I_D$ @ $V_{GS} = 0V$ , $T_C = 100^\circ C$	Continuous Drain Current	14	
$I_{DM}$	Pulsed Drain Current (1)	84	
$P_D$ @ $T_C = 25^\circ C$	Max. Power Dissipation	300	W
	Linear Derating Factor	2.4	W/ $^\circ C$
$V_{GS}$	Gate-to-Source Voltage	$\pm 20$	V
EAS	Single Pulse Avalanche Energy (2)	1200	mJ
IAR	Avalanche Current (3)	21	A
EAR	Repetitive Avalanche Energy (1)	30	mJ
$dv/dt$	Peak Diode Recovery $dv/dt$ (3)	3.5	V/ns
$T_J$	Operating Junction	-55 to 150	$^\circ C$
$T_{STG}$	Storage Temperature Range		
	Lead Temperature	300 (0.065 in. (1.6mm) from case for 10s)	
	Weight	11.5 (typical)	g

For footnotes refer to the last page

www.irf.com

1  
01/24/01

IRF460

International  
IGBT RectifierElectrical Characteristics @  $T_j = 25^\circ\text{C}$  (Unless Otherwise Specified)

	Parameter	Min	Typ	Max	Units	Test Conditions
$BV_{DSS}$	Drain-to-Source Breakdown Voltage	500	—	—	V	$V_{GS} = 0V, I_D = 1.0mA$
$\Delta BV_{DSS}/\Delta T_j$	Temperature Coefficient of Breakdown Voltage	—	0.78	—	$^\circ\text{C}^{-1}$	Reference to $25^\circ\text{C}, I_D = 1.0mA$
$R_{DS(on)}$	Static Drain-to-Source On-State Resistance	—	—	0.27	$\Omega$	$V_{GS} = 10V, I_D = 14A$ Ⓞ
		—	—	0.31		$V_{GS} = 10V, I_D = 21A$ Ⓞ
$V_{GS(th)}$	Gate Threshold Voltage	2.0	—	4.0	V	$V_{DS} = V_{GS}, I_D = 250\mu A$
$g_{fs}$	Forward Transconductance	13	—	—	S (f)	$V_{DS} > 15V, I_{DS} = 14A$ Ⓞ
$I_{DSS}$	Zero Gate Voltage Drain Current	—	—	25	$\mu A$	$V_{DS} = 400V, V_{GS} = 0V$
		—	—	250		$V_{DS} = 400V$ $V_{GS} = 0V, T_j = 125^\circ\text{C}$
$I_{GSS}$	Gate-to-Source Leakage Forward	—	—	100	nA	$V_{GS} = 20V$
$I_{GSS}$	Gate-to-Source Leakage Reverse	—	—	-100	nA	$V_{GS} = -20V$
$Q_g$	Total Gate Charge	84	—	190	nC	$V_{GS} = 10V, I_D = 21A$ $V_{DS} = 250V$
$Q_{gs}$	Gate-to-Source Charge	12	—	27		
$Q_{gd}$	Gate-to-Drain ("Miller") Charge	60	—	135		
$t_{d(on)}$	Turn-On Delay Time	—	—	35	ns	$V_{DD} = 250V, I_D = 21A$ $R_G = 2.5\Omega$
$t_r$	Rise Time	—	—	120		
$t_{d(off)}$	Turn-Off Delay Time	—	—	130		
$t_f$	Fall Time	—	—	98		
$L_S - L_D$	Total Inductance	—	6.1	—	nH	Measured from drain lead (6mm/0.25in from package) to source lead (6mm/0.25in from package)
$C_{iss}$	Input Capacitance	—	4300	—	pF	$V_{GS} = 0V, V_{DS} = 25V$ $f = 1.0MHz$
$C_{oss}$	Output Capacitance	—	1000	—		
$C_{rss}$	Reverse Transfer Capacitance	—	250	—		

## Source-Drain Diode Ratings and Characteristics

	Parameter	Min	Typ	Max	Units	Test Conditions
$I_S$	Continuous Source Current (Body Diode)	—	—	21	A	
$I_{SM}$	Pulse Source Current (Body Diode) Ⓞ	—	—	84		
$V_{SD}$	Diode Forward Voltage	—	—	1.8	V	$T_j = 25^\circ\text{C}, I_S = 21A, V_{GS} = 0V$ Ⓞ
$t_{rr}$	Reverse Recovery Time	—	—	580	ns	$T_j = 25^\circ\text{C}, I_F = 21A, dI/dt \leq 100A/\mu s$
$Q_{RR}$	Reverse Recovery Charge	—	—	8.1	$\mu C$	$V_{DD} \leq 50V$ Ⓞ
$t_{on}$	Forward Turn-On Time	Intrinsic turn-on time is negligible. Turn-on speed is substantially controlled by $L_S - L_D$ .				

## Thermal Resistance

	Parameter	Min	Typ	Max	Units	Test Conditions
$R_{\theta JC}$	Junction to Case	—	—	0.42	$^\circ\text{C/W}$	Typical socket mount
$R_{\theta JA}$	Junction to Ambient	—	—	30		

For footnotes refer to the last page

## ข้อมูลของไอซีเบอร์ IR2153

International  
**IR** Rectifier

Data Sheet No. PD60062 rev0  
 (NOTE: For new designs, we recommend  
 IR's new product IR2153D)

**IR2153(D)(S) & (PbF)**

**SELF-OSCILLATING HALF-BRIDGE DRIVER**

**Features**

- Integrated 600V half-bridge gate driver
- 15.6V zener clamp on Vcc
- True micropower start up
- Tighter initial deadtime control
- Low temperature coefficient deadtime
- Shutdown feature (1/6th Vcc) on CT pin
- Increased undervoltage lockout Hysteresis (1V)
- Lower power level-shifting circuit
- Constant LO, HO pulse widths at startup
- Lower di/dt gate driver for better noise immunity
- Low side output in phase with RT
- Internal 50nsec (typ.) bootstrap diode (IR2153D)
- Excellent latch immunity on all inputs and outputs
- ESD protection on all leads
- Also available LEAD-FREE

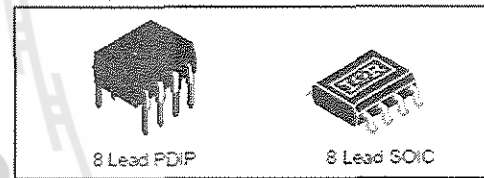
**Description**

The IR2153D(S) are an improved version of the popular IR2155 and IR2151 gate driver ICs, and incorporate a high voltage half-bridge gate driver with a front end oscillator similar to the industry standard CMOS 555 timer. The IR2153 provides more functionality and is easier to use than previous ICs. A shutdown feature has been designed into the CT pin, so that both gate driver outputs can be disabled using a low voltage control signal. In addition, the gate driver output pulse widths are the same once the rising undervoltage lockout threshold on VCC has been reached, resulting in a more stable profile of frequency vs time at startup. Noise immunity has been improved significantly, both by lowering the peak di/dt of the gate drivers, and by increasing the undervoltage lockout hysteresis to 1V. Finally, special attention has been paid to maximizing the latch immunity of the device, and providing comprehensive ESD protection on all pins.

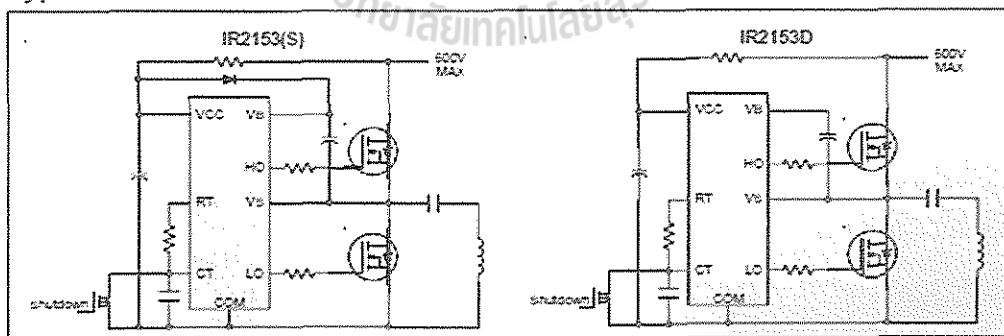
**Product Summary**

V <sub>OFFSET</sub>	600V max.
Duty Cycle	50%
T <sub>r</sub> /T <sub>p</sub>	80/40ns
V <sub>clamp</sub>	15.6V
Deadtime (typ.)	1.2 μs

**Packages**



**Typical Connections**



www.irf.com

## IR2153(D)(S) & (PbF)

NOTE: For new designs, we recommend IR's new product IR52153D

International  
IOR Rectifier

### Absolute Maximum Ratings

Absolute maximum ratings indicate sustained limits beyond which damage to the device may occur. All voltage parameters are absolute voltages referenced to COM, all currents are defined positive into any lead. The thermal resistance and power dissipation ratings are measured under board mounted and still air conditions.

Symbol	Definition	Min.	Max.	Units
$V_B$	High side floating supply voltage	-0.3	625	V
$V_S$	High side floating supply offset voltage	$V_B - 25$	$V_B + 0.3$	
$V_{HO}$	High side floating output voltage	$V_S - 0.3$	$V_B + 0.3$	
$V_{LO}$	Low side output voltage	-0.3	$V_{CC} + 0.3$	
$V_{RT}$	RT pin voltage	-0.3	$V_{CC} + 0.3$	
$V_{CT}$	CT pin voltage	-0.3	$V_{CC} + 0.3$	
$I_{CC}$	Supply current (note 1)	—	25	mA
$I_{RT}$	RT pin current	-5	5	
$dV_S/dt$	Allowable offset voltage slew rate	-50	50	V/ns
$P_D$	Maximum power dissipation @ $T_A \leq +25^\circ\text{C}$	—	1.0	W
	(8 Lead DIP)	—	0.625	
$R_{\theta JA}$	Thermal resistance, junction to ambient	—	125	$^\circ\text{C/W}$
	(8 Lead SOIC)	—	200	
$T_J$	Junction temperature	-55	150	$^\circ\text{C}$
$T_S$	Storage temperature	-55	150	
$T_L$	Lead temperature (soldering, 10 seconds)	—	300	

### Recommended Operating Conditions

For proper operation the device should be used within the recommended conditions.

Symbol	Definition	Min.	Max.	Units
$V_{BS}$	High side floating supply voltage	$V_{CC} - 0.7$	$V_{CLAMP}$	V
$V_S$	Steady state high side floating supply offset voltage	-3.0 (note 2)	600	
$V_{CC}$	Supply voltage	10	$V_{CLAMP}$	
$I_{CC}$	Supply current	(note 3)	5	mA
$T_J$	Junction temperature	-40	125	$^\circ\text{C}$

Note 1: This IC contains a zener clamp structure between the chip  $V_{CC}$  and COM which has a nominal breakdown voltage of 15.6V. Please note that this supply pin should not be driven by a DC, low impedance power source greater than the  $V_{CLAMP}$  specified in the Electrical Characteristics section.

Note 2: Care should be taken to avoid output switching conditions where the  $V_S$  node flies inductively below ground by more than 5V.

Note 3: Enough current should be supplied to the  $V_{CC}$  pin of the IC to keep the internal 15.6V zener diode clamping the voltage at this pin.

**Recommended Component Values**

Symbol	Component	Min.	Max.	Units
$R_T$	Timing resistor value	10	—	k $\Omega$
$C_T$	$C_T$ pin capacitor value	330	—	pF

